



ELETRÔNICA

TECNOLOGIA - INFORMÁTICA - AUTOMAÇÃO



Saiba porque utilizar

Multímetros True RMS

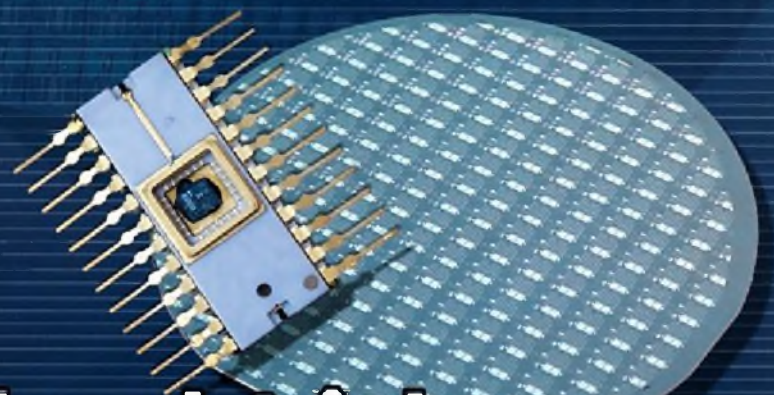
TV digital

Padrões, sistemas e técnicas de recepção



Fontes de Alimentação

Principais tipos e como escolher a melhor solução



Microeletrônica (Parte II)

Conheça os principais processos de fabricação de chips



O SHOPPING DA INSTRUMENTAÇÃO

PROVADOR DE CINESCÓPIO PRC-20-P



É utilizado para medir a emissão e reativar cinescópios, galvanômetro de dupla ação. Tem uma escala de 30 KV para se medir AT. Acompanha ponta de prova + 4 placas (12 soquetes).
PRC 20 P R\$ 448,00

PROVADOR RECUPERADOR DE CINESCÓPIO - PRC40

Permite verificar a emissão de cada canhão do cinescópio em prova e reativá-lo, possui galvanômetro com precisão de 1% e mede MAT até 30 kV. Acompanha ponta de prova + 4 placas (12 soquetes).R\$ 451,00



GERADOR DE BARRAS GB-51



Gera padrões: quadriculas, pontos, escala de cinza, branco, vermelho, verde, croma com 8 barras, PAL M, NTSC puros c/ cristal. Saídas para RF, Vídeo, sincronismo e FI.R\$ 441,00

CAPACÍMETRO DIGITAL CD44

Instrumento preciso e prático, nas escalas de 200 pF, 2 nF, 20 nF, 200 nF, 2 µF, 20 µF, 200 µF, 2000 µF, 20 mF.....R\$ 415,00



GERADOR DE FUNÇÕES 2 MHz - GF39



Ótima estabilidade e precisão, p/ gerar formas de onda: senoidal, quadrada, triangular, faixas de 0.2 Hz a 2 MHz. Saídas VCF, TTL/MOS, aten. 20 dB.
GF39R\$ 519,00

GERADOR DE RÁDIO FREQUÊNCIA - 120 MHz - GRF30

Sete escalas de frequências: A- 100 a 250 kHz, B- 250 a 650 kHz, C- 650 a 1700 kHz, D-1, 7 a 4 MHz, E- 4 a 10 MHz, F- 10 a 30 MHz, G- 85 a 120 MHz, modulação interna e externa.R\$ 519,00



FREQUENCÍMETRO DIGITAL



Instrumento de medição com excelente estabilidade e precisão.
FD37 - 1 Hz / 1,2 GHz R\$ 682,00

TESTE DE TRANSISTORES DIODO - TD29



Mede transistores, FETs, TRIACs, SCRs, identifica elementos e polarização dos componentes no circuito. Mede diodos (aberto ou em curto) no circuito.
....ESGOTADO

TESTE DE FLY BACKS E ELETROLÍTICO - VPP - TEF41

Mede FLYBACK/YOKE estático quando se tem acesso ao enrolamento. Mede FLYBACK encapsulado através de uma ponta MAT. Mede capacitores eletrolíticos no circuito e VPP R\$ 399,00



PESQUISADOR DE SOM PS 25P



É o mais útil instrumento para pesquisa de defeitos em circuitos de som. Capta o som que pode ser de um amplificador, rádio AM - 455 KHz, FM - 10.7 MHz, TV/Videocassete - 4.5 MHz R\$ 393,00

MULTÍMETRO DIGITAL MD42

Tensão c.c. 1000 V - precisão 1%, tensão c.a. - 750 V, resistores 20 MΩ, corrente c.c./c.a. - 20 A ganho de transistores hfe, diodos. Ajuste de zero externo para medir com alta precisão valores abaixo de 20 Ω.....R\$ 360,00



MULTÍMETRO CAPACÍMETRO DIGITAL MC 27



Tensão c.c. 1000 V - precisão 0.5 %, tensão c.a. 750 V, resistores 20 MΩ, corrente DC AC - 10 A, ganho de transistores, hfe, diodos. Mede capacitores nas escalas 2n, 20n, 200n, 2000n, 20 µF.R\$ 378,00

GERADOR DE BARRAS GB-52

Gera padrões: círculo, pontos, quadriculas, círculo com quadriculas, linhas verticais, linhas horizontais, escala de cinzas, barra de cores, cores cortadas, vermelho, verde, azul, branco, fase, PALM/NTSC puros com cristal, saída de FI, saída de sincronismo, saída de RF canais 2 e 3.R\$ 598,00



FONTE DE TENSÃO

Fonte variável de 0 a 30 V. Corrente máxima de saída 2 A. Proteção de curto, permite-se fazer leituras de tensão e corrente AS tensão: grosso fino AS corrente.
FR35 - Digital R\$ 378,00

SABER MARKETING DIRETO LTDA

LIGUE JÁ (11)6195-5330 - PREÇOS VÁLIDOS ATÉ 10/08/2003



Editora Saber Ltda.

Diretores

Hélio Fittipaldi
Thereza M. Ciampi Fittipaldi

Revista Saber Eletrônica

Editor e Diretor Responsável
Hélio Fittipaldi

Diretor Técnico

Newton C. Braga

Redação

Sérgio Vieira

Conselho Editorial

Alexandre Capelli
João Antonio Zuffo
Newton C. Braga

PUBLICIDADE

Ricardo Nunes Souza
Carla de Castro Assis
Melissa Rigo Peixoto

PARA ANUNCIAR: (11)6195-5339

publicidade@editorasaber.com.br

Impressão

Globo Cochran

Distribuição

Brasil: DINAP
Portugal: MIDESA

SABER ELETRÔNICA

(ISSN - 0101 - 6717), publicação mensal da Editora Saber Ltda. Redação, administração, assinatura, edições anteriores, publicidade e correspondência:
R. Jacinto José de Araújo, 315
03087-020 - São Paulo - SP - Brasil
Tel. (11) 6195-5333

ASSINATURAS

www.sabereletronica.com.br
fone/fax: (11) 6195-5335
atendimento das 8:30 às 17:30h

Matriculada de acordo com a Lei de Imprensa sob nº 4764, livro A, no 5º Registro de Títulos e Documentos - SP. Empresa proprietária dos direitos de reprodução:
EDITORA SABER LTDA.

Associada da:

ANER

Associação Nacional dos Editores de Revistas.



Associação Nacional das Editoras de Publicações Técnicas, Dirigidas e Especializadas.
www.anatec.org.br

www.sabereletronica.com.br

EDITORIAL

Nesse último mês, uma das notícias que rondou o mundo da eletrônica foi a troca de comando da Abinee - Associação Brasileira da Indústria Eletroeletrônica. Depois de três anos no comando, Carlos de Paiva Lopes dá lugar ao primeiro vice-presidente Benjamin Funari Neto que já foi presidente da entidade. Através de informativo, a Abinee avisou que a troca foi por vontade própria de Paiva Lopes que passa a ocupar a presidência executiva da Abrafix - Associação Brasileira das Prestadoras de Serviço Telefônico Fixo.

Na outra entidade, a Eletros - Associação Nacional de Fabricantes de Produtos Eletroeletrônicos, persiste a expectativa de recuperar 2% das vendas em 2003, em relação ao registrado no ano passado. No primeiro trimestre desse ano foi registrado queda de 14,27% nas vendas em relação a 2002. Paulo Saab, presidente da Eletros, acredita que entre os motivos para essa queda de vendas está a forte recessão do país, bem como o aumento acentuado das matérias-primas como o aço, plástico e embalagens de papelão que têm obrigado a algumas empresas a "reduzir o volume de produção".

Uma outra notícia interessante, percebida por nossa redação, é o aumento de divulgação de produtos para o mercado de banda larga. Prometendo economizar mais energia e maior velocidade no envio e troca de dados, esses produtos querem conquistar, principalmente, o consumidor residencial. É mais uma tentativa de transformar o mercado brasileiro de "potencial de consumo" para comprador de fato.

Nesta edição da Saber Eletrônica, o leitor acompanha uma reportagem e um artigo especial sobre TV Digital. Saiba o que acontece nos bastidores dessa questão, além das questões técnicas e sistemas de recepção no artigo de Newton Braga. Veja também as técnicas para maior confiabilidade em multímetros True RMS.

[e-mail: a.leitor.sabereletronica@editorasaber.com.br](mailto:a.leitor.sabereletronica@editorasaber.com.br)

Os artigos assinados são de exclusiva responsabilidade de seus autores. É vedada a reprodução total ou parcial dos textos e ilustrações desta Revista, bem como a industrialização e/ou comercialização dos aparatos ou ideias oriundas dos textos mencionados, sob pena de sanções legais. As consultas técnicas referentes aos artigos da Revista deverão ser feitas exclusivamente por cartas, ou e-mail (A/C do Departamento Técnico). São tomados todos os cuidados razoáveis na preparação do conteúdo desta Revista, mas não assumimos a responsabilidade legal por eventuais erros, principalmente nas montagens, pois tratam-se de projetos experimentais. Tampouco assumimos a responsabilidade por danos resultantes de imperícia do montador. Caso haja enganos em texto ou desenho, será publicada errata na primeira oportunidade. Preços e dados publicados em anúncios são por nós aceitos de boa fé, como corretos na data do fechamento da edição. Não assumimos a responsabilidade por alterações nos preços e na disponibilidade dos produtos ocorridas após o fechamento.

TECNOLOGIA

Controle Eletrônico para Motor de Indução Trifásico AC

Utilizando MC68HC908MR32

4

Microeletrônica

Evolução das tecnologias e panorama atual no Brasil e no mundo



10

Tendências da Tecnologia para Montagem em Superfície (SMT)

17

Fontes de Alimentação - parte 1

Conheça os principais tipos, e saiba como escolher a melhor para seu projeto

20

AUTOMAÇÃO INDUSTRIAL

IHM e Supervisão de Falhas



22

MICROCONTROLADORES

Base de Tempo para Temporização com Microcontrolador Motorola 68HC908GP32

28

ENERGIA

Utilizando Motores de Alto Rendimento na Indústria



28

SEÇÃO DO LEITOR

3

TELECOMUNICAÇÃO

TV Digital

Padrões, sistemas e técnicas de recepção



34

INSTRUMENTAÇÃO

Multímetros TRUE RMS

Como essa tecnologia pode efetuar medidas com maior confiabilidade.

39

COMPONENTES

Gerando Transientes Rápidos de Linha

44

Dados e Alimentação pelo mesmo Fio

45

MIC281 - Sensor Térmico de Baixo Custo

47

MSC1210 - Conversor Analógico/Digital

47

Fonte para Diversas Tensões com MAX628

48

Dez Aplicações Práticas com o Acoplador Óptico

50

REPORTAGEM

TV Digital A polêmica está lançada

58

NOTÍCIAS

Eletrônica..... 59
USA em notícias 63

Seção do Leitor

Comentários, críticas e sugestões para a.leitor.sabereletronica@editorasaber.com.br ou através de cartas:
Revista Saber Eletrônica
Rua Jacinto José de Araújo, 315
03087 - 020 - São Paulo - SP

Gostaria de saber em qual edição posso encontrar algo sobre redes ASi.

Gostaria também de um artigo com mais informações sobre DEVICENET (como a revista Saber Eletrônica de setembro de 2002) que, aliás, achei muito interessante...

Paschoal Chibirca (por e-mail)

Publicamos um artigo bem abrangente sobre "AS interface" na edição nº 354. Com certeza a rede DEVICENET é muito interessante. Está feito o convite à Allen Bradley para nos enviar uma colaboração.

Como resposta à pergunta "Existem empresas e profissionais que prestam consultorias para problemas relacionados com interferência eletromagnética?" exposta no artigo intitulado "INTERFERÊNCIA ELETROMAGNÉTICA" da edição nº 364, viemos ressaltar a experiência de nossa empresa com a atenuação industrial de interferências.

Como exemplo de caso, podemos citar uma grande empresa automotiva instalada em Curitiba e que vinha sofrendo de problemas com monitores de vídeo CRT de 17 pol. Essa empresa já havia gasto muito esforço e dinheiro com soluções internas e contratadas (incluindo uma empresa, um Instituto de Pesquisa e uma Universidade) em vão.

Após assinarmos um contrato de risco, direcionamos os esforços para a pesquisa da fonte interferente e verificamos que se tratava de perturbações AC (60 Hz) irradiadas e relacionadas com a qualidade das instalações elétricas. Com a solução que atenuou o problema e agradou ao cliente, ainda recebemos uma Certidão de Capacidade Técnica na área.

Dirceu R. Rodrigues Jr.
www.netra-eng.com.br

Está aí uma oportunidade para quem necessita de soluções nessa área.

Sou leitor das Revistas SABER ELETRÔNICA e PC&CIA. Tenho observado na SABER ELETRÔNICA vários artigos e matérias direcionados para a área industrial, por isso gostaria de sugerir uma matéria descrevendo os tipos de grandezas utilizadas em energia elétrica, como: kVA, kVAR, kWh, VA e etc. Bem como as relações e cálculos existentes entre elas.

Ademar Jonas Vogelei (por e-mail)

Sem dúvida, é uma ótima sugestão. Nesse meio tempo, você poderá encontrar algo a respeito na Edição nº 359, artigo "Energia Elétrica".

Perdendo tempo e dinheiro com a Internet?

CUIDAMOS DE SEU SERVIDOR PARA QUE VOCÊ POSSA CUIDAR DE SEUS NEGÓCIOS.

IP Dedicado

Co-location

COMPARTILHAMENTO DE INTERNET

HOSPEDAGEM DE SITES

ACESSO BANDA LARGA (Speedy)

ACESSO DISCADO

ACESSO NACIONAL

Servidor de e-mail protegido por anti-vírus, tecnologias POP3 e IMAP.



SILICOM
INTERNET PROVIDER

Rua Cantagalo, 2340 - cjtos 2 / 4 - CEP 03319-002 - São Paulo - SP
Tel.: (11) 6198.2526 / Fax: (11) 6198.3467 - www.silicom.com.br

CONTROLE ELETRÔNICO PARA MOTOR DE INDUÇÃO TRIFÁSICO AC UTILIZANDO

MC68HC908MR32

Neste artigo vamos descrever uma aplicação para um motor AC trifásico de indução que utiliza um "controle Volts por Hertz" em malha aberta. Este controle foi baseado em um microcontrolador da Motorola (MC68HC908MR32) que é dedicado para a aplicação em controle de motores. Observe o diagrama de blocos da **figura 1**.

TEORIA

Controlador para motor trifásico AC

O motor AC de indução é a força de trabalho em sistemas de controle de velocidade variável. O tipo mais popular é o motor AC de indução trifásico tipo "gaiola de esquilo", que é eficiente, de baixo custo, baixa manutenção e baixo ruído. O estator é alimentado por uma fonte trifásica balanceada. A velocidade do motor (n_s) é dada por:

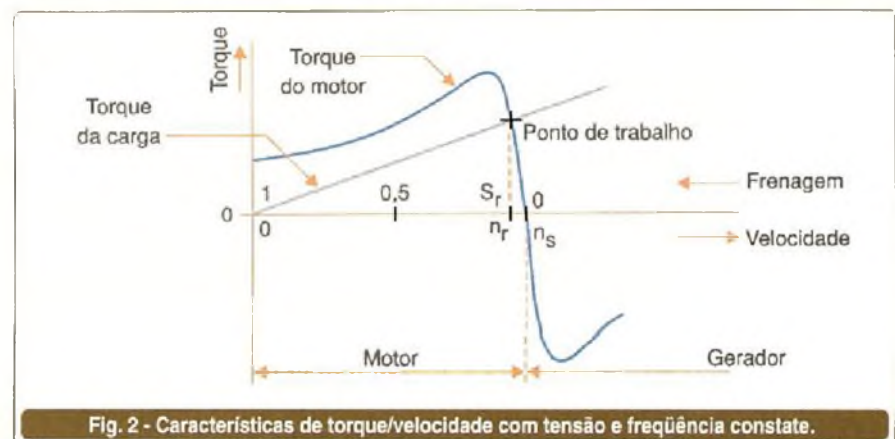
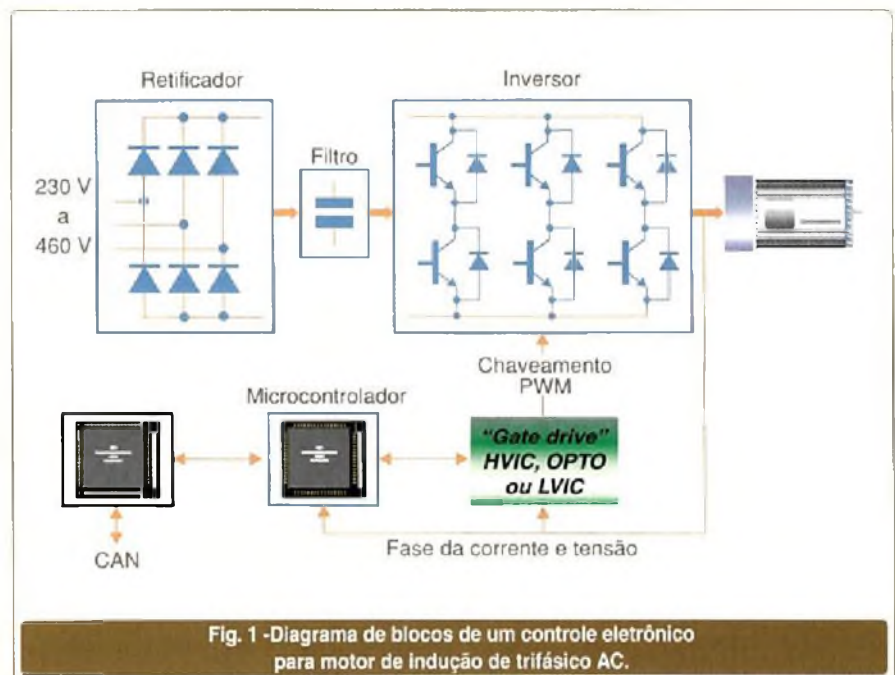
$$n_s = \frac{120 \times f_s}{p} \text{ [rpm]}$$

onde f_s é a frequência de trabalho do estator em Hz, e p é o número de pólos do estator. O motor AC de indução produz torque zero na frequência de trabalho e, portanto, a velocidade é determinada pelo torque da carga. A velocidade do motor é caracterizada por um escorregamento s_r :

$$s_r = \frac{(n_s - n_r)}{n_s} = \frac{n_{s1}}{n_s}$$

onde n_r é a velocidade mecânica do rotor e n_{s1} é a velocidade de escorregamento, ambos em rpm. A

figura 2, ilustra as características de torque e o escorregamento correspondente. Como pode ser visto



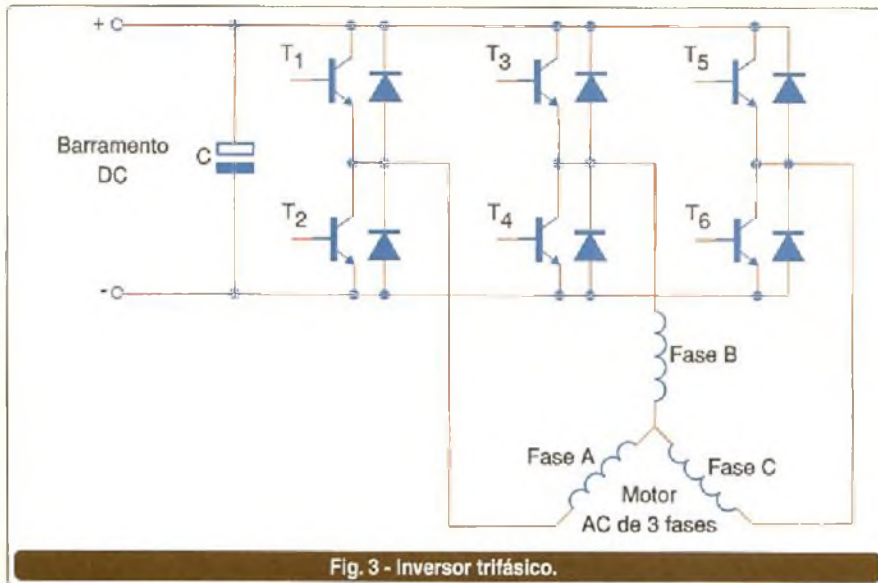


Fig. 3 - Inversor trifásico.

nas equações 1 e 2, a velocidade do motor é controlada pela variação da frequência do estator com a influência do torque da carga.

Aplicações de velocidade variável para os motores AC são controladas por inversores. Os inversores convertem tensões DC em tensões AC em uma determinada amplitude e frequência. Um inversor trifásico típico é ilustrado na **figura 3**.

O inversor consiste de 3 "half-bridges" onde o elemento da parte alta e o elemento da parte baixa são controlados de maneira complementar, ou seja, quando o elemento da parte alta está ligado o elemento da parte baixa está desligado, e vice-versa.

Como o tempo para desligar é maior que o tempo para ligar, um "dead-time" deve ser inserido entre desligar um elemento e ligar o elemento complementar da "half-bridge". A tensão da saída é geralmente criada através por uma técnica de PWM (Pulse Width Modulation) onde uma portadora com forma de onda de triângulo isósceles é comparada com uma frequência fundamental modulando a forma de onda, e os pontos naturais de interseção determinam os pontos onde os elementos de potência do inversor devem ser desligados/ligados. Esta técnica é mostrada na **figura 4**. As formas de onda da tensão das três fases devem ser defasadas em 120° entre

elas para que o motor possa ser alimentado.

Os elementos de potência normalmente utilizados em aplicações de controle de motor são os MOSFETs de potência e os IGBTs.

O MOSFET de potência é um transistor controlado por tensão projetado para operar em alta frequência. Ele tem baixa queda de tensão, reduzindo assim a perda de potência. Portanto, a saturação e a sensibilidade à temperatura limitam a aplicação dos MOSFETs em aplicações de alta potência.

O "Insulated Gate Bipolar Transistor" (IGBT) é um transistor bipolar controlado por um MOSFET na mesma base. O IGBT necessita de baixa corrente de excitação, tem um tempo rápido de transição e é adequado para trabalhar em alta frequência. Sua desvantagem é a alta queda de

tensão do transistor bipolar, o que causa perdas.

Controle Volts por Hertz

O método de controle volts por hertz é o método mais popular de controle escalar que controla variáveis como frequência, tensão ou corrente.

Os comandos e os sinais de realimentação são valores DC que são proporcionais às respectivas variáveis.

Este projeto é definido como controle Volts por Hertz porque o comando de tensão aplicado é calculado diretamente a partir da frequência aplicada de maneira a manter o fluxo magnético constante. Em operação estável o fluxo magnético é proporcional à taxa V_s/f_s , onde V_s é a amplitude da tensão na fase do motor e f_s é a sincronia elétrica da frequência aplicada no motor. O sistema de controle é ilustrado na **figura 5**.

A característica é definida pelo ponto base do motor. Abaixo do ponto base o motor opera em ótima excitação, chamado de operação em torque constante, porque a taxa V_s/f_s é constante. Acima deste ponto o motor opera no modo sub-excitado, chamado de operação de potência constante, por causa do limite da taxa de tensão.

Um simples controle de velocidade em malha aberta Volts/Hertz para um motor de indução é uma técnica de controle com o objetivo de ser de baixo custo.

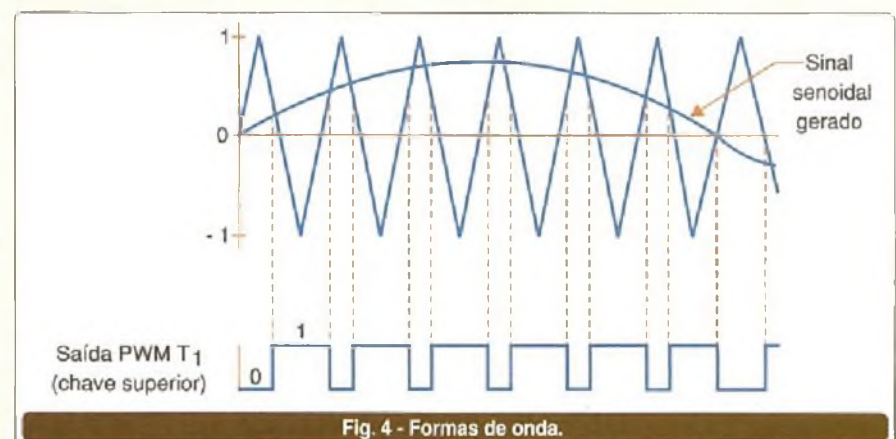
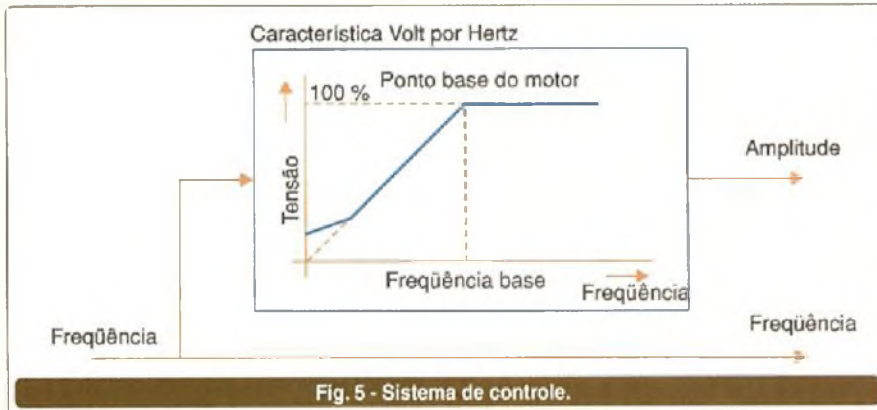


Fig. 4 - Formas de onda.



O MICROCONTROLADOR

Os microcontroladores MC68HC908MR contêm módulo de PWM integrado (6 canais) com entradas de detecção de falha que desligam automaticamente os PWMs, colocando os circuitos de acionamento em situação segura.

Conversores ADs de 10 bits que permitem leituras mais precisas. Isso permite desenvolver soluções para motores trifásicos.

Segue abaixo uma **tabela 1** com as principais características e um diagrama de blocos (**figura 6**) desta família de microcontroladores dedicados para controle de motor.

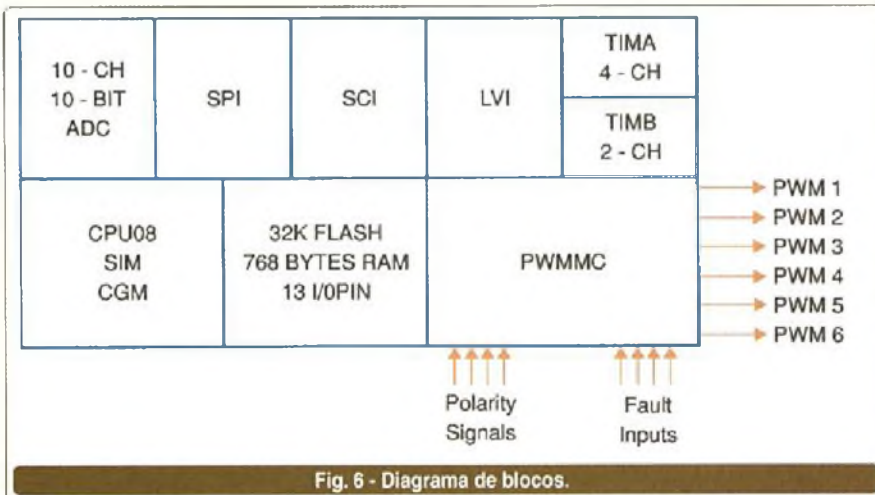


Fig. 6 - Diagrama de blocos.

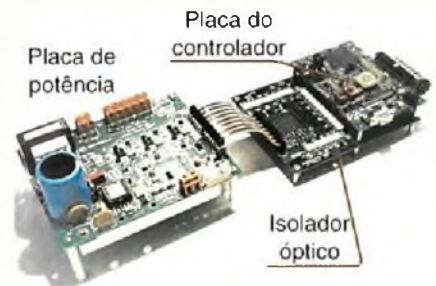
Tabela 1	MICROCONTROLADORES		
	MC68HC908MR32	MC68HC908MR16	MC68HC908MR8
Freqüência de operação (MHz)	8	8	8
Core	CPU08	CPU08	CPU08
Barramento (bits)	8	8	8
Memória Flash (bytes)	32K	16K	8K
Serial assíncrona	Sim	Sim	Sim
Serial síncrona	Sim	Sim	Sim
WatchDog	Sim	Sim	Sim
Timer de 16-bits	6 canais	6 canais	6 canais
Entradas/saídas	44	44	16
PWM	6 X Controle de motor	6 X Controle de motor	6 X Controle de motor
Conversores A/D	10 X 10 bits	10 X 10 bits	10 X 10 bits
Encapsulamento	64 QFP	64 QFP	32 QFP
	56 SDIP	56 SDIP	28 DIP/SOIC

APLICAÇÃO

Esta aplicação está baseada em um conjunto de exemplos que faz parte de um kit de desenvolvimento de software (SDK) fornecido pela Motorola, que explicaremos com mais detalhes a seguir, e nas ferramentas de Hardware descritas abaixo.

FERRAMENTAS DE HARDWARE

Consistem em: fonte de alimentação, circuitos de acionamento do motor e vários tipos de motores. Esta combinação permite que microcontroladores e DSPs possam ser completamente avaliados em operação para cada aplicação.



Placa de demonstração.

FERRAMENTAS DE SOFTWARE

A Motorola através da Metrowerks, oferece uma plataforma de desenvolvimento de software colocada em um ambiente integrado, CodeWarrior, onde estão inclusos um potente compilador C, assembler e linker, para promover um desenvolvimento de software estruturado.

O SDK e o PC MASTER são ferramentas complementares que auxiliam na fase de desenvolvimento.

SDK (Software Development Kit)

O SDK é um pacote de rotinas de software que é composto por:

- Rotinas de baixo nível para controlar os periféricos
- Rotinas de alto nível para controlar a aplicação
- Algoritmos
- Aplicações de demonstração
- Suporte para o PC MASTER
- Completa documentação.

Isto aumenta a velocidade de desenvolvimento das aplicações porque a maioria das rotinas e algoritmos básicos já estão implementados e são de fácil entendimento. Isto é possível porque é oferecido um ambiente para desenvolver aplicações de tempo real, eficientes rotinas de baixo nível e algoritmos otimizados para aplicações críticas em memória, estilo transparente de codificação em linguagem "C", software implementados em camadas tornando fácil a portabilidade entre as plataformas e fácil extração dos componentes do SDK.

Estão disponíveis também software de demonstração para todas as plataformas e alguns deles são: Controle para motores AC monofásicos, bifásicos e trifásicos Volts/Hertz, Controles para motores BLDC com sensor do tipo Hall, e todos têm suporte para PC MASTER. Segue abaixo uma lista dos controladores de nível de máquina e dos algoritmos já implementados.

Controladores de baixo nível:

- PWM trifásico
- ADC
- Controle de posicionamento via encoder
- CAN
- Programação da FLASH
- Programação de dados na FLASH
- Portas de entrada e saída
- Timers
- PWM usando timer
- Timer usando software.

Alguns algoritmos:

- Filtro de Kalman estendido (EKF)

- Modulação de vetores no espaço para motores BLDC
- Detecção de zero
- Manipulador de comutação para motores BLDC
- Cálculo do ângulo de comutação para motores de relutância
- Manipulador de comutação para motores de relutância
- Integrador
- Estimação de fluxo magnético
- Estimação de posição - sensor Hall
- Estimação de velocidade - sensor Hall
- Estimação de velocidade - encoder
- Controlador PI
- Controlador PID
- Comunicação serial
- Etc.

PC MASTER, UMA FERRAMENTA DE VISUALIZAÇÃO

O PC master é uma aplicação que permite ao usuário examinar graficamente ou controlar o processo que está rodando em aplicações com microcontroladores ou DSPs, e foi desenhado para tornar fácil o desenvolvimento de aplicações de controle de motor. É uma ferramenta de software para desenvolvimento e depuração de aplicações embarcadas em tempo real. Ela permite a leitura, modificação e visualização das variáveis e parâmetros da aplicação.

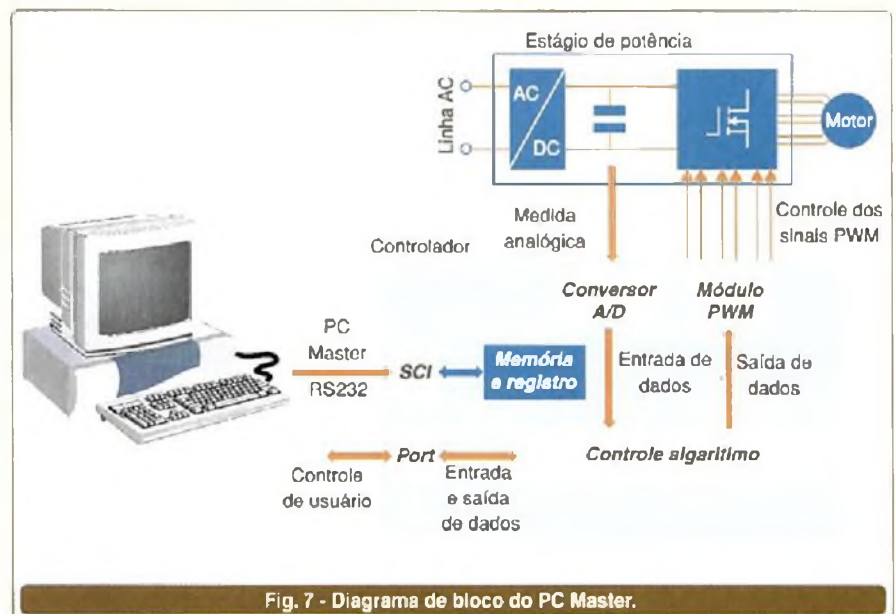
O PC master roda em um PC conectado a aplicação por meio de uma conexão serial RS-232. Um pequeno programa residente no processador da aplicação, se comunica com o software mestre que está no PC. Isso permite o acesso a qualquer posição de memória do processador alvo em tempo real.

Uma vez lido pelo PC master, o dado pode ser visualizado de diversas maneiras.

O PC master está disponível tanto para a família de DSPs quanto para a família de microcontroladores da Motorola. O diagrama de blocos segue abaixo (figura 7)

O PC master pode ser utilizado para:

- Controlar a aplicação
- Ler e modificar as variáveis da aplicação
- Função de osciloscópio para variáveis de baixa velocidade de atualização
- Gravar variáveis de alta velocidade de atualização
- Estimular variáveis
- Mandar comandos para a aplicação com parâmetros
- Visualizar itens de ajuda, como diagrama de blocos da aplicação, características da aplicação, etc.
- Controlar a aplicação remotamente.



TÓPICOS ADICIONAIS

Projeto de referência RDMC3PHAC

O MC3PHAC é um controlador de motor trifásico AC.

Este projeto de referência é uma solução completa que foi projetada especificamente para atender as necessidades de um controle de motor trifásico de velocidade variável e com baixo custo. Tem as seguintes características:

- Controle de velocidade Volts/Hertz
- Estabilidade da velocidade controlada por processamento digital de sinais
- Cálculos em 32bits para operações de alta precisão
- Capacidade para internet
- Não tem a necessidade de desenvolvimento de software
- 6 PWMs de saída
- Geração de forma de onda trifásica
- 4 entradas de conversor A/D
- Cancelamento de oscilações da tensão de alimentação dinâmica.

SABER MAIS...

Página do site da Motorola sobre controle de motores
<http://www.motorola.com/sps> > Design Resources > Motor Control

Página do site da Motorola dos DSPs para controle de motor
<http://www.motorola.com/sps> > Products > Digital Signal Processors > DSP56800

AN1911/D - 3-Phase AC Motor Control with V/Hz Speed Open Loop Using DSP56F80X

AN1857 - A 3-Phase AC Induction Motor Control System Based on the MC68HC908MR32

AN1310 - Using the MC68332 Microcontroller for AC Induction Motor Control

Para mais informações consultar o site <http://www.motorola.com/sps> > Reference Designs > RDMC3PHAC, onde pode ser encontrada toda a documentação, software, layout, etc.

DSPs

Segue ao lado uma lista completa dos DSPs (tabela 2) para controle de motor com suas principais características.

Tabela 2	DSPs			
	DSP56F801	DSP56F803	DSP56F805	DSP56F807
Velocidade (MIPS)	40	40	40	40
Core	DSP56800-V1	DSP56800-V1	DSP56800-V1	DSP56800-V1
Barramento (bits)	16	16	16	16
Instruções (bits)	16	16	16	16
Memória Flash de programa	8Kx16	32Kx16	32Kx16	60Kx16
Memória RAM de programa	1Kx16	512x16	512x16	2Kx16
Memória Flash de dados	1Kx16	4Kx16	4Kx16	8Kx16
Memória RAM de dados	1Kx16	2Kx16	2Kx16	4Kx16
Boot Flash	2Kx16	2Kx16	2Kx16	2Kx16
Serial assíncrona	1	1	2	2
Serial síncrona	1	1	1	1
Watchdog	Sim	Sim	Sim	Sim
Timer	1x	2x	4x	4x
Entradas/saídas	11	16	32	32
JTAG/Once	Sim	Sim	Sim	Sim
Controlador de interrupção	Sim	Sim	Sim	Sim
PWM	6 X Controle de motor	6 X Controle de motor	2 X 6 X Controle de motor	2 X 6 X Controle de motor
Módulo CAN	Não	Sim	Sim	Sim
Conversores A/D	2 x 4 x 12bit	2 x 4 x 12bit	2 x 4 x 12bit	4 x 4 x 12bit
Decodificador de quadratura		1x	2x	2x
Encapsulamento 160 MAPBGA	48 LQFP	100 LQFP	144 LQFP	160 LQFP



CONCLUSÃO

Neste artigo tratamos de uma aplicação para um controle de velocidade variável para um motor trifásico de indução AC.

A aplicação descrita aqui ilustra a eficiência e a facilidade de utilizar o microcontrolador como o coração do processamento de um robusto sistema de controle de motor de baixo custo.

HCS08 MICROCONTROLADOR DE 8 BITS ALTO DESEMPENHO, BAIXO CONSUMO VIDA LONGA PARA AS BATERIAS

A Motorola expandiu sua família de microcontroladores de 8 bits com a adição de novos itens que operam em 1,8V - sem diminuição de desempenho. Tirando partido do uso de modos de gerenciamento de consumo de energia - "power down" de 20nA e auto ativação pelo timer, as novas CPUs HCS08 foram projetadas para prolongar ao máximo a vida útil das baterias. Os HCS08 incluem hardware interno de emulação que pode ser usado em conjunto com o software de geração automática de código Processor Expert. Tudo isto com um desempenho equivalente a um ciclo de máquina de 50ns. Melhora no ciclo de projeto uma vez que os HCS08 são compatíveis com sensores e produtos analógicos da Motorola. Alto desempenho,



vida longa para baterias - o kit de desenvolvimento do HCS08 inclui ferramentas e informações

necessárias para que você possa tirar vantagem das características acima.

Para maiores informações, visite nosso site:

www.motorola.com/mcu



MOTOROLA
intelligence everywhere™

digital dna™

MC9S08GB & GT CARACTERÍSTICAS PRINCIPAIS

- CPU HCS08 de 8 bits com alto desempenho (até 20 MIPS)
- Interface de emulação inovadora no próprio chip com "trigger & trace"
- Memória Flash integrada de terceira geração de .25 micron
- Comunicação Serial abrangente com 2 SCIs, 1 SPI, 1 I2C
- Conversor A/D de 10 bits com tensão de alimentação mínima de 1,8v
- Até 8 canais do "timer" programáveis com PWM alinhado no centro ou na borda
- Placa de demonstração do MC9S08GB60
 - Operação a bateria com duas portas seriais, chaves, LEDs área de prototipagem, e programa de demonstração
 - Modifique o programa de demonstração ou desenvolva novo programa, grave e emule usando o CodeWarrior para HCS08 Special Edition gratuito, através da porta serial DB9 (cabo incluso)

Microeletrônica

Evolução das Tecnologias e Panorama Atual no Brasil e no Mundo

Prof. Sebastião G. dos Santos F.

Neste segundo artigo apresentaremos a evolução da microeletrônica no curto intervalo de cerca de 40 anos de sua existência. Será apresentada a lei de Moore que descreve o aumento em escala exponencial do número de dispositivos num *chip*. Utilizando o inversor e as portas lógicas básicas, serão também ilustradas as diversas tecnologias MOS de fabricação ao longo do tempo, bem como a constante diminuição das dimensões dos dispositivos. Finalmente, apresentaremos a evolução e o estado da arte da microeletrônica no Brasil.

INTRODUÇÃO

A microeletrônica tem se desenvolvido de forma agressiva notadamente no que tange a etapas de processamento avançadas, formas de projeto incluindo CAD/CAM e o desenvolvimento de tecnologias de fabricação cada vez mais elaboradas. No artigo anterior, exemplificamos uma tecnologia simples de fabricação CMOS com poço n , a qual foi melhor elaborada e adaptada em linha de produção na década de 80. Esta tecnologia existe até hoje em algumas fábricas de prototipagem com dimensão mínima de $0,8 \mu\text{m}$ como, por exemplo, a fábrica de difusão da AMS. As tecnologias mais avançadas empregadas em microprocessadores e memórias de alta densidade ($L < 0,18 \mu\text{m}$) adquiriram tamanha complexidade que o número de etapas de fabricação inclui número superior 100 e mais de 40 fotomáscaras. Por outro lado, as tecnologias MOS têm

dominado amplamente o mercado mundial de semicondutores, sendo que atualmente englobam mais de 85% do mesmo que está estimado em um trilhão de dólares.

A LEI DE MOORE

Um fato histórico interessante que marca o início do Vale do Silício, na Califórnia, Estados Unidos, refere-se ao ano de 1955 quando W. Shockley deixa a Bell Labs onde juntamente com Brattain e Bardeen havia inventado o transistor bipolar para fundar a sua própria empresa, a "Shockley Semiconductors". Esta empresa não se destacou, mas empregou pesquisadores de alto nível que mais tarde criariam a Fairchild e a Texas Instruments. Gordon Moore, responsável pela lei exponencial que leva o seu nome, foi um desses pesquisadores que mais tarde se tornaria um empreendedor de destaque.

Em 1965, Moore, então chefe de pesquisa e desenvolvimento na

Fairchild, publicou sua famosa "lei" que prevê o crescimento exponencial do número de componentes numa pastilha de circuito integrado. Originalmente, a previsão era de que o número de componentes iria dobrar a cada ano. Mais tarde, em 1975, Moore revisou sua previsão dizendo que o número de componentes aproximadamente dobraria de valor a cada dois anos. Isso ficou amplamente comprovado tanto para memórias de alta densidade como também para microprocessadores (veja, por exemplo, as figuras 1 e 3 do primeiro artigo sobre microeletrônica - junho de 2003). Por outro lado, a tabela 1 mostra a evolução das tecnologias de fabricação dos microprocessadores Pentium incluindo, além da dimensão mínima das linhas de interconexão e número de transistores por *chip*, também a frequência básica de relógio (*clock*). Observe nessa tabela que não apenas o número de transistores cresce exponencialmente, mas também a frequência de relógio tem dobrado e até triplicado de valor a cada dois anos.

Ano	Modelo	Dimensão mínima (μm)	Frequência de relógio básica	Número de transistores	Encapsulamento
1993	PENTIUM	0,8	60 MHz	3,1 milhões	PGA273
1995	PENTIUM PRO	0,6	150 MHz	5,5 milhões	PGA383
1997	PENTIUM MMX	0,35	233 MHz	4,5 milhões	PGA296
1997	PENTIUM II	0,25	300 MHz	7,5 milhões	SEC
1999	PENTIUM III	0,18	1 GHz	9,5 milhões	SEC - II
2000	PENTIUM 4	0,18	1,5 GHz	42 milhões	SOCKET 423

Tabela 1 - Evolução das tecnologias de fabricação de microprocessadores Pentium.

Em 1968, juntamente com Robert Noice, Moore também ajudou a fundar a Intel, sendo que esta empresa viria a produzir o primeiro microprocessador (Intel 4004) e se tornaria a maior fabricante mundial de *microchips* Pentium para microcomputador.

CURVA CARACTERÍSTICA I_{DS} X V_{DS} DO TRANSISTOR MOS

Conforme foi mostrado no artigo anterior, o transistor MOS é um dispositivo cuja corrente que passa entre dreno e fonte (I_{DS}) é controlada pela tensão aplicada na porta (V_{GS}). Esta corrente é proporcional à relação entre a largura (W) e o comprimento (L) de canal conforme equação (1), onde μ é a mobilidade do portador na região de canal (elêtron se for canal n e lacuna se for canal p), C_{ox} é a capacitância por unidade de área do óxido de porta, V_t é a tensão de limiar do transistor e V_{DS} é a tensão aplicada entre fonte e dreno.

A **figura 1(a)** ilustra a característica I_{DS} x V_{DS} do transistor nMOS tendo como parâmetro a tensão V_{GS} . Observe que esta curva é composta de região triodo ($V_{DS} < V_{GS} - V_t$) e região de saturação ($V_{DS} \geq V_{GS} - V_t$) e note que à medida que se aumenta a tensão V_{GS} entre porta e fonte, aumenta-se o valor associado ao patamar de corrente na saturação. A equação (2) descreve a corrente na região triodo.

Na região de saturação, a corrente I_{DS} é aproximadamente constante com a tensão V_{DS} e depende de forma quadrática com V_{GS} de acordo com a equação (3).

Conforme podemos observar, a equação (1) é uma descrição simples da corrente de dreno I_{DS} para o caso particular de tensão entre fonte e dreno muito pequena. O equacionamento fica mais complexo para V_{DS} da ordem de $(V_{GS} - V_t)$ mas mesmo assim, I_{DS} continua proporcional a W/L . Podemos escrever de forma geral para o transistor MOS que a resistência entre dreno e fonte (R_{DS}) dada pela relação entre a tensão V_{DS} e a corrente I_{DS} seja descrita pela

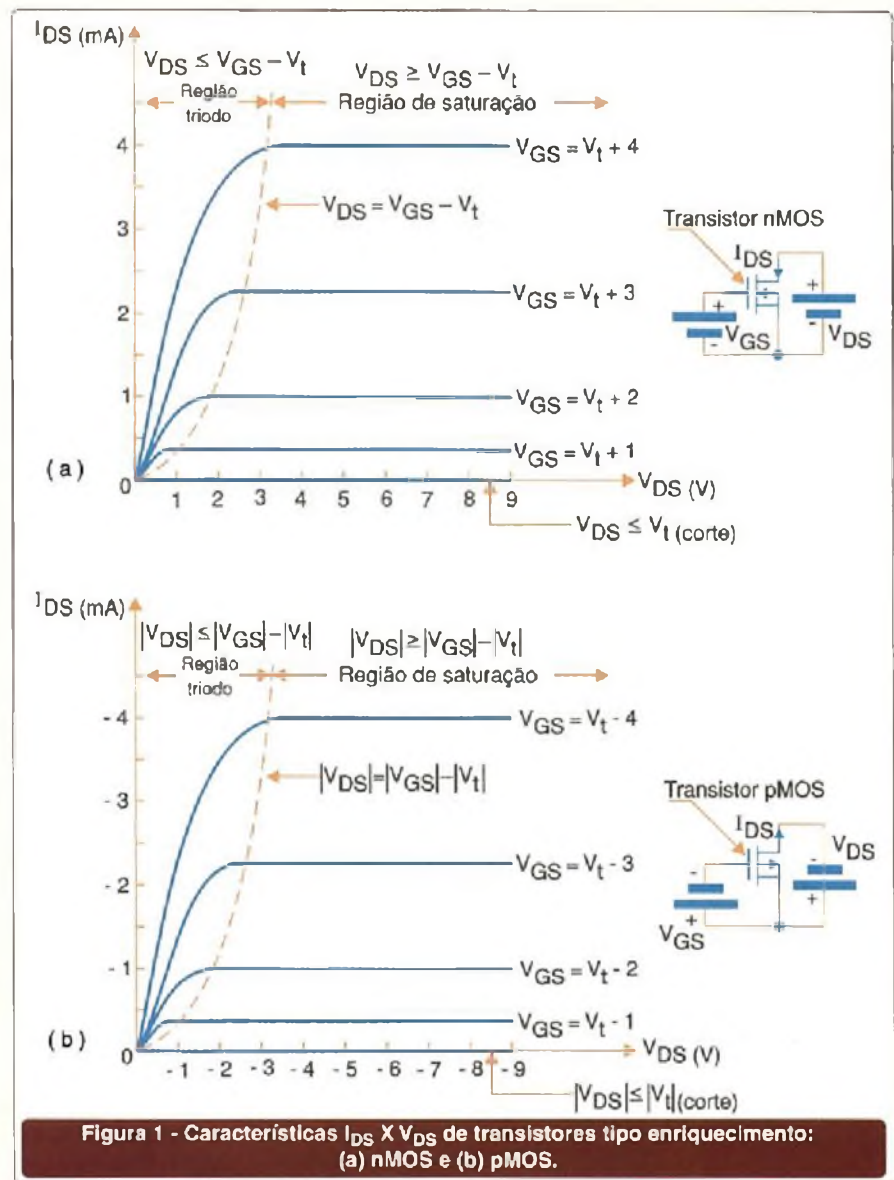


Figura 1 - Características I_{DS} X V_{DS} de transistores tipo enriquecimento: (a) nMOS e (b) pMOS.

equação (4), onde k é uma constante e R_{DS} é proporcional ao inverso da relação geométrica do transistor (W/L).

De forma análoga, a **figura 1(b)** traz a característica I_{DS} x V_{DS} do transistor pMOS tendo como parâ-

metro a tensão V_{GS} . Observe que esta curva também é composta de região triodo ($V_{DS} < V_{GS} - V_t$) e região de saturação ($V_{DS} \geq V_{GS} - V_t$), mas os valores de V_{DS} , V_{GS} , V_t e I_{DS} são negativos.

Os transistores apresentados até

$$(1) I_{DS} = \mu \cdot C_{ox} \frac{W}{L} (V_{GS} - V_t) \cdot V_{DS} \quad \text{para } V_{DS} \ll (V_{GS} - V_t)$$

$$(2) I_{DS} = \mu \cdot C_{ox} \frac{W}{L} \left((V_{GS} - V_t) \cdot V_{DS} - \frac{V_{DS}^2}{2} \right) \quad \text{para } V_{DS} < (V_{GS} - V_t)$$

$$(3) I_{DS} = \frac{1}{2} \mu \cdot C_{ox} \frac{W}{L} (V_{GS} - V_t)^2 \quad \text{para } V_{DS} \geq (V_{GS} - V_t)$$

$$(4) R_{DS} = \frac{V_{DS}}{I_{DS}} = \frac{k}{W/L}$$

Equações (1), (2), (3) e (4)

agora (veja figura 1) operam no modo enriquecimento, isto é, a região de canal é "enriquecida" de portadores através do efeito de campo gerado pela tensão de porta V_{GS} . Há também o transistor modo depleção, que difere do modo enriquecimento pelo fato do canal já estar pré-difundido ou implantado na região de canal. A figura 2 apresenta a construção básica e o símbolo do transistor nMOS tipo depleção. A diferença fundamental em relação ao nMOS tipo enriquecimento é o fato da tensão de limiar ser negativa. Neste transistor, a corrente I_{DS} irá fluir quando aplica-se uma tensão V_{DS} mesmo quando V_{GS} for nulo. O transistor só entrará em corte (ausência de corrente) se a tensão V_{GS} for menor do que a tensão de limiar (negativa), o que corresponde a "depletar" ou "despovoar" de portadores móveis a região pré-implantada.

Convém destacar que a curva característica $I_{DS} \times V_{DS}$ do transistor nMOS tipo depleção é semelhante à do transistor nMOS tipo enriquecimento (figura 1(a)) a menos do fato da tensão de limiar V_i ser negativa. Também, as equações (1), (2) e (3) modelam a corrente que passa no transistor tipo depleção a menos do fato de ter-se que substituir o valor negativo de V_i o qual, por sua vez, é diretamente proporcional à carga pré-implantada no canal.

PROJETO DA TENSÃO DE LIMIAR (V_i)

A dopagem do substrato de silício é um parâmetro inicial importante que irá influenciar no projeto da tensão de limiar do transistor MOS. Já foi visto que o transistor nMOS é fabricado em substrato tipo P e o transistor pMOS é fabricado em substrato tipo N.

Quando o silício é dopado com boro, o semiconductor se torna tipo P e haverá excesso de cargas positivas móveis (lacunas) no material sendo que para cada portador de carga existirá uma carga fixa coincidente com a posição ocupada pelo átomo dopante conforme indicado na figura 3(a), resultando em

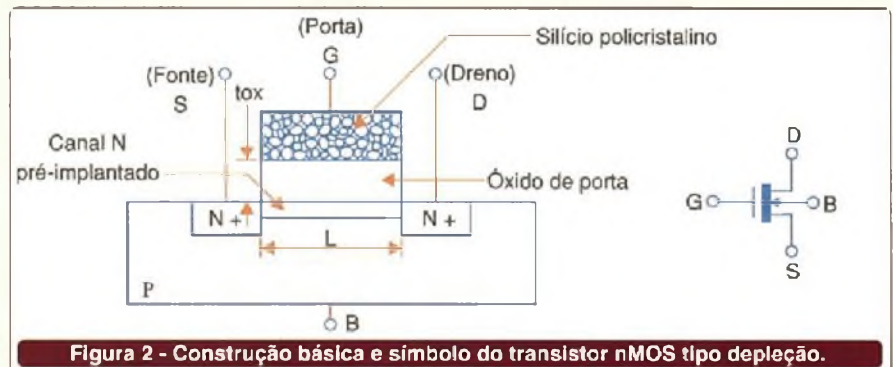


Figura 2 - Construção básica e símbolo do transistor nMOS tipo depleção.

neutralidade do material. A concentração de lacunas será igual à dopagem média de impurezas atômicas (N_A) introduzidas por unidade de volume no semiconductor. De forma análoga, quando o silício é dopado com arsênio ou fósforo, o semiconductor passa a ser tipo N e haverá excesso de cargas negativas móveis (elétrons) no material sendo que para cada portador de carga existirá uma carga fixa positiva coincidente com a posição ocupada pelo átomo dopante conforme indicado na figura 3(b). A concentração de elétrons será igual à dopagem média de impurezas (N_D) introduzida por unidade de volume no semiconductor.

A tensão de limiar V_i é um parâmetro de fundamental importância do transistor MOS sendo normalmente projetado numa dada tecnologia de fabricação de circuitos integrados digitais para ser da ordem de 20% da tensão de alimentação. Para o caso de 5 V, a tensão de limiar deve ser de cerca de 1 V para transistores nMOS e -1 V para transistores pMOS. Nas tecnologias atuais, com tensão de alimentação em torno de 1 V, a tensão de limiar é projetada para ficar em torno de 0,2 V. A tensão de limiar do transistor MOS é fortemente influenciada pela dopagem do substrato de

partida e pela espessura do óxido de porta. No caso do transistor nMOS, a tensão de limiar é função da dopagem do substrato P e da espessura do óxido de porta conforme a equação (5), onde N_A é a dopagem do substrato P por unidade de volume (cm^{-3}) e t_{ox} é a espessura do óxido em cm e, também, considerando o material de porta do transistor nMOS como sendo silício policristalino N+.

Para o transistor pMOS, a tensão de limiar é função da dopagem do substrato N e também da espessura do óxido de porta de acordo com a equação (6), onde N_D é a dopagem do substrato N por unidade de volume (cm^{-3}) e t_{ox} é a espessura do óxido em cm e o material de porta do transistor pMOS é o silício policristalino P+. É importante destacar que se a porta for de alumínio ao invés de silício policristalino (N+ ou P+), a constante 1,16 passa a ser 1,21 na equação (5) e a constante 1,16 na equação (6) passa a ser nula.

A tabela 2 mostra os valores das tensões de limiar, as espessuras do óxido de porta e as dopagens médias para os transistores nMOS e pMOS para as tecnologias com dimensão mínima de 0,35 μm e 0,18 μm utilizando porta de silício policristalino. Observe que a concentração média

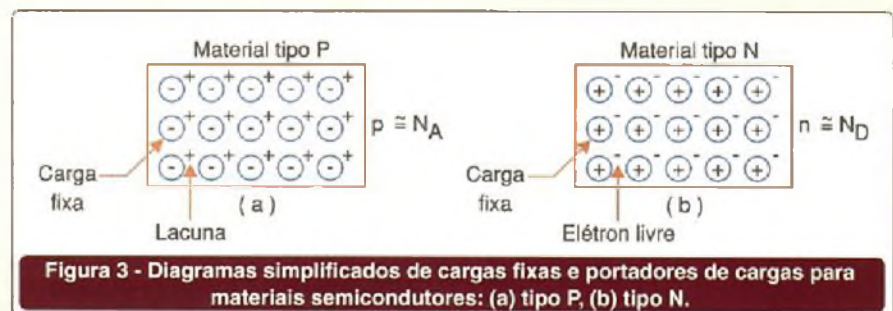


Figura 3 - Diagramas simplificados de cargas fixas e portadores de cargas para materiais semicondutores: (a) tipo P, (b) tipo N.

COMDEX®

SUCESU-SP
BRASIL 2003

Participe dos novos pavilhões específicos. Mais foco e especialização.



Borland Conference



Color Publishing



Internacional



GisBrasil



Automação

ESTRETE OS RELACIONAMENTOS COM O MUNDO DE TI.



Tudo que há de melhor em tecnologia concentrado num único evento. Consagrado como o mais importante da América Latina, atrai as melhores empresas e palestrantes do mundo todo.

Garanta seu lugar no evento que vai ditar as tendências em TI e Telecom que irão moldar e renovar o mercado tecnológico.

De 19 a 22 de agosto de 2003. Anhembi - São Paulo - SP

www.comdexbrasil.com.br
vendascomdex@guazzelli.com.br

Apoio:



Filiada a:



Organização / Promoção:



Tel.: 11 4688-6047 / 37
11 4688-6041

$$(5) V_t = 0,026 \cdot \ln N_A + 0,000381 \cdot t_{ox} \sqrt{N_A (\ln N_A - 23,4)} - 1,16$$

$$(6) V_t = -0,026 \cdot \ln N_D - 0,000381 \cdot t_{ox} \sqrt{N_D (\ln N_D - 23,4)} + 1,16$$

Equações (5) e (6).

fica na faixa de 1×10^{17} átomos/cm³ para se obter o V_t necessário para cada tecnologia. Veja também que além de haver a diminuição da tensão de limiar quando a tecnologia passa de 0,35 μm e 0,18 μm , também a espessura do óxido de porta diminui de 7,0 nm para cerca de 3,5 nm.

A figura 4 ilustra o valor obtido da tensão de limiar em função da dopagem média de substrato N_A parametrizado com a espessura do óxido. É fácil de ver que a tensão de limiar aumenta com o aumento da dopagem e da espessura do óxido de porta. Por outro lado, os substratos empregados na fabricação de circuitos integrados costumam apresentar dopagem na faixa de 1×10^{14} a 1×10^{16} átomos/cm³ significando que não é possível ter de antemão a lâmina de silício com a dopagem necessária para uma dada tensão de limiar. Nesse caso, o que normal-

mente se faz para ajustar a tensão de limiar é utilizar um processo de implantação iônica (já descrita no primeiro artigo da série microeletrônica - junho de 2003) de dopante no silício. Deve-se implantar arsênio ou fósforo em substrato N ou boro em substrato P através do óxido de porta a fim de ajustar a dopagem média do substrato.

Os principais parâmetros a serem controlados num equipamento comercial de implantação iônica são a energia E_i com que os átomos ionizados de um dado dopante incidem na lâmina de silício e a dose de implantação, isto é, o número de átomos por unidade de área (cm⁻²) implantados na mesma. Mais tarde é feito um tratamento em forno térmico em ambiente de gás inerte em temperaturas na faixa de 800 a 900 °C a fim de ativar os dopantes em posições substitucionais da rede cristalina do

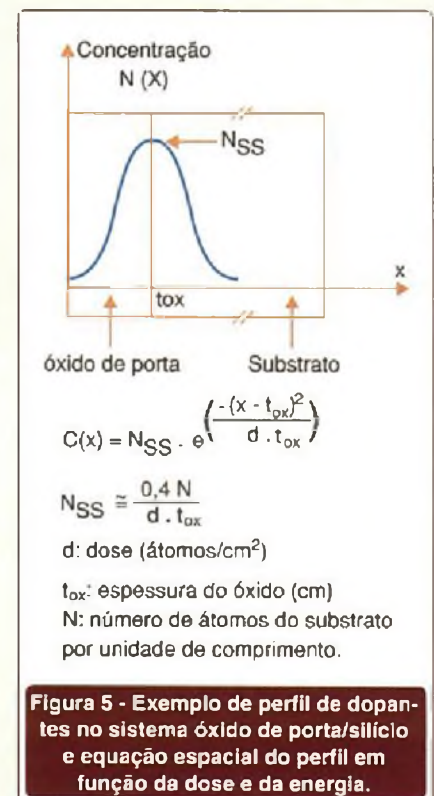
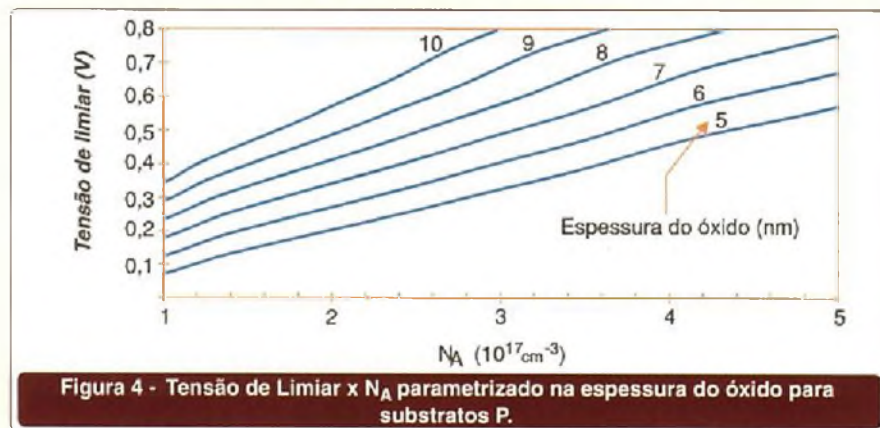
silício e recompor os estragos causados na rede devido aos impactos dos átomos energéticos. A figura 5 mostra um perfil de dopantes implantado através do óxido de porta. A energia costuma ser fixada de forma que o pico de implantação fique localizado na interface óxido/silício e a dose, de forma que a tensão de limiar esteja no valor adequado. Um critério aproximado consiste em se fazer a concentração máxima do pico de implantação na interface igual à concentração média que entra nas equações (5) e (6). Esta é uma boa aproximação e permite ajustar de forma simples o perfil de dopantes necessário para uma dada tensão de limiar.

Por outro lado, é importante destacar que existem atualmente programas simuladores de processo que simulam o perfil de dopante obtido por implantação iônica para quaisquer doses e energias e também calculam com maior precisão a tensão de limiar resultante para cada condição de implantação. O programa SUPREM que será descrito no próximo artigo é um desses programas e tem sido amplamente empregado pelos proje-

	Tecnologia 0,35 μm			Tecnologia 0,18 μm		
	V_t (V)	Dosagem média (cm ⁻³)	t_{ox} (10 ⁻⁷ cm)	V_t (V)	Dosagem média (cm ⁻³)	t_{ox} (10 ⁻⁷ cm)
Transistor nMOS	0,5	$N_A = 3,2 \cdot 10^{17}$	7,0	0,3	$N_A = 5,2 \cdot 10^{17}$	3,5
Transistor pMOS	-0,5	$N_D = 3,2 \cdot 10^{17}$	7,0	-0,3	$N_D = 5,2 \cdot 10^{17}$	3,5

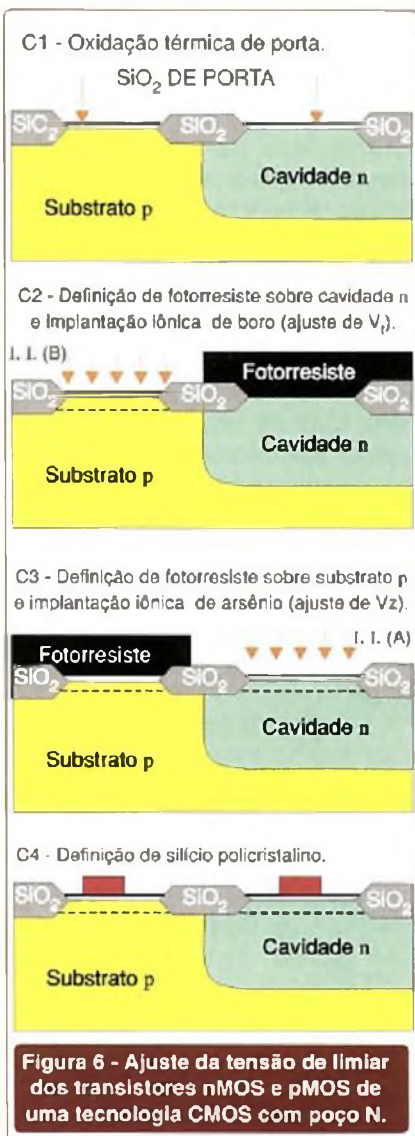
* 10^{-7} cm = 10^{-9} m = 1nm = 10 ANGSTROMS

Tabela 2 - Resultado do cálculo da concentração efetiva de dopantes na região de canal de transistores nMOS e pMOS. (Foram utilizadas as equações (5) e (6) nos cálculos).



listas de processos na fabricação de circuitos integrados.

Na figura 7 do artigo anterior (veja edição de junho de 2003 desta revista), observe que não foi feito o ajuste da tensão de limiar dos transistores pMOS e nMOS porque naquela ocasião não havíamos descrito a necessidade e a importância deste processo. Na etapa (c) da referida figura 7 do artigo anterior, após a oxidação de porta e antes da definição da porta de silício policristalino, é necessário fazer o ajuste da tensão de limiar dos transistores nMOS e pMOS conforme indicado na figura 6 do presente artigo onde são introduzidas duas novas fotografias seguidas de implantações iônicas.



EVOLUÇÃO DAS TECNOLOGIAS MOS

Conforme mencionado anteriormente, a tecnologia CMOS é atualmente a mais empregada para o projeto tanto de circuitos digitais como analógicos. A disponibilidade de dispositivos canal p e canal n permite uma flexibilidade de projeto de circuitos integrados sem precedentes e sem comparação com qualquer outra tecnologia de fabricação de circuitos integrados. A tecnologia MOS passou por uma evolução constante que pode ser constatado a partir dos inversores básicos de cada uma delas. A figura 7 mostra os inversores MOS classificados de acordo com o tipo de carga e na seqüência em que apareceram a saber: (a) carga saturada, (b) carga triodo, (c) carga em depleção e (d) inversor CMOS.

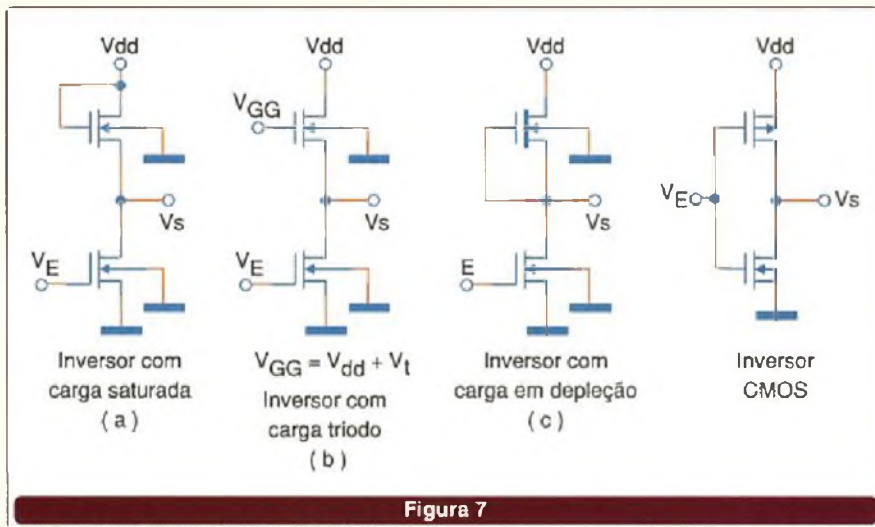
Observe nas figuras 7(a), 7(b) e 7(c) que se a tensão de entrada V_E for igual a zero volts (nível lógico "0" na entrada), o transistor nMOS corta ($V_{GS} = 0 < V_{tn}$) e o transistor de carga conduz. Nesse caso, a saída está ligada em V_{DD} através do transistor de carga e, portanto, a tensão de saída V_S tende a ser igual a V_{DD} (nível lógico "1" na saída). Nos casos das figuras 7(b) e 7(c), a saída vai efetivamente para V_{DD} porque os transistores de carga permanecem sempre conduzindo. Já no caso da figura 7(a) (carga saturada), a tensão de saída ficará presa em $V_{DD} - V_t$, pois esta corresponde à hora em que o transistor de carga tende a cortar. Ainda considerando as figuras 7(a), 7(b) e 7(c), se a tensão de entrada V_E for igual a V_{DD} (nível lógico "1" na entrada), o transistor nMOS conduz ($V_{GS} = V_{DD} > V_{tn}$) e o transistores de carga também conduzem. Como tanto o transistor de carga como o transistor de comando conduzem, a tensão do nível lógico inferior será determinado pela relação entre as geometrias (W/L) dos dois transistores. Conforme sabemos, a resistência entre dreno é fonte é proporcional ao inverso de W/L (veja equação (4)). Por isso, a relação W/L do transistor de comando deve ser bem maior que a do transistor de carga de forma a

se ter baixa tensão na saída ($V_S < 0,8$ V para $V_E = V_{DD} = 5$ V) porque a menor queda de tensão ocorre sobre a menor resistência de uma associação série. Este tipo de inversor é chamado "inversor com relação" porque a tensão de saída no nível lógico "0" depende da relação de geometrias dos transistores de carga e de comando. É interessante destacar que a tecnologia MOS com carga enriquecida e porta de alumínio foi empregada na fabricação do microprocessador 8080. Já a tecnologia MOS com carga em depleção e porta de silício policristalino foi empregada no passado para a fabricação do microprocessador Z80.

Por outro lado, observe na figura 7(d) que se a tensão de entrada V_E for igual a V_{DD} (nível lógico "1" na entrada), o transistor nMOS conduz ($V_{GS} = V_{DD} > V_{tn}$) e o transistor pMOS corta ($V_{GS} = 0$, chave aberta). A saída fica ligada em terra através do transistor nMOS e, portanto, a tensão de saída V_S é igual a zero volts (nível lógico "0" na saída). Por outro lado, se a tensão de entrada V_E for igual a zero volts (nível lógico "0" na entrada), o transistor nMOS corta ($V_{GS} = 0 < V_{tn}$) e o transistor pMOS conduz ($V_{GS} < V_{tp}$). Nesse caso, a saída está ligada em V_{DD} através do transistor pMOS e, portanto, a tensão de saída V_S é igual a V_{DD} (nível lógico "1" na saída). Este tipo de inversor é chamado "inversor sem relação" porque os níveis lógicos de saída independem da relação de geometrias dos transistores.

PANORAMA DA INDÚSTRIA MICROELETRÔNICA NO BRASIL

A indústria de dispositivos semicondutores desenvolveu-se rapidamente a partir da invenção do transistor, especialmente pelo fato da "Bell Labs" permitir acesso ao seu invento pelas outras empresas. No Brasil, um primeiro marco foi a instalação em São Paulo de uma fábrica de diodos e transistores pela Philco. Mais tarde, esta fábrica foi transferida para Contagem, MG por volta de 1975 através de parceria



entre Philco e RCA. A fábrica foi ampliada e modernizada e, além da fabricação de diodos e transistores, também implantou processos de fabricação de circuitos integrados lineares com tecnologia bipolar e dimensões mínimas de aproximadamente $5\ \mu\text{m}$ ($1\ \mu\text{m} = 0,001\ \text{mm}$). A parceria entre Philco e RCA nesta fábrica brasileira durou até 1985 quando foi vendida para o grupo SID/Sharp com participação do Bradesco. Criou-se assim, a SID Microeletrônica, responsável por grande parte dos componentes vendidos no mercado Brasileiro até 1996. Infelizmente, a partir dessa data, a linha de produção de circuitos integrados e dispositivos (linha de difusão) foi fechada ficando ativas apenas as atividades de montagem e encapsulamento de *chips* que passaram a ser importados.

Uma outra iniciativa industrial importante foi a empresa Transit. Esta foi criada em 1974 na cidade de Montes Claros, em Minas Gerais. A sua fábrica iniciou a produção de diodos e transistores bipolares em 1976, baseados em tecnologia desenvolvida no Laboratório de Microeletrônica (LME) da Escola Politécnica da USP. No entanto, esta fábrica não conseguiu sobreviver por muito tempo, tendo sido fechada por volta de 1980.

Convém também destacar que tivemos no passado a Icotron, do grupo Siemens, com fábrica em Gravataí (RS) e a SEMIKRON, com

fábrica em Cotia (SP). Ambas tinham linha completa de difusão de diodos e tiristores de potência. A Icotron fechou e doou seus equipamentos para a Universidade Federal do Rio Grande do Sul (UFRGS), enquanto que a SEMIKRON continua mantendo a etapa de encapsulamento dos diodos e transistores de potência. Por outro lado, devemos apresentar um destaque especial para a empresa AEGIS, fundada em 1982 por dois ex-pesquisadores, um da USP e outro da UNICAMP. Esta empresa fabrica dispositivos de potência tanto para o mercado nacional como também para o mercado internacional. Ela é um exemplo de capacidade de sobrevivência a todas as crises políticas e econômicas pelas quais o país passou nos últimos 20 anos.

Entretanto, não podemos deixar de citar a empresa Heliodinâmica (Vargem Grande Paulista, SP) que foi criada em 1980 para produzir lâminas de silício, células solares e sistemas fotovoltaicos. No caso das lâminas de silício, esta empresa tem atendido os mercados local e internacional.

Com a súbita abertura de mercado no início dos anos 90, empresas como a Texas Instruments, Philips e Sanyo que tinham fábricas de montagem e encapsulamento de componentes semicondutores, fecharam suas operações de produção. Apenas as empresas Itaucom (Jundiaí - SP) e SID (Contagem - MG) ainda continuam fazendo a etapa de encapsulamento de dispositivos discretos e circuitos integrados.

Apesar dos percalços na área de fabricação, houve um desenvolvimento intenso na área de projeto de circuitos integrados nas duas últimas décadas. O desenvolvimento da eletrônica industrial em geral, em muitos casos, requer o uso de circuitos integrados de aplicação específica em grande escala. Nessa perspectiva, os projetistas de circuitos integrados utilizam as fábricas de difusão no exterior para viabilizar a construção de CIs dedicados. A "design House" da Motorola, situada no interior paulista, é um exemplo de projetistas atuando na obtenção de CIs dedicados.

A área de microeletrônica no Brasil tenta superar o lapso tecnológico em relação aos países detentores de linhas de produção completas de componentes. Atualmente, o déficit comercial na área de componentes eletrônicos é superior a 2 bilhões de dólares por ano e a instalação de uma ou mais fábricas de circuitos integrados é uma necessidade real no sentido de poder equilibrar a balança comercial do país.

No próximo artigo desta série sobre microeletrônica, apresentaremos as tecnologias de fabricação de circuitos integrados com especial ênfase nas tecnologias CMOS para fabricação de circuitos e sistemas digitais. Ilustraremos ainda as tecnologias mais recentes de fabricação de circuitos integrados e mostraremos detalhes técnicos importantes para os projetistas de CIs e Sistemas.

REFERÊNCIAS

1. Relatórios da SIA (Semiconductor Industry Association): www.public.itrs.net
2. Microprocessadores Intel: www.intel.com
3. Sedra, A.S. and Smith, K.C. Microeletrônica. Makron Books, 2000, ISBN 85-346-1044-4 (tradução da 4a. edição em inglês).
4. Afiliação do Autor: Escola Politécnica da USP - Departamento de Engenharia de Sistemas Eletrônicos - Laboratório de Sistemas Integráveis: www.poli.usp.br



TENDÊNCIAS DA TECNOLOGIA PARA MONTAGEM EM SUPERFÍCIE (SMT)



A indústria moderna exige componentes cada vez menores e mais complexos. Impulsionada pela eletrônica de consumo, principalmente de telecomunicações e automotiva, a indústria de componentes tem como principal meta a miniaturização, na criação de novos produtos. No entanto, quando os componentes se tornam menores e mais complexos, surgem dificuldades técnicas que devem ser levadas em conta, tais como o consumo de energia, a confiabilidade e o próprio manuseio nos processos automáticos de fabricação. Neste artigo, analisaremos a evolução dos invólucros usados nas tecnologias de montagem em superfície e algumas tendências para o futuro.

Newton C. Braga

NÚMERO DE PINOS

À medida que a complexidade dos chips aumenta, cresce igualmente o número de terminais de acesso aos circuitos integrados desses chips. A National Semiconductor publicou um mapa onde temos a evolução dos invólucros a partir da década de 1980. Esse gráfico é ilustrado na figura 1.

Através dele, podemos observar que o número de terminais cresceu quase 100 vezes desde o lançamento dos primeiros circuitos integrados em invólucros DIP.

Observamos que esta tecnologia teve seu ponto de partida para a criação de invólucros altamente miniaturizados e com grande quantidade de pinos para montagem em superfície na década de 80, com o aparecimento

dos tipos PGA e FPGA cujo número de terminais se aproximava, na época, de 500.

Evidentemente, o limite para o número de terminais de um componente está diretamente ligado à capacidade que as tecnologias de montagem têm de manusear esses terminais de forma confiável em um processo de manufatura automatizada.

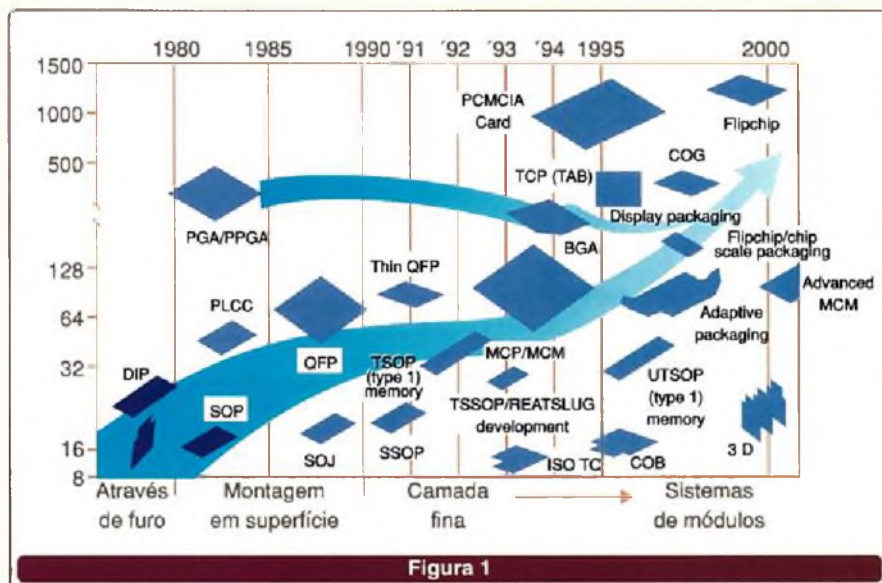
MINIATURIZAÇÃO

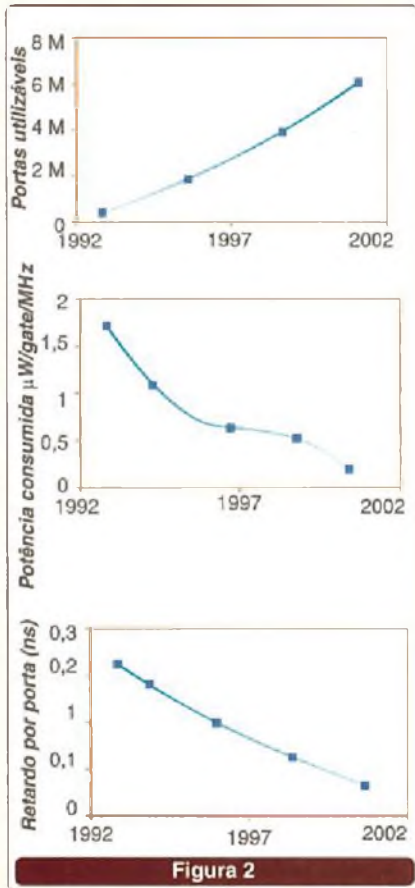
Uma linha de componentes menores e mais leves é a tendência da eletrônica, principalmente atendendo às necessidades dos produtos de consumo. Assim, câmeras digitais, computadores pessoais, telefones celulares, etc., são alguns exemplos de aplicações que tendem a ser cada vez menores.

Na figura 2 mostramos a tendência de miniaturização dos ASICs onde são feitas comparações entre as portas empregadas, os retardos de sinal, o consumo de energia e a largura das menores trilhas.

Observe que, à medida que aumenta o número de portas, o consumo, o tempo de propagação dos sinais e também as dimensões das trilhas diminuem proporcionalmente de modo a se obter sempre o melhor desempenho.

Por outro lado, a miniaturização também leva a uma redução dos tamanhos dos componentes discretos como, por exemplo, capacitores





cerâmicos multicamadas e outros componentes discretos que também são importantes nas montagens.

BGA

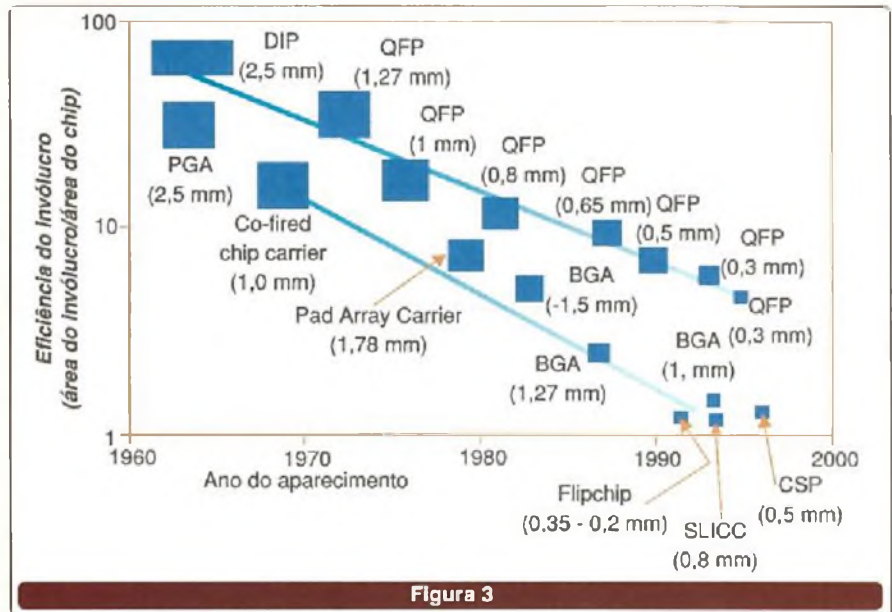
A necessidade de um elevado grau de integração levou rapidamente os invólucros a uma redução para menos de 0,3 mm, como no caso QFP.

Entretanto, esses invólucros representavam um gargalo para o aumento da performance, uma vez que um aumento maior da miniaturização esbarrava em sérios problemas de precisão, como podemos notar pelo gráfico da **figura 3**.

A solução para o problema surgiu com a vinda do invólucro BGA, que aparece em diversas variações ilustradas na **figura 4**.

BGA significa *Ball Grid Array* e as suas variações são:

- PBGA - *Plastic Ball Grid Array*
- CCGA - *Ceramic Column Grid Array*
- CBGA - *Ceramic Ball Grid Array*



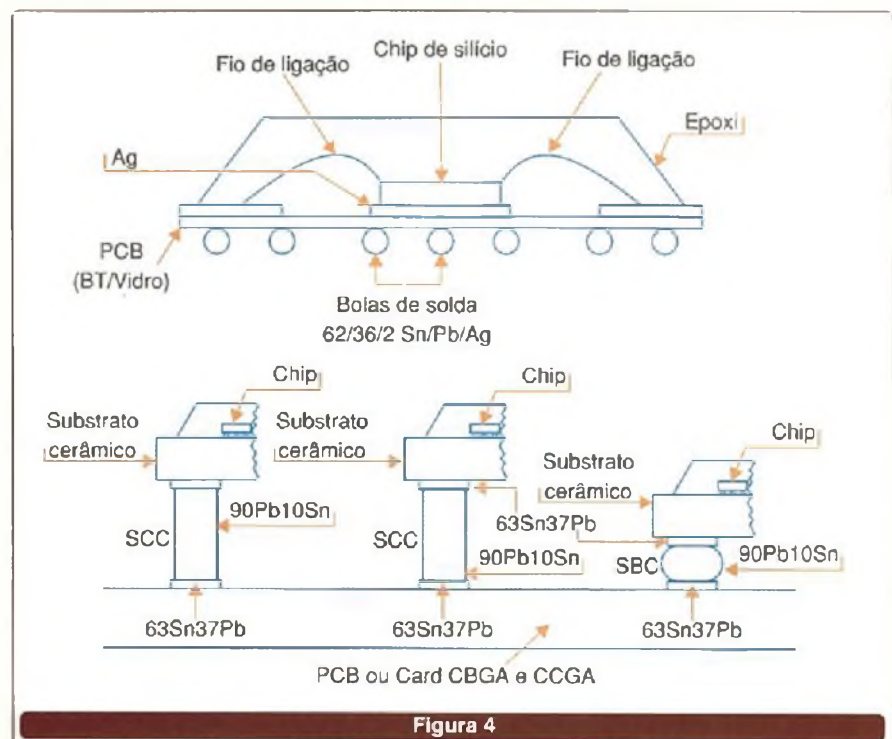
Esses invólucros possuem pequenas bolas de solda de Sn62/Pb36/Ag2 ou Sn63/Pb37.

Para os invólucros com colunas de cerâmica, temos uma composição diferente para a solda, a qual é exemplificada na própria **figura 4** em que damos as diversas proporções dos elementos que a compõe.

Com o uso deste tipo de encapsulamento, a taxa de defeitos caiu bastante em relação aos anteriores,

o que fez essa tecnologia ser aceita rapidamente pela indústria. A propósito, as estimativas são de que 85 bilhões de circuitos integrados foram manufaturados em 2001 utilizando essa tecnologia.

É claro que existem algumas desvantagens a serem consideradas nesse tipo de invólucro, e uma delas é o custo por terminal, que é maior do que nos invólucros DIP, SO, CC e QFP.



FLIP CHIP

Uma outra tecnologia emergente para montagem em superfície é a conhecida como Flip Chip. Na **figura 5** apresentamos as diversas variações dessa tecnologia.

Nessa tecnologia, a face ativa do circuito integrado fica em contato com o substrato. Segundo informações confiáveis, a estimativa de uso para esse tipo de encapsulamento foi da ordem de 2,5 bilhões de unidades em 2002. Os maiores consumidores de chips com essa tecnologia de encapsulamento são a indústria automotiva e de relógios.

Todavia, a indústria de Telecomunicações mostra um crescente consumo de chips com esse tipo de encapsulamento, principalmente para as aplicações portáteis tais como telefones celulares, PDAs, etc.

CONCLUSÃO

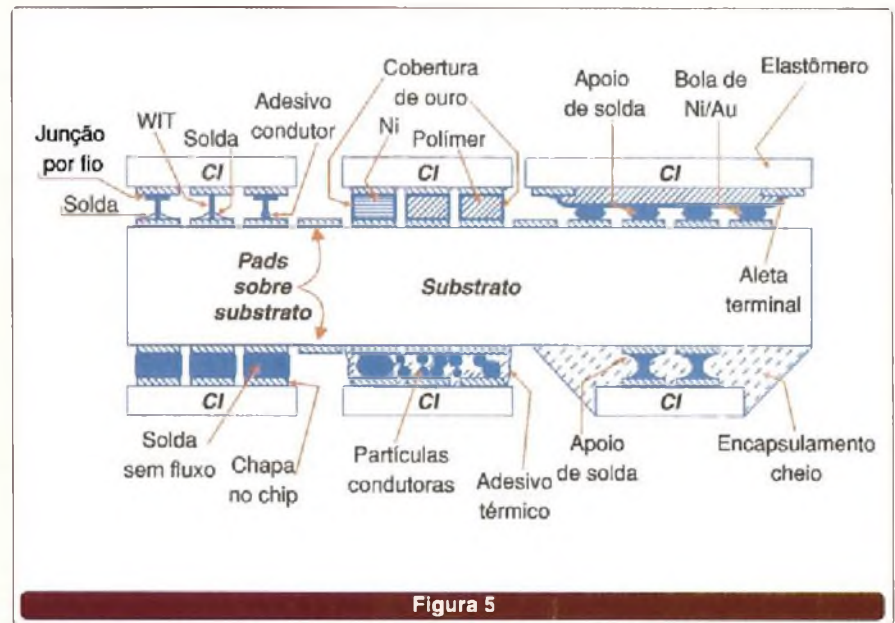
Graças à tecnologia de montagem em superfície é possível obter

equipamentos eletrônicos cada vez menores, mais rápidos, com menor consumo e mais confiáveis.

Acompanhando a evolução dos dispositivos eletrônicos que ficaram cada vez mais complexos e mais rápidos, a tecnologia do invólucro tornou esses dispositivos menores

e mais fáceis de manusear nos processos de manufatura.

O que teremos nos próximos anos, fica difícil de prever, mas, certamente, chegará o momento em que o invólucro e próprio chip vão se confundir no processo de montagem.



Está difícil de achar? Ligue para a Farnell Newark InOne. Nós encontramos para você.

MAIS DE 400
FABRICANTES
TOP DE LINHA

SERVIÇO
PERSONALIZADO

MAIS DE 35.000
PRODUTOS
NOVOS



Através de nossa central de vendas você tem acesso as melhores marcas de Semicondutores, Discretos e equipamentos de teste e medição para a montagem de todos os seus projetos. Sejam eles os mais simples ou os mais elaborados, a Farnell Newark InOne, conta com uma estrutura de suporte técnico que permite a você obter todas as informações necessárias a respeito das melhores opções para suas necessidades.

Ligue agora mesmo e conheça de perto a Farnell Newark InOne. Teremos prazer em atendê-lo.

Contatos:
Fone: 11 4066-9400
Fax: 11 4066-9410
E-mail: vendas@farnell-newarkinone.com

FARNELL | NEWARK
in one

Fontes de Alimentação – Parte 1

Conheça os principais tipos, e saiba como escolher a melhor solução para o seu projeto.



Marcos Fernandes

Atualmente, em qualquer setor que imaginarmos, a palavra de ordem é: EFICIÊNCIA. Para quem trabalha com equipamentos que consomem (ou geram) energia elétrica, essa necessidade é ainda maior, dado o atual cenário energético nacional.

Quando pensamos em fontes de alimentação devemos lembrar dos vários fatores e características que englobam não só a utilização destas, mas também seu funcionamento, seja na bancada de laboratório, em sistemas de pequeno porte, no interior de algum equipamento eletro-eletrônico, ou até mesmo nas grandes fontes que alimentam centrais telefônicas inteiras e outros sistemas de grande porte.

Como características de utilização citaremos além da potência que ela pode, ou deve fornecer: estabilidade, imunidade a ruído, proteções, etc. Em relação ao funcionamento, devemos ficar atentos, por exemplo, à dissipação de calor, emissão e/ou sensibilidade às interferências eletromagnéticas (EMI), espaço consumido na placa, entre outros.

Mas qual o motivo para tanta preocupação? Para entender melhor a complexidade do assunto, alguns pontos devem estar bem claros na cabeça do leitor:

Rendimento: É a relação entre o trabalho realizado por um sistema e a energia fornecida por este, representando, assim, a energia aproveitada. Isto nos faz lembrar uma das leis

fundamentais da Física, o Princípio da Conservação de Energia: "A energia não pode ser criada nem destruída, apenas transformada".

EMI – Electromagnetic Interference, ou Interferência Eletromagnética: Energia que é absorvida ou emitida por um circuito que opera em uma condição "não contínua", ou seja, um circuito que varia (contínua ou periodicamente), seus parâmetros ou condições (de tensão, por exemplo). O chaveamento de tiristores em um inversor de frequência é um exemplo de circuito emissor.

Espaço: Volume total ocupado pelos componentes que integram determinado circuito, incluindo o volume para que eles operem satisfatoriamente. No caso das fontes de alimentação, por exemplo, o espaço para se dissipar o calor gerado por elas próprias, ocupado por dissipadores de calor e/ou ventiladores.

Uma boa fonte de alimentação é aquela que possui um rendimento elevado e que, portanto, ocupa pouco espaço. Outro fator a ser considerado é o maior custo para a montagem dessa fonte, uma vez que serão necessários dispositivos auxiliares como dissipadores e/ou ventiladores cada vez maiores, filtros, etc.

Mas, o que fazer então? A resposta está na escolha do tipo de fonte de alimentação mais adequado para cada aplicação.

TIPOS DE FONTES DE ALIMENTAÇÃO REGULADAS

Basicamente, as fontes de alimentação reguladas podem ser classificadas entre lineares e chaveadas. Nas fontes classificadas como lineares, assim como nas chaveadas, existem "subclasses" que precisam ser entendidas.

Lineares:

Fontes lineares são identificadas, basicamente, por ter a tensão de entrada maior que a(s) tensão(ões) de saída. A razão entre essas tensões é que faz a diferença com relação ao rendimento, ou seja, quanto maior a tensão de entrada e menor a de saída, maiores serão as perdas internas na forma de calor que precisarão ser dissipadas. Nos reguladores comuns, a exemplo dos que utilizam diodos Zeners, reguladores da família 78xx, e 317, entre outros, é necessário que a tensão de entrada tenha, no mínimo, 2 volts a mais que a tensão a ser regulada em sua saída. Nestes reguladores, o rendimento gira em torno de 60%, ou seja, de toda a energia fornecida para a fonte, 40% é dissipada em forma de calor (efeito Joule).

Reguladores LDOs (Low Drop Out):

Estes reguladores não pertencem à subclasse das fontes lineares e têm como principal característica a pequena diferença entre as tensões

de entrada e saída (em alguns casos esta diferença pode chegar a apenas 35 mV), melhorando assim sua eficiência, uma vez que proporcionarão menores perdas, sendo ideais para circuitos alimentados por pilhas ou baterias.

Chaveadas:

Fontes chaveadas são aquelas que fazem a comutação de um (ou de um arranjo de) capacitor(es) - por isso o nome chaveada - para manipular tensão e/ou corrente de saída. Uma de suas principais características é a maior flexibilidade dos parâmetros de saída (tensão e corrente) e a possibilidade de oferecer tensões de saída maiores que as de entrada, menores que as de entrada ou até mesmo inversas. Uma das vantagens de se utilizar esse tipo de regulador reside no fato de seu rendimento alcançar níveis superiores a 80%, atualmente. Veja a figura 1.



Figura 1

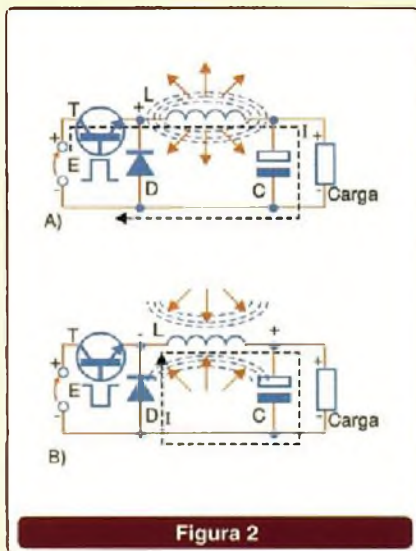


Figura 2

Buck:

Essa classe de reguladores é utilizada quando se necessita de uma tensão menor na saída em relação à apresentada em sua entrada. Geralmente os circuitos buck figura 2 podem controlar potências elevadas.

Booster:

Quando é necessária uma tensão de saída maior do que a apresentada em sua entrada, utilizamos os circuitos do tipo booster (figura 3). Esses circuitos elevam o nível de tensão disponível em sua entrada sem sacrificar a potência, ou seja, possuem capacidade de fornecer correntes elevadas também.

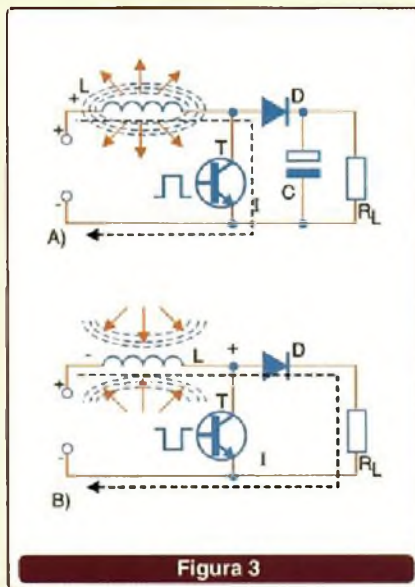


Figura 3

Charge Pumps:

Este tipo de fonte pode ter tensões, em sua saída, maiores do que a tensão de entrada; entretanto, não possui capacidade de fornecer altas correntes, já que depende do chaveamento em altas frequências de um arranjo de capacitores para elevar a tensão de saída ou até mesmo invertê-la.

Uma variação dos Charge Pumps é o Flyback, onde é inserido um transformador no sistema.

Na próxima edição, será apresentado um comparativo prático entre as diversas fontes possíveis para uma mesma aplicação, onde analisaremos as vantagens e desvantagens de cada uma delas.

ELETRÔNICA

Edições anteriores



Pedidos:
 (11) 6195-5333
 www.editorasaber.com.br



IHM E SUPERVISÃO DE FALHAS

A tecnologia das Interfaces Homem-Máquina tem evoluído muito nos últimos tempos. Hoje, esses dispositivos não se limitam apenas a prover informações ao operador, mas tornaram-se parte integrante do processo. Neste artigo, vamos explorar um pouco esses recursos, e mostrar como eles agregam valor na automação industrial.

Alexandre Capelli

ESTRUTURA BÁSICA DA IHM

Conforme podemos observar pela **figura 1**, a estrutura básica de uma interface é praticamente igual à de um PC convencional. Um teclado, geralmente feito de membrana, comunica-se com uma CPU, e portas de comunicação.

A CPU varia muito de um tipo de IHM para outro. Podemos encontrar desde unidades equipadas com microprocessadores do tipo Z-80 (ou até mesmo com microcontroladores de 8 bits) até hardwares cuja plataforma é o Pentium III.

O monitor também pode assumir várias formas. Há IHMs, aliás, que nem possuem um "monitor", mas sim um pequeno *display LCD* (**figura 2**), e, por outro lado, outras com tela de cristal líquido colorido (ou até plasma).

O emprego dos diversos tipos depende da complexidade do sistema e de qual nível de interferência deseja-se que a IHM seja capaz de implementar no processo.

SUPERVISÃO DE FALHAS

Uma das possibilidades muito interessante da IHM é a supervisão de falhas. A **figura 3** mostra um exemplo de interface capaz de executar essa tarefa. Trata-se de uma unidade da Phoenix Contact. Através do aplicativo *diagnet*, esse dispositivo pode monitorar falhas. Sem dúvida alguma,

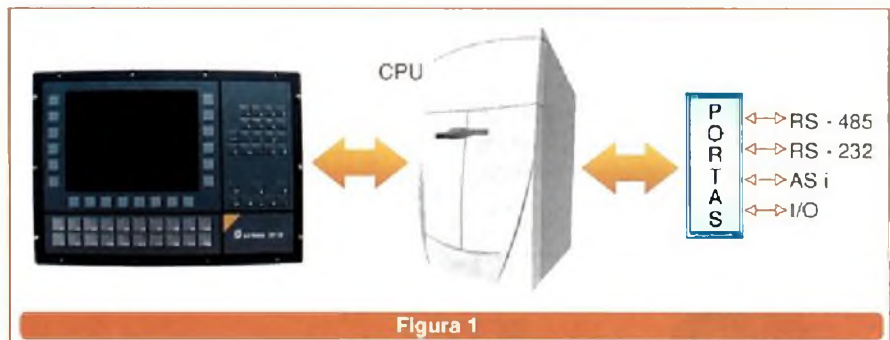


Figura 1

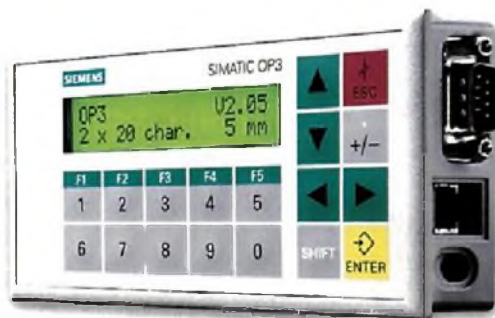


Figura 2

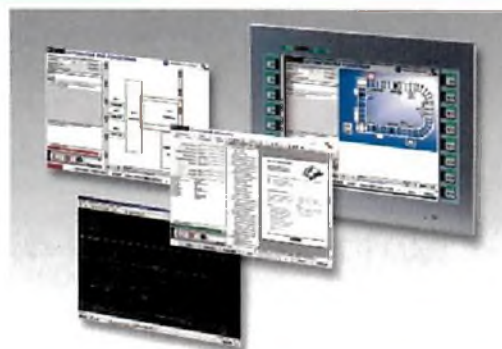


Figura 3

uma excelente solução para o técnico de campo.

O sistema foi demonstrado na última FEIMAFE, que aconteceu em maio deste ano na Cidade de São Paulo. Uma planta simula a produção de veículos, onde a quebra de comunicação entre CLPs é provocada.

Através de uma tela "touch screen", é possível detectar onde ocorreu a falha, e com detalhes muito importantes.

Não apenas o ponto exato da quebra é supervisionado, mas o técnico pode resgatar toda informação necessária sobre os componentes do sistema na própria IHM, inclusive o "Data-Sheet". Como a qualidade da imagem é muito boa, é possível visualizar o dispositivo com defeito.

CARACTERÍSTICAS DO SISTEMA

As principais características dessa solução proposta pela Phoenix Contact são:

- O DiagNet é um pacote de hardware e software para diagnóstico de sistema relativo a instalação. Ele é baseado no software de visualização Gênese32, trabalhando em conjunto com o software de diagnóstico Diag+ INTERBUS. Com mensagens a partir do sistema INTERBUS via Diag+, dados relativos a instalação são mostrados diretamente do sistema de visualização. Esses dados compreendem *data-sheets* dos dispositivos, diagramas de circuito, planejamento de instalação e fotografias.

- Se o Diag+ detecta algum erro, o planejamento da instalação e o histórico de imagens no DiagNet pode mostrar ao Serviço Técnico o caminho mais direto até o dispositivo. Não são mais necessárias longas interpretações dos códigos de erro. Se for preciso, o diagrama de circuito referente a imagem, poderá ser acessado *online* via EPLAN view, por exemplo. Além disso, vários tipos de documentos podem ser abertos e visualizados no Acrobat Reader. Longas buscas entre pilhas de documentos não serão necessárias. Todos os dados podem ser centralizados em um servidor e acessados a partir dele.

SABER ELETRÔNICA Nº 366/JULHO/2003

INTERFACES DEDICADAS

O integrador de tecnologia tem duas alternativas para implementar uma interface homem-máquina no seu sistema. Uma delas é utilizar os modelos já prontos no mercado, onde a função das teclas podem ser programadas. As telas também são programáveis, muitas vezes pelo próprio usuário.

Caso seja necessário (ou desejável), é comum a utilização de "soft-keys". Entretanto, dependendo da natureza do processo, talvez, uma IHM dedicada seja requerida. Atualmente, isso não é um problema, visto que temos vários fabricantes especializados no mercado, e que podem desenvolver produtos sob medida.

A figura 4 ilustra um exemplo de IHM dedicado utilizado pela ABB, e que equipa vários robôs. Esse dispositivo tem uma ergonomia toda especial, sendo possível fixá-la no próprio braço do operador.

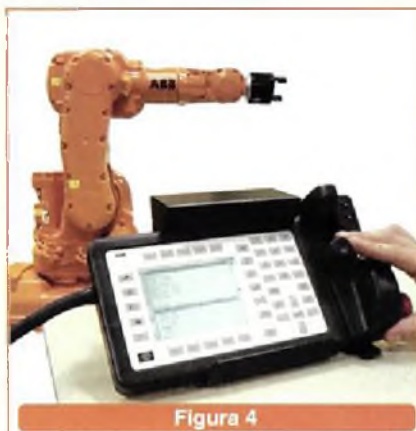


Figura 4

CONCLUSÃO

A utilização de um ou outro modelo de interface homem-máquina, com certeza, é um fator importante a ser analisado pelo desenvolvedor ou integrador de sistemas de automação.

À primeira vista, o custo da sua implementação pode parecer alto, porém, o aumento significativo do MTBF e a redução do MTTR da planta podem representar uma economia significativa, tanto nos processos da manufatura quanto nos contínuos.

Eletrônica sem Choques!!!

**OS MAIS MODERNOS
CURSOS PRÁTICOS
À DISTÂNCIA**

**Aqui está a grande chance de você
aprender todos os segredos da
eletroeletrônica e da informática**

*Preencha, recorte e envie hoje mesmo o cupom
abaixo. Se preferir, solicite-nos através do telefone ou
fax (de segunda à sexta-feira das 08:30 às 17:30 h)*

- Eletrônica Básica
- Eletrônica Digital
- Rádio •Áudio •Televisão
- Compact Disc
- Videocassete
- Forno de Microondas
- Eletrônica, Rádio e Televisão
- Eletrotécnica
- Instalações Elétricas
- Enrolamento de Motores
- Refrigeração e Ar Condicionado
- Microprocessadores
- Software de Base
- Informática Básica - DOS/WINDOWS
- Montagem e Manutenção de Micro

**Em todos os cursos você tem uma
CONSULTORIA PERMANENTE!**

Occidental Schools®

Av. Ipiranga, 795 - 4º andar

Fone: (11) 222-0061

Fax: (11) 222-9493

01039-000 - São Paulo - SP

**À
Occidental Schools®**

Caixa Postal 1663

01059-970 - São Paulo - SP

**Solicito, GRÁTIS
o Catálogo Geral de cursos**

Nome: _____

End: _____

Bairro: _____

CEP: _____

Cidade _____ Est.: _____

electronicAmericas2003

Feira Internacional da Indústria de Componentes, Subconjuntos, Equipamentos para a Produção de Componentes, Tecnologia Laser e Optoeletrônica

6-10

Outubro

2003

Anhembi

São Paulo-SP

www.electronic-americas.com.br

Organização e Promoção:

Apoio Institucional:

Informações:

Representante Internacional:

Apoio

Afiliação à:



Tel. (11) 6221-9908 / 3829-9111
R. 9420 / 9421 - Fax: (11) 6221-2378
info@electronic-americas.com.br



electronicAmericas2003 Feira Internacional da Indústria de Componentes, Subconjuntos, Equipamentos para a Produção de Componentes, Tecnologia Laser e Optoeletrônica • 6 - 10 Outubro 2003 - Anhembi - São Paulo - SP

- EXPOR** - Envie este cupom totalmente preenchido por fax (11) 6221-2378 para obter maiores informações sobre expor na electronicAmericas.
- VISITAR** - Para sua comodidade, solicite sua credencial permanente para visitar o evento através do site www.electronic-americas.com.br, ou envie este cupom totalmente preenchido por fax (11) 3826-1678 até a data limite de 5 de setembro de 2003, ou apresente-o na portaria da feira com seu cartão comercial. É proibida a entrada para menores de 16 anos, mesmo se acompanhados.

Empresa: _____

Nome: _____ Cargo: _____

Ramo de Atividade: _____

Endereço: _____

CEP: _____ Cidade: _____ Estado: _____

Tel.: _____ Fax: _____ E-mail: _____



Feira Internacional da Indústria Elétrica, Energia e Automação

6 - 10 Outubro 2003
Anhembi - São Paulo - SP

www.feiraeletrica.com.br

Organização e Promoção:



FEIRAS DE NEGÓCIOS
ALCANTARA MACHADO

Informações:

Tel. (11) 6221-9908 / 3829-9111 Ramais 9420 / 9421
Fax: (11) 6221-2378 - info@feiraeletrica.com.br

Apoio Institucional:

abinee

Apoio



VARIO

Afiliada a:



Feira Internacional da Indústria Elétrica, Energia e Automação • 6 - 10 Outubro 2003 - Anhembi - São Paulo - SP

- EXPOR** - Envie este cupom totalmente preenchido por fax (11) 6221-2378 para obter maiores informações sobre expor na FIEE ELÉTRICA.
- VISITAR** - Para sua comodidade, solicite sua credencial permanente para visitar o evento através do site www.feiraeletrica.com.br, ou envie este cupom totalmente preenchido por fax (11) 3826-1678 até a data limite de 5 de setembro de 2003, ou apresente-o na portaria da feira com seu cartão comercial. É proibida a entrada para menores de 16 anos, mesmo se acompanhados.

Empresa: _____

Nome: _____ Cargo: _____

Ramo de Atividade: _____

Endereço: _____

CEP: _____ Cidade: _____ Estado: _____

Tel.: _____ Fax: _____ E-mail: _____

BASE DE TEMPO PARA TEMPORIZAÇÃO COM MICROCONTROLADOR MOTOROLA 68HC908GP32

A base de tempo é um método usado para a geração de temporizações, frequências, intervalos de eventos, osciladores monoestáveis e astáveis, modulação de largura de pulsos (PWM), etc. Nos equipamentos eletrônicos desenvolvidos com microcontroladores, DSPs e microprocessadores, normalmente esses circuitos incluem um ou dois *timers* físicos para a criação de bases de tempos. Neste artigo, mostramos como implementar uma base de tempo com o microcontrolador 68HC908GP32 da Motorola.

Alfonso Pérez

O microcontrolador 68HC908 GP32 contém dois módulos temporizadores de 16 bits chamados TIM (*Timer Interface Module*). O TIM do *timer 1* é chamado TIM1 e do *timer 2*, TIM2. Esses módulos têm propriedades iguais e trabalham de modos independentes um do outro. Para a finalidade deste circuito é utilizado o TIM1.

O módulo TIM1 tem um contador de 16 bits que incrementa com cada pulso de *clock* recebido, chamado T1CNT (Contador do *Timer 1*). O registro (8 bits) mais significativo do contador do *timer 1* é denominado T1CNTH e o menos significativo T1CNTL.

Quando se faz referência ao registro contador do *timer 1* de 16 bits, normalmente se representa da seguinte forma: T1CNTH:T1CNTL.

Esse contador é componente central do TIM1, pois realiza a contagem de pulsos. O TIM1 também tem um Registro de Módulo de 16 bits chamado T1MODH:T1MODL, o qual armazena o valor onde se deseja que o *timer1* gere uma interrupção. Por exemplo: supondo-se que o registro T1MODH:T1MODL seja carregado com 100.

Quando o contador do *timer* (T1CNTH:T1CNTL) alcançar o valor programado no registro do Módulo T1MODH:T1MODL, ou seja, forem iguais, o TIM zerará (\$0000) o contador do *timer* (T1CNTH:T1CNTL) e poderá

gerar uma interrupção. A **figura 1** mostra um diagrama em que podemos ver como operam esses registros para a detecção dessa igualdade, tendo como base comparadores.

Os comparadores são circuitos formados por portas lógicas (AND, OR, NOT) para detectar a igualdade entre os valores. Quando esta igualdade é alcançada, o comparador muda de estado em uma saída para informar à lógica de controle.

Para controlar o contador do *timer 1*, o TIM1 tem um registro de estado e controle chamado T1SC (*Timer1 Status Control Register*).

Os principais *bits* deste registro são:

TOF - *Flag de Overflow do Timer* (*Timer Overflow Flag*).

1 = Avisa que o contador do *timer* (T1CNTH:T1CNTL) igualou o valor no Registro do Módulo (T1MODH:T1MODL).

0 = contador do *timer* não igualou o valor no Registro do Módulo.

TOE - *Habilita a interrupção* (*Timer Overflow Enable*).

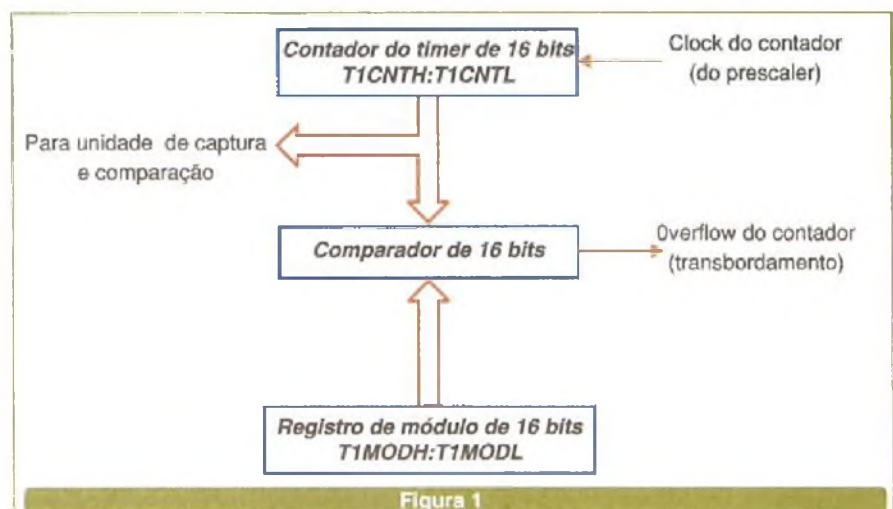
1 = Habilita as interrupções quando o *flag* TOF vai a 1 lógico.

0 = Desabilita as interrupções quando o *flag* TOF vai 1 lógico.

TSTOP - *Para o Timer* (*Timer Stop*)

1 = O contador do *timer* (T1CNTH:T1CNTL) está parado.

0 = O contador do *timer* (T1CNTH:T1CNTL) está contando.



TRST – Resseta o timer (*Timer Reset*)

- 1 = O contador pré-escalar e o contador do *timer* são zerados.
- 0 = Não tem efeito.

PS2-PS1-PS0 - Bits de seleção do contador pré-escalar.

Estes bits dividem a frequência de *clock* do barramento interno para formar a entrada do Contador do *timer* como segue:

PS2-PS1-PS0

- 000 = Divide por 1.
- 001 = Divide por 2.
- 010 = Divide por 4.
- 011 = Divide por 8.
- 100 = Divide por 16.
- 101 = Divide por 32.
- 110 = Divide por 64.
- 111 = Não disponível.

Para a finalidade do circuito mostrado neste artigo, o Contador Pré-escalar foi colocado para dividir por 1 ou *clock* do barramento interno, ou seja PS2 = 0, PS1 = 0 e PS0 = 0.

O módulo temporizador TIM1 oferece outras características úteis para o desenvolvimento de circuitos temporizadores. A **figura 2** exibe um diagrama de blocos do módulo temporizador TIM.

As outras funções que podem ser implementadas sobre este *timer* são:

- Entrada com captura
- Saída com comparação.

Com estes recursos é possível criar circuitos para medir a largura do pulso entregue a um determinado pino de entrada ou gerar modulação de largura de pulso (PWM) em uma saída.

O CIRCUITO

Para a criação da base de tempo mostrada no código do programa, foram usados somente o contador do *timer* (T1CNTH:T1CNTL), o Registro do Módulo do *Timer* (T1MODH:T1MODL) e o registro de estado e controle TISC.

Dessa forma, primeiro se carrega \$70 no registro de estado e controle TISC.

Isto detém e *resseta* o *timer* 1, configura o contador *preescalar* para dividir por 1 o *clock* do barramento interno e habilita as interrupções por transbordamento (*overflow*) no *timer* 1. Logo, é carregado o registro de Módulo com \$04E2 hex (1250 em decimal). Finalmente, carrega-se o registro de estado e controle TISC com \$50. Isso faz com que o *timer* 1 comece a funcionar, mantendo as demais configurações.

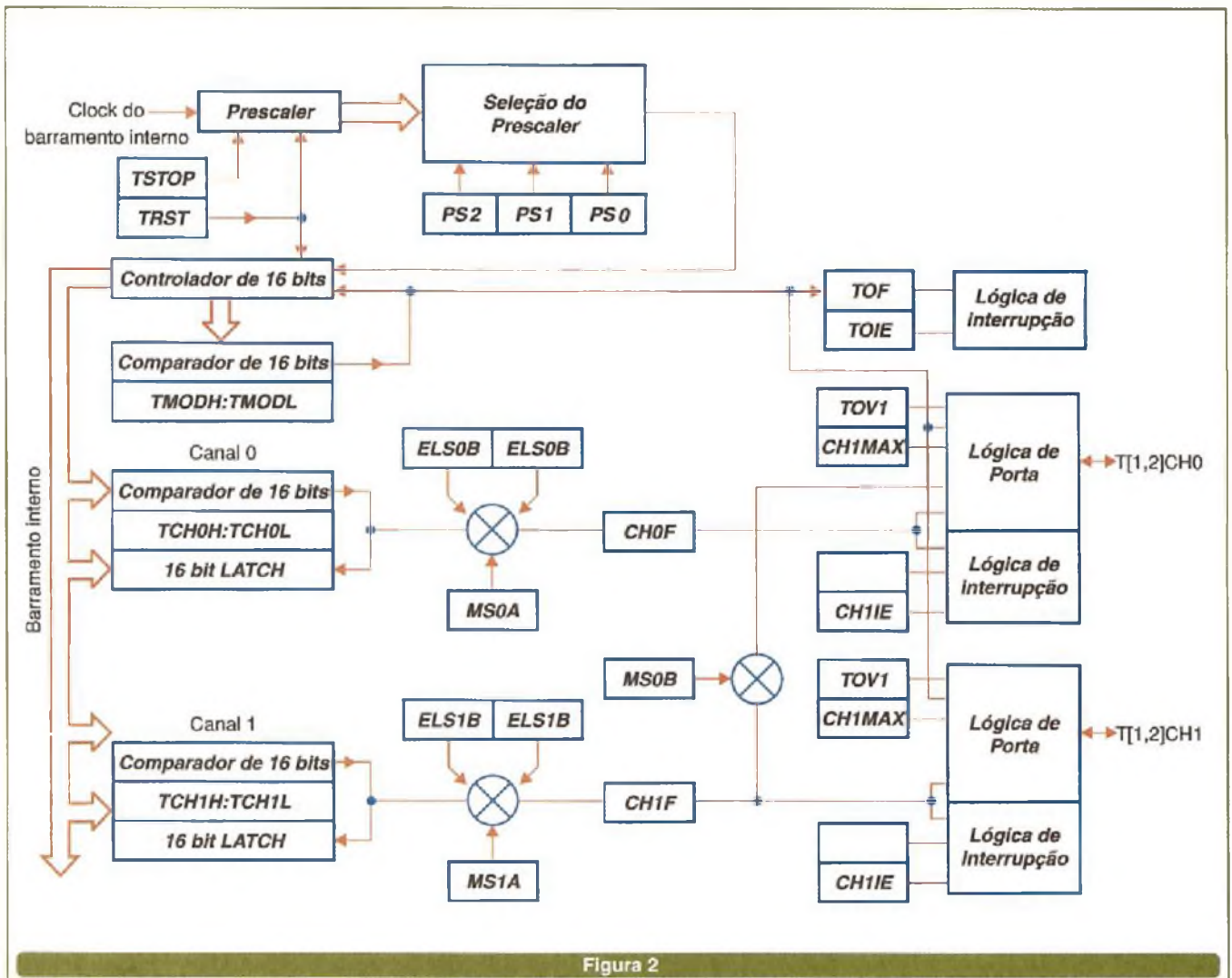


Figura 2

As configurações anteriores do módulo do *Timer 1*, TIM 1 o preparam para igualar o Registro do Módulo T1MODH:T1MODL a cada 500 microssegundos (0,5 milissegundos). Isso significa que o TIM1 interrompe a CPU 2000 vezes por segundo. Note no diagrama eletrônico da **figura 3**, o uso de um cristal de 10 MHz.

Aproveitando as interrupções do TIM1, são gerados osciladores nos pinos de saída do microcontrolador. Assim, temos em LED1 = 1000 Hz, LED2 = 200 Hz, LED3 = 8 Hz e LED4 = 1 Hz.

No programa mostrado foram criadas essas frequências, mas alterando os valores das localizações de memória RAM usadas como contador, poderão ser obtidas outras frequências.

Observe que a frequência máxima de interrupção gerada por essa base de tempos é 2 kHz. Se frequências maiores forem necessárias, deverá ser empregada uma resolução de interrupções mais alta.

É importante lembrar que a frequência de *clock* externo é dividida por 4 nos microcontroladores da família HC08. Por exemplo, para o caso deste circuito, que usa um cristal de 10 MHz, a frequência do barramento interno seria de 2,5 MHz.

Esta frequência é dividida pelo valor carregado no registro de módulo T1MODH:T1MODL que, para o caso deste programa, é \$04E2 (1250 decimal), resultando em uma frequência de 2 000 Hz que é a unidade da base de tempos.

O PROGRAMA

O programa começa configurando o pino PTC1 e a porta PTB como saída. Depois, é configurado o *timer 1* para gerar interrupções periódicas a cada 500 microssegundos (0,5 milissegundos), habilitar as interrupções e inicializar a localizações de memória RAM utilizadas como temporizadores. Finalmente, o programa entra no bloco principal, no qual a única instrução executada visa apenas ressetar o *watchdog*.

A parte principal do programa para a base de tempo é a rotina de serviço de interrupção do *timer 1*, que é chamada a cada 0,5 milissegundos, ou seja, tem uma frequência de 2000 Hz.

Uma análise detalhada do código executado nessa rotina de serviço de interrupção do *timer 1*, explicará como são geradas as frequências nas saídas. A primeira instrução, PSHH, salva o registro H na pilha.

É importante notar que quando o microcontrolador atende a uma rotina de interrupção, ele salva os registros da CPU na pilha. Estes registros são: o contador de programa, o registro X, o acumulador e o registro de condição de código. O registro H não é salvo na pilha, quando o microcontrolador atende uma rotina de interrupção e é preciso utilizar a instrução PSHH.

A razão pela qual não se salva o registro H automaticamente na pilha é a necessidade de manter a compatibilidade com o código escrito para a família de microcontroladores M6808 da Motorola.

As três instruções seguintes limpam o *bit* de desdobramento TOF (*Timer Overflow Flag*) e o escrevem no registro de dados e controle do *Timer 1* (T1SC).

Na inicialização do programa, o *Timer 1* é configurado e colocado em funcionamento, começando a contagem a partir de \$0000.

Quando o contador do *Timer 1* (T1CNTH:T1CNTL) alcança o conteúdo dos registros do módulo (T1MODH:T1MODL), o comparador coloca em 1 lógico o *bit* de *overflow* (TOF) no registro de estado e controle do *Timer 1* (T1SC). Assim, a rotina de interrupção deverá limpar o *bit* TOF, lendo o registro de estado e controle T1SC e gravando um 0 lógico para o *bit* TOF.

As três instruções seguintes executam um "toggle" sobre o LED1. Como as interrupções do *Timer 1* são executadas a cada 0,5 milissegundos (2 000 Hz) e são necessários dois "toggles" para formar um ciclo completo, a frequência de oscilação do LED1 será de 1 000 Hz. Depois, a rotina de interrupção decrementará o contador cntLED2 e testará se não é zero. Caso não seja, saltará. Se for zero, executará um "toggle" sobre o LED2.

Como este contador foi carregado com 5 na inicialização do programa, ele chegará a zero quando transcorrerem 5 interrupções, ou seja, quando decorrerem 2,5 milissegundos.

Sendo necessários 2 "toggles" para formar um ciclo, o período de oscilação do LED2 será de 5 milissegundos, equivalente a uma frequência de 200 Hz. Ao sair deste bloco de

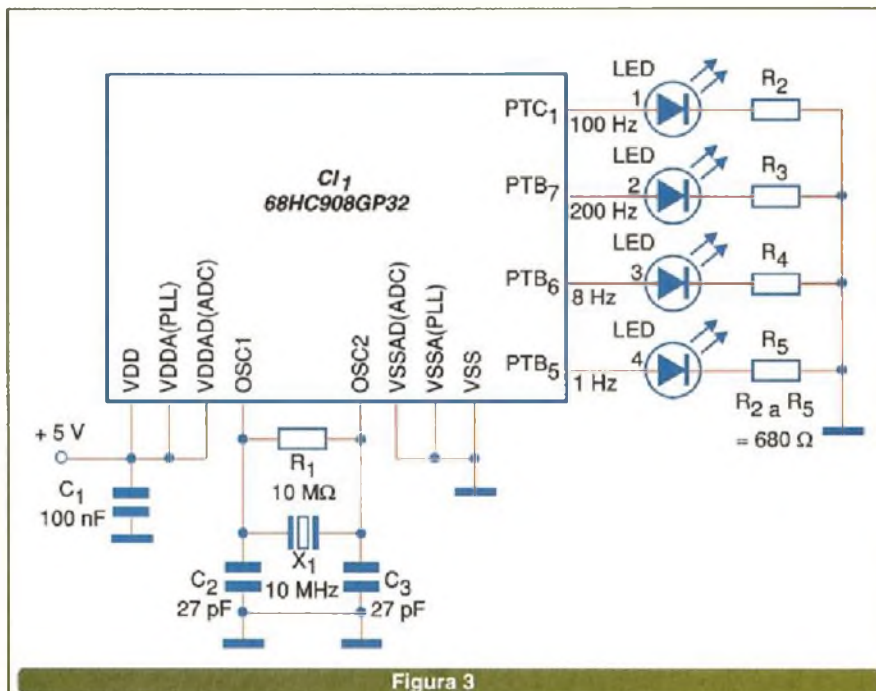


Figura 3

código, a rotina recarrega o contador cntLED2 com 5 para manter a frequência. Em seguida, a rotina de interrupção decrementará o contador cntLED3 e testará se não é zero. Se não for zero, salta. Se for zero, executará um "toggle" no LED3.

Como este contador foi carregado com 125 na inicialização do programa, ele chegará a zero quando transcorrerem 125 interrupções, ou seja, quando decorrerem 62,5 milissegundos.

Sendo precisos 2 "toggles" para formar um ciclo, o período de oscilação do LED3 seria de 125 milissegundos, equivalente a uma frequência de 8 Hz. Ao sair deste bloco de código, a rotina recarregará o contador cntLED3 com 125 para manter a frequência. O contador cntLED4 é usado para gerar uma frequência de 1 Hz.

Observe que o contador cntLED4 foi declarado no início do programa para usar duas locações de memória RAM, ou seja, 16 bits.

Uma vantagem do microcontrolador 68HC908GP32 é poder realizar instruções de 16 bits (\$0000 até \$FFFF em hexadecimal e 0 até 65 535 em decimal) no registro HX.

Ao entrar nesta parte do código, o registro HX é carregado com o valor armazenado no contador cntLED4, formado pelas locações de memória RAM (16 bits). A instrução LDHX executa o passo anterior. Assim, a instrução AIX #1 decrementa o conteúdo do registro HX. Esta instrução adiciona um valor imediato com sinal ao registro HX. Como o valor colocado na instrução é negativo (#1), o conteúdo do registro HX é decrementado em 1.

A próxima instrução STHX armazena o conteúdo do registro HX na locação de memória cntLED4. Aqui, o movimento do dado também é de 16 bits.

A instrução seguinte, CPHX #0, compara o conteúdo do registro HX com o valor imediatamente contido na instrução, ou seja, zero. A instrução BNE testa, então, se o resultado da instrução anterior não é zero. Se não for zero, salta. Se for zero, o código executará um "toggle" no LED4.

Como este contador foi carregado com 1000 na inicialização do programa, ele chegará a zero após transcorrerem 1000 interrupções, ou seja, quando passarem 500 milissegundos.

Sendo precisos 2 "toggles" para formar um ciclo, o período de oscilação do LED4 será de 1 000 milissegundos (1 segundo), equivalente a uma frequência de 1 Hz. Ao sair deste bloco de código, a rotina recarregará o contador cntLED4 com 1000 para manter a frequência. No final da rotina de serviço de interrupção do timer 1, é restaurado o registro H.

A instrução PULH tira da pilha o valor que tinha o registro H quando da entrada na rotina de interrupção. A instrução RTI retorna da interrupção.

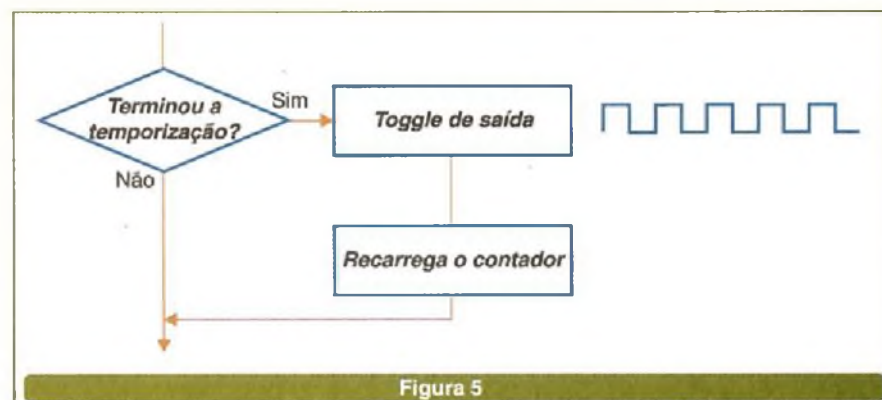
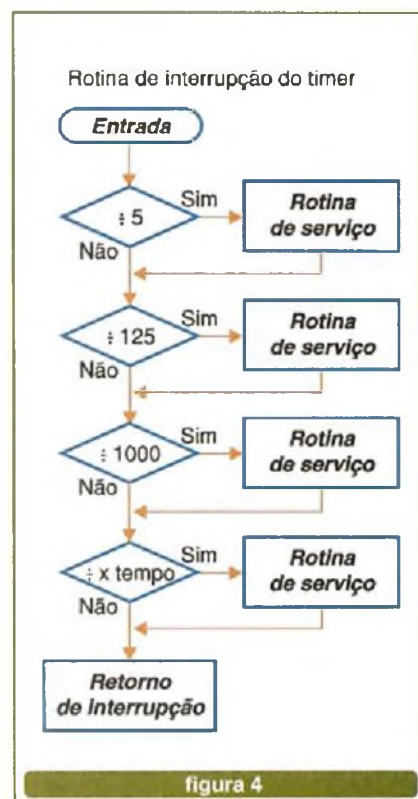
Esta instrução carrega os registros da CPU com os valores que possuíam quando entrou na interrupção e o programa poderá continuar do ponto onde foi interrompido.

Note que o bloco principal não executa nenhuma instrução para gerar as oscilações na base de tempo.

A figura 4 ilustra o fluxograma para uma base de tempo, enquanto a figura 5 mostra o fluxograma para

um oscilador astável, similares aos executados no código do programa.

Código-fonte disponível no site www.sabereletronica.com.br na seção downloads.



LISTA DE MATERIAL

- SEMICONDUCTORES:**
 C₁ - microcontrolador 68HC908GP32.
 D₁ a D₄ - LEDs de 3 mm.
- RESISTORES:**
 R₁ - 10 MΩ - ¼ W.
 R₂ a R₅ - 680 Ω - ¼ W.

- CAPACITORES:**
 C₁ e C₂ - 27 pF cerâmico.
 C₃ - 100 nF cerâmico.
- DIVERSOS**
 X₁ - Cristal de 10 MHz.

UTILIZANDO MOTORES DE ALTO RENDIMENTO NA INDÚSTRIA



Saiba como as melhorias no projeto construtivo do motor podem significar grande economia de energia.

Augusto Ottoboni Motor elétricos

Estudos feitos pela ANEEL - Agência Nacional de Energia Elétrica - indicam que o acionamento de máquinas e sistemas mecânicos por motores elétricos é responsável por cerca de 70% a 80% da energia elétrica consumida pelas indústrias e que aproximadamente 15% de toda essa energia transforma-se em perdas.

“Melhorias em termos de rendimento (projeto construtivo do motor elétrico) significam grande economia de consumo energia”.

Esse é o tipo de frase que nós estamos acostumados a ouvir no mercado, nestes tempos de crise energética. Mas, será que apenas a utilização de motores com níveis de rendimento melhorados solucionará todos os problemas de consumo de energia elétrica do país?

Mostraremos que essa afirmação não é totalmente verdadeira e que existem outros aspectos, em muitos casos mais relevantes do que o rendimento do próprio motor, que devem ser levados em consideração na elaboração de todo projeto elétrico/mecânico do sistema ou da máquina. A observação desses fatores com certeza acarretará em grande economia de energia e maior eficiência do conjunto.

O rendimento de uma máquina é obtido pelo produto do rendimento de todos os componentes do sistema: motores, redutores, transmissões externas (sistemas de polia/correia, fusos, etc.), ou seja, todas as partes a serem acionadas.

Será, então, que o investimento num motor que possui por volta de 2 pontos percentuais a mais em seu rendimento, trará grandes resultados em redução de consumo de energia?

Veja a **tabela 1**, comparativa de rendimentos entre os motores de 4 pólos das linhas Padrão e Alto Rendimento:

Cv / kW	Padrão		Alto rendimento
	pólos	4	4
1,0/0,75		78,0	80,5
1,5/1,1		79,0	81,5
2,0/1,5		81,5	84,0
3,0/2,2		83,0	85,0
4,0/3,0		83,0	86,0
5,0/3,7		85,0	87,5
6,0/4,5		85,5	88,5
7,5/5,5		87,0	89,5
10/7,5		87,5	89,5
12,5/9,2		87,5	90,0
15/11		88,5	91,0
20/15		89,5	91,0
25/18,5		90,5	92,4
30/22		91,0	92,4
40/30		91,7	93,0

Tabela 1- Mostra as diferenças entre os rendimentos das linhas Padrão e Alto Rendimento

Outro ponto extremamente interessante é o fato de que a maioria dos motores da linha Padrão possuem rendimento nominal dentro da faixa de tolerância mínima dos motores da linha de Alto Rendimento.

As tolerâncias previstas na norma NBR7094 são limitadas somente em um sentido (negativo), ou seja, os valores descritos na tabela acima admitem valores de rendimento menores conforme as seguintes fórmulas:

Rendimento η	Tolerância
$\eta \geq 0,851$	-0,20 (1- η)
$\eta < 0,851$	-0,15 (1- η)

Os esforços no sentido de aumentar o rendimento do motor elétrico em 1% ou 2% são inúteis quando um sistema é mal projetado, por exemplo:

- Motor de alto rendimento superdimensionado (devido à curva característica de rendimento do motor);
- Utilização de transmissões externas como fusos, polia/correia, entre outros;
- Acionamento de bombas / ventiladores em sistemas com variação de vazão por obstrução do fluxo (válvulas e palhetas ajustáveis).

CARGAS VARIÁVEIS

Um ponto simplesmente desprezado é o fato de que as aplicações de motores, em geral, são executadas com cargas variáveis que não atendem as condições específicas para se adotar um cálculo básico de retorno de investimento.

Mas, por quê então se divulga tal informação com tanta veemência?

Há muito interesse em se divulgar apenas o que é interessante para determinadas empresas, e não esclarecer ao público o que realmente acontece.

Nas situações onde existem cargas variáveis, como indicado nas **figuras 1 e 2**, deve-se dimensionar a potência necessária pelo valor médio quadrático, caso contrário, o motor pode não atender às solicitações da carga em determinadas situações. Portanto, nos casos onde ocorre que a carga acionada é muito inferior à carga nominal do motor, o rendimento do conjunto nessa situação é muito pequeno.

Devido ao conhecimento desse fato, em várias situações os motores são superdimensionados graças ao alto fator de segurança empregado e, com isso, os esforços no sentido de se aumentar o rendimento do motor elétrico em 1% ou 2% são inúteis.

$$P_{eq} = \frac{\sqrt{P_1^2 \times T_1 + P_2^2 \times T_2 + \dots + P_n^2 \times T_n}}{T_1 + T_2 + \dots + T_n + 1/3 \Sigma T_r}$$

P_1 = Potência consumida no período de Tempo T_1

T_r = Período de repouso, tempo que o motor fica desligado num ciclo.

CRITÉRIOS PARA CÁLCULO DO RETORNO DE INVESTIMENTO

Muito se divulga sobre os retornos de investimento na utilização (substituição) de motores da linha padrão pela linha de alto rendimento, mas o que não é divulgado é que para que esse retorno de investimento ocorra, há a necessidade de que:

1. O motor esteja funcionando à plena carga, ou seja, fornecendo 100% de sua potência nominal (potência consumida pela carga = potência nominal do motor).

2. O motor esteja funcionando em regime contínuo, liga e permanece ligado durante todo o período.

Porém, quantas das aplicações que conhecemos trabalham obedecendo estas condições? As cargas são variáveis em sua grande maioria, há a necessidade de partidas e paradas, situações de sobrecarga, entre outras situações.

Redução controlada da potência dos motores

Alguns tipos de cargas (equipamentos acionados) não necessitam da potência integral do motor durante todo seu período de funcionamento. Como exemplo podemos citar bombas e ventiladores, que requerem controle de vazão. Esse controle pode ser efetuado mecanicamente (registros) ou por intermédio do controle de velocidade dos acionamentos.

O controle da velocidade pode ser conseguido utilizando-se motores de anéis, que não são muito vantajosos para essa finalidade devido a apresentarem elevadas perdas rotóricas, a exemplo, alto escorregamento e baixa performance em conjunto.

Outro método, cada vez mais utilizado, é o controle através de conversores de frequência.

O conversor de frequência tem a propriedade de variar tensão e frequência proporcionalmente, mantendo constante a relação entre eles:

$$k = \frac{V}{f}, \text{ a partir da equação: } V_{ind} = 4,44 \times k \times \phi \times f, \text{ onde:}$$

$k = cte$

$\phi = \text{fluxo}$

$f = \text{frequência}$

O fluxo magnético do motor é função desta relação. Assim, se a relação é constante, o fluxo magnético também o será.

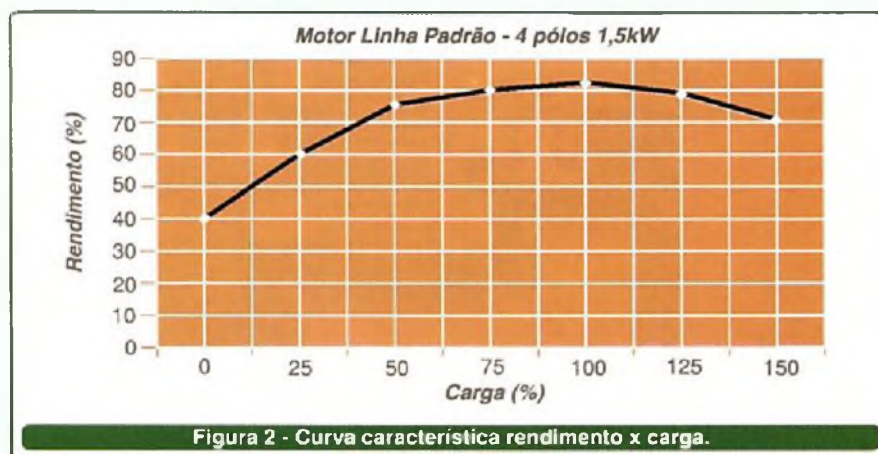
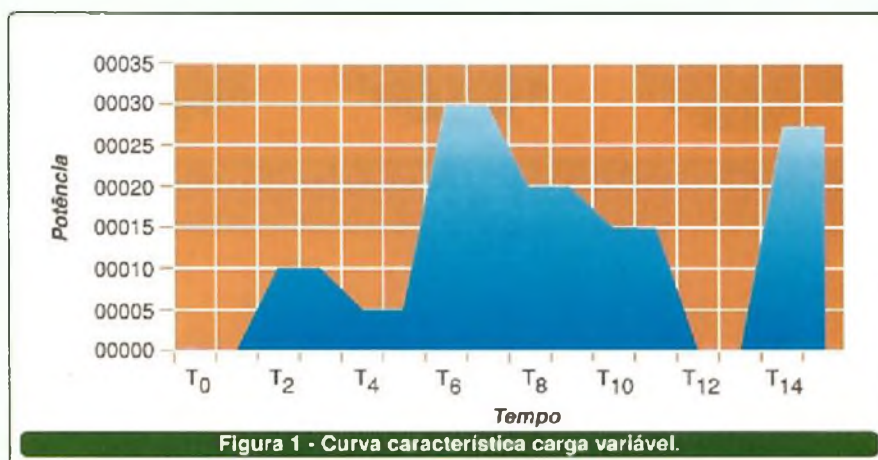
Como o torque (conjugado) do motor é proporcional ao fluxo magnético, este se mantém constante durante a operação, conforme a equação: $C_N \approx \phi \times \bar{I}_2$

, onde:

$C_N = \text{Conjugado, [Torque]}$

$\phi = \text{fluxo}$

$\bar{I}_2 = \text{corrente do rotor referida ao estator}$



Uma vez alterada a frequência de alimentação do motor, varia-se a velocidade onde: $n = \frac{120 \times f}{p}$, para:

- $n = \text{rotação síncrona [rpm]}$
- $f = \text{frequência [Hz]}$
- $p = \text{número de pólos}$

Como a potência é definida por uma relação entre Torque e rotação $P = C \times n$, ao alterarmos a rotação do motor, mantendo-se o torque (conjugado) constante, estaremos alterando a potência fornecida, adequando-a à real necessidade da carga.

O Torque permanecerá constante até 60 Hz. Após essa frequência, a tensão é fixada na nominal do motor, aumentando-se apenas a frequência. Dessa forma, a relação deixa de ser constante e há queda de torque à medida que se aumenta a frequência (rotação). Nessa faixa de operação diz-se que ocorre "enfraquecimento de campo", devendo ser avaliada criteriosamente a curva de torque da carga. Veja a figura 3.

Redutores de velocidade, Transmissões e Acoplamentos

É outro grande fator de desperdício, geralmente desconsiderado. Observe as figuras 4 e 5.

Os acoplamentos também possuem perdas (rendimentos).

Quanto menor o rendimento dos acoplamentos, mais potência perde-se neles, ou seja, menos potência é transferida do motor à máquina acionada. Desalinhamento entre as partes envolvidas, deslocamentos indesejados, entre outros, são motivos de perda de eficiência nos acoplamentos também.

O motor acoplado diretamente ao redutor de velocidades (moto-redutor) - figura 6 - apresenta rendimento de 100%, pois nesse tipo de ligação o motor elétrico possui flange e eixo especialmente confeccionados para o acoplamento direto ao redutor.

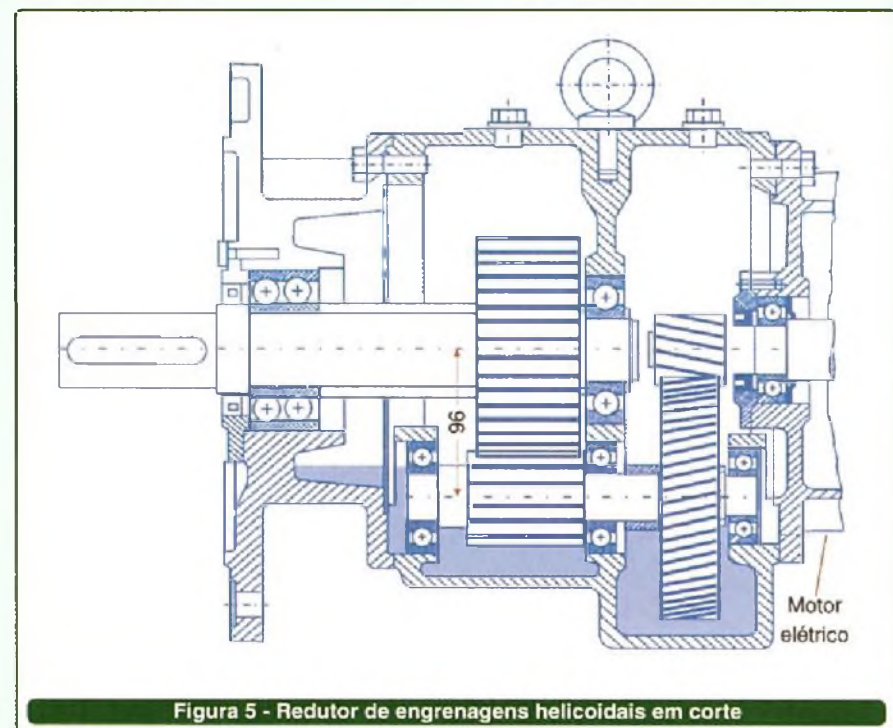
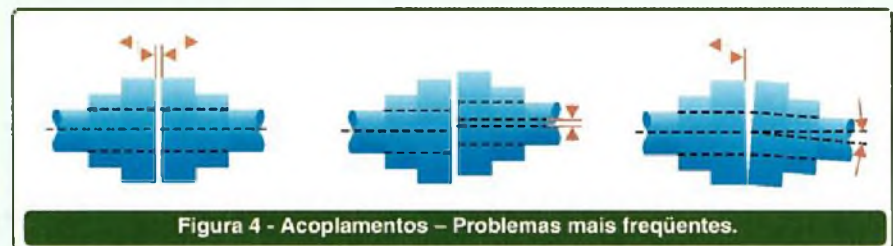
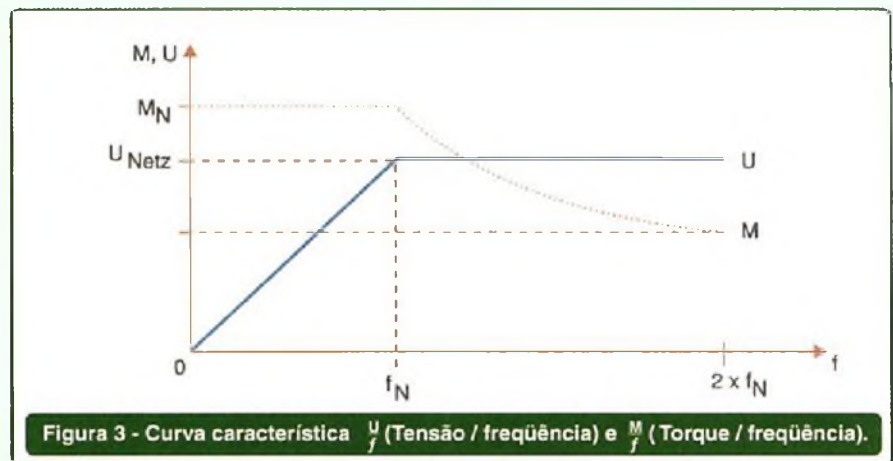
Nesse modelo, o eixo do motor participa do primeiro par de engrenagens da redução total do redutor, dispensando a necessidade de adaptadores entre o motor e o redutor,

minimizando o número de componentes envolvidos.

Já transmissões efetuadas por polias e correias apresentam rendimento na faixa de 80% (por exemplo) quando novas, chegando a valores por volta de 60%, após seu tempo de vida útil.

A maior incidência é, então, em transmissões por polias e correias.

Para maximizar o rendimento dos equipamentos, o ideal é a utilização de acionamentos com a menor quantidade de transmissões e acoplamentos possíveis. As situações onde os motores são acoplados diretamente aos redutores,



sem acoplamentos intermediários, e ligados diretamente à carga, além de otimizar a eficiência do acionamento por completo, evitam a necessidade de alinhamento entre as transmissões e reduzem os investimentos em dispositivos e componentes externos.

Mas é preciso lembrar que atitudes inteligentes, como a correta especificação e dimensionamento dos motores elétricos, a redução do número de transmissões intermediárias, e a correta manutenção dos equipamentos e motores, podem

levar a benefícios de economia de energia elétrica sem grandes investimentos adicionais, bem maiores que os simples 2% a mais obtidos com a substituição direta de um motor da linha Padrão por um da linha de Alto Rendimento.

CONCLUSÃO

Entendemos que incentivos à melhoria tecnológica de produtos e equipamentos é fundamental para o crescimento do país em termos de competitividade e inovação. Porém, é preciso tomar outras atitudes que levem também ao conhecimento e aprendizado, pois só assim é que poderemos gerar um crescimento sustentável de nossa economia.

Conhecer as verdadeiras razões de se utilizar motores de alto rendimento é fundamental.



Figura 6 - Motor acoplado diretamente ao redutor.

semicondutores
CORONA BRASIL

SEMICONDUCTORES DE POTÊNCIA

MEDIATE

Corona Brasil Ind. Com. e Representações Ltda
PABX: (19) 3834 3257 - Fax: (19) 3834 3282
Site: www.coronabrasil.com.br
E-mail: semicondutores@coronabrasil.com.br

DISTRIBUIDOR AUTORIZADO
ENTRADA SOBRE DE GARANTIA
WESTCODE
CORONA BRASIL

Exija simplesmente o melhor: Faça Cursos de PIC na Mosaico

No **Módulo 1** você vai aprender a programação assembly do PIC 16F628

2x **R\$149,50**
com livro

Super Promoção
2x **R\$199,50**
com livro

No **Módulo 2** você irá ter acesso aos diversos recursos do PIC 16F877, além de muitos outros periféricos...

E com a **Linguagem C** você poderá ainda aumentar o seu desempenho e conhecimento

NOVO..!

Obs. Temos também: Livros, Gravadores e Placas Didáticas!

Vendas on-line: www.mosaico-eng.com.br

(11) 4992-8775

Grupo Mosaico
Consultor Oficial Microchip

* Promoção por tempo indeterminado ** Previsão de lançamento para Junho

TV DIGITAL

Padrões, sistemas e técnicas de recepção

Desde o momento em que a discussão sobre o padrão a ser adotado no Brasil para a TV digital começou, já se passaram muitos meses. A idéia de se adotar um padrão nacional não foi bem aceita, principalmente pelos fabricantes, e com isso nada de definitivo existe nesse sentido. No entanto, podemos, preliminarmente, dar uma idéia ao leitor das vantagens que esta modalidade de transmissão digital traz, além de fazer algumas comparações entre os diversos padrões que hoje são adotados em diversas partes do mundo.

Newton C. Braga



A HDTV ou *High Definition Television* não é uma invenção recente. A idéia de uma nova modalidade de TV tem sido analisada desde 1970.

A partir de 1981, a proposta de um sistema de TV com formato diferente e maior definição de imagem tem sido analisada, em resposta à necessidade natural de se obter melhor qualidade para algo que permaneceu inalterado desde que esta mídia foi criada.

O sistema de HDTV originalmente era analógico, mas com o tempo, a evolução das tecnologias de modulação digital mostrou que seria mais vantajoso adotá-las, daí também usarmos o termo TV Digital para especificá-las.

As técnicas de modulação digital passaram por uma evolução muito grande nos últimos anos, possibilitando não apenas um maior aproveitamento do espectro, mas também a velocidade de transmissão de dados exigida para a transmissão de imagens em tempo real.

A chave que viabilizou a utilização das técnicas de modulação digital foi o aparecimento do padrão de compressão de vídeo MPEG-2, em 1994.

Com essa técnica era possível uma redução da faixa passante exigida para a transmissão de sinais de vídeo para 2% do valor original, tornando assim possível a transmissão de imagem em tempo real nos canais

então disponíveis. Assim, os 216 Mbits/s necessários à transmissão de uma imagem de TV comum eram reduzidos para apenas 4 Mbits/s.

Essa modalidade de transmissão tem uma série de vantagens em relação à TV analógica comum, as quais passaremos a analisar em seguida.

Na **figura 1** temos um diagrama em que a cronologia do desenvolvimento da TV digital é detalhada.

Neste ponto, devemos distinguir, a TV Digital Terrestre (DTT) das outras modalidades como, por exemplo, da TV Digital por Satélite. A TV Digital Terrestre usa os sinais de rádio convencionais das faixas de TV já existentes, havendo atualmente 3 padrões internacionais que discutiremos mais adiante neste mesmo artigo.

AS VANTAGENS DA TV DIGITAL

Com a utilização das técnicas de modulação digital, podem ser

enviadas muito mais informações pelo mesmo canal, o que permite o acréscimo de alguns recursos não disponíveis na transmissão dos mesmos sinais na forma analógica. Dentre estas vantagens temos:

a) Alta Definição

A qualidade de uma imagem de TV depende do número de linhas que podem ser de resolução. Assim, o termo principal que especifica essa qualidade é o número de linhas horizontais que, na TV convencional, é de 480 no modo entrelaçado.

O leitor não deve confundir o número de linhas de resolução com o número de linhas transmitidas, que no nosso padrão é 525. O número de linhas "resolvidas" é o número efetivo de linhas que aparecem na imagem de um televisor e que tem o valor máximo indicado de 480.

Na TV de alta definição temos duas opções de resolução dadas pelas taxas de transmissão. Um primeiro formato tem 720 linhas no

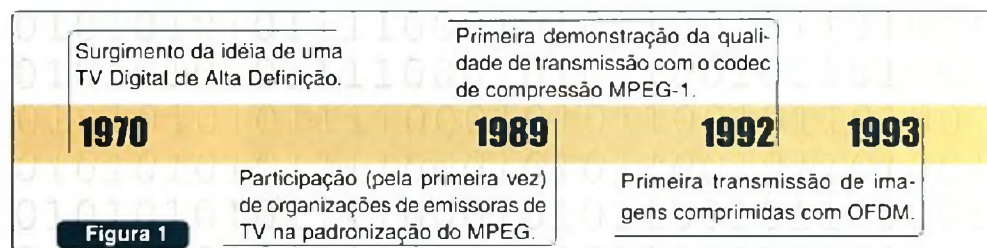


Figura 1

modo progressivo e o outro tem 1080 linhas entrelaçadas. A qualidade da imagem também depende de quantos pontos de imagem podemos ter em cada linha.

Desse modo, em última análise, uma imagem de TV pode ser "resolvida" em pontos de imagem ou *pixels* (*picture elements*). Quanto maior for o número de *pixels* que tiver uma imagem, maior será sua qualidade, ou seja, sua resolução. Nos televisores analógicos comuns as imagens têm pouco mais de 200.000 *pixels* de resolução.

Já nos televisores de alta definição, essa resolução cresce para mais de 2.000.000 de *pixels*.

Lembramos que, na varredura entrelaçada, cada campo é formado por metade das linhas transmitidas de um quadro. Quando esses campos são combinados, as linhas são entrelaçadas formando um quadro, como ilustra a **figura 2**.

Além de um número maior de linhas, na TV digital o formato da imagem é outro. Na TV analógica

convencional, o formato da imagem é 3:4 ou seja, a relação entre a altura e a largura da imagem é de 3 por 4. Na TV Digital temos o formato usado nas telas de cinema, denominado *Widescreen*, em que a proporção entre a largura e altura da imagem é de 16:9, observe a **figura 3**.

Segundo se afirma, com esse formato, temos uma melhor utilização da visão periférica, o que traz mais realismo às cenas. Neste ponto, é importante ressaltar que, embora a qualidade de áudio (que discutiremos posteriormente) seja a de CD, a qualidade de vídeo não pode ser comparada à do DVD.

Os DVDs possuem limitações quanto a quantidade de pontos de imagens que podem ser armazenadas. Conseqüentemente, um filme em DVD não tem a mesma qualidade de imagem de um filme em 35 mm. Os DVDs podem armazenar no máximo 4,7 GB de informação, e para se obter uma imagem com qualidade de cinema seriam necessários pelo menos 2 TB.

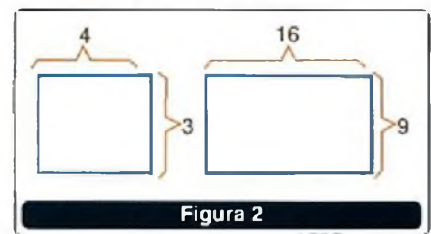


Figura 2

b) Canais Multiplexados

A transmissão digital se caracteriza pela ocupação racional do canal, com a possibilidade da multiplexação. Um canal de TV analógica comum ocupa sempre 6 MHz de largura de faixa, quer seja a imagem transmitida uma cena complexa de um filme de ação, quer seja uma tela totalmente negra.

Com a modulação digital, a ocupação da faixa é dependente da quantidade de informações que contém a imagem e ocupa um espaço muito menor do que o exigido pela mesma imagem na forma analógica. Isso significa que, no espectro alocado para um canal, podemos enviar mais de um sinal de vídeo, além de outras informações paralelas.

Mais ainda, os canais de vídeo podem ter sua resolução programada de acordo com sua importância. Existe, então, a viabilidade de se ter até quatro programas disponíveis no mesmo canal, ou ainda de se selecionar a visão a partir de quatro câmeras diferentes para o mesmo programa.

Na **figura 4** mostramos como um mesmo canal pode ser compartilhado por até 4 sinais de vídeo simultâneos.

c) Som Digital

Os sinais de áudio não terão somente a qualidade digital mas inclusive poderão usar o padrão *Dolby Digital*. Transmissão de som digital representa não apenas imunidade aos ruídos, como também a qualidade do CD. Assim como no caso do DVD, será possível ter mais de um canal de áudio para o mesmo programa.

d) TV Interativa

Com a TV Digital será possível

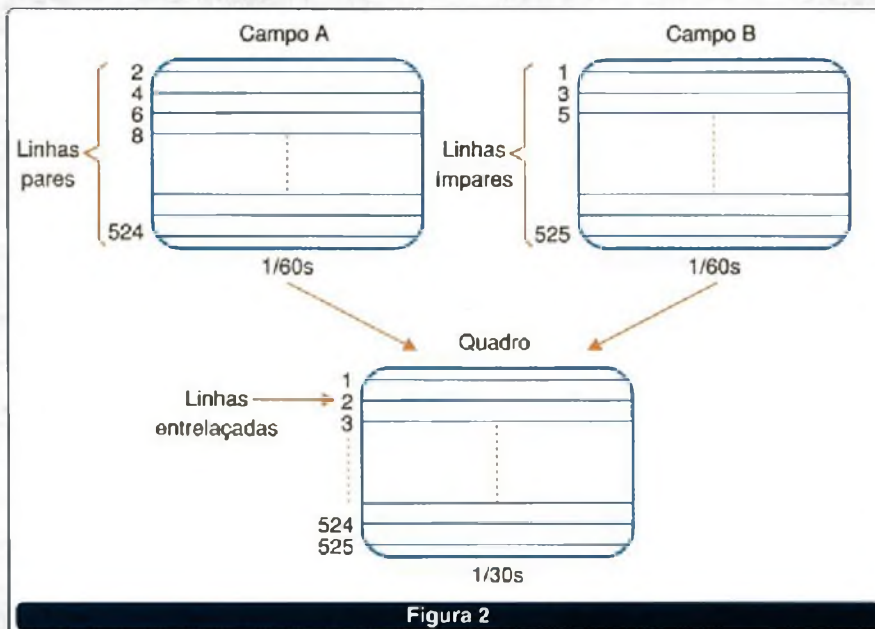


Figura 2

Primeiro sistema de compressão MPEG-2 disponível comercialmente.

1994

1995

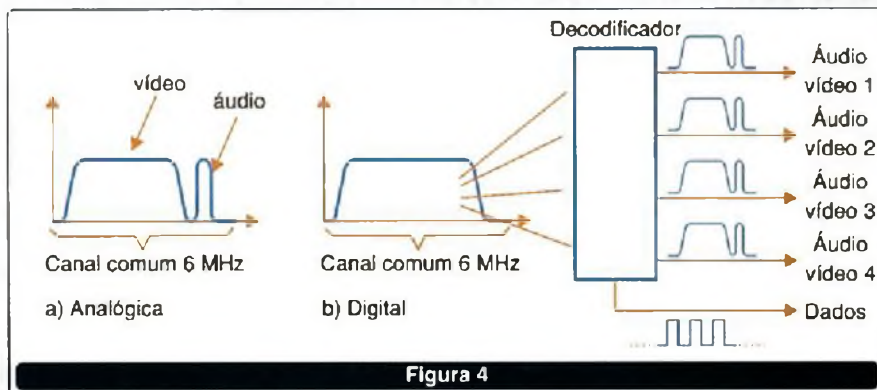
Primeira demonstração de transmissão multicanal usando MPEG-2.

Lançamento do padrão DVB.

1996

1998

Primeira rede comercial de TV digital entra em funcionamento.



interagir com os programas transmitidos. Isso será feito através da Internet ou de um telefone comum, usando o controle remoto como teclado.

e) Transmissão de Dados (Datacasting)

Como explicamos, o melhor aproveitamento da banda do canal permite a transmissão de dados além da própria programação. Isso abre um canal adicional de acesso a diversos tipos de informações e serviços tais como acesso à Internet, às compras virtuais e até mesmo ao banco.

f) Recepção sem Fantasmas

Um dos maiores problemas da TV analógica convencional é o que acontece pelos sinais refletidos, quer seja em obstáculos externos se sua propagação for pelo espaço, quer

seja pela reflexão em cabos e outros elementos do circuito. Trata-se do conhecido fantasma, causador de imagens duplas e múltiplas que tanto afetam a qualidade da recepção, conforme podemos ver na figura 5.

Com a TV digital existem algoritmos que testam a integridade dos pacotes dos sinais, embora alguns dos padrões sejam mais eficientes do que outros para fazer isso. Será inviável a reprodução de uma imagem com a qualidade degradada por reflexões e outros problemas de transmissão.

Em especial, o processo de modulação OFDM (*Orthogonal Frequency Division Multiplexing*) oferece um grau elevado de proteção não somente contra interferências, mas inclusive contra sinais refletidos ou "ecos" que no sistema convencional de TV analógica são os responsáveis pelos fantasmas.

ANÁLISE DOS PADRÕES

Atualmente há dois padrões em operação e um em fase experimental. O algoritmo para a compressão dos sinais de vídeo de todos os três padrões é o MPEG-2, que também é utilizado para a codificação de vídeo nos DVDs.

Analisemos cada um deles:

a) ATSC

Este é o padrão americano, desenvolvido pelo ATSC ou *Advanced Television Systems Committee*. Além dos Estados Unidos, esse sistema foi adotado em diversos outros países como Canadá e Taiwan.

A taxa de transmissão do sinal de vídeo neste sistema é de 19,4 Mbps, com uma faixa ocupada de 6 MHz de modo a possibilitar a utilização dos canais atualmente alocados nas faixas de TV analógica.

b) DVB-T

Digital Video Broadcasting é o nome do grupo que estudou e adotou este sistema na Europa e também em alguns países da Oceania como a Austrália e a Nova Zelândia.

O sistema já funciona em diversos países fazendo uso de *set-top boxes* fornecidos pelas estações.

A modulação utilizada nesse sistema é a COFDM, com uma taxa de transmissão que está situada entre 4,98 a 31,67 Mbps. Esta taxa é variável segundo a complexidade da cena que está sendo transmitida, o que depende da codificação feita após a amostragem.

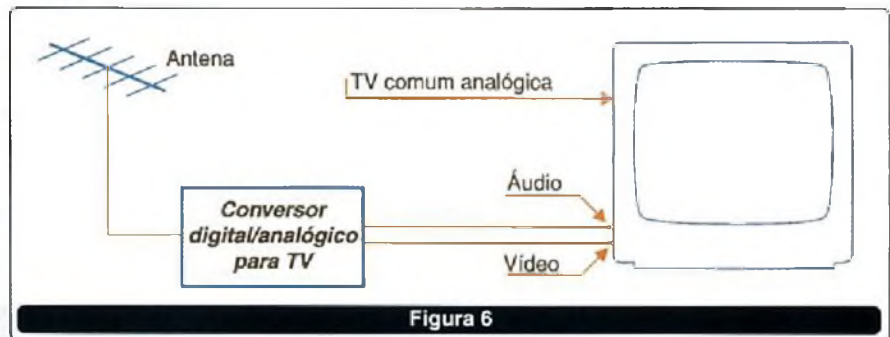
c) ISDB-T

Não obstante ainda não tenha entrado em operação, esse sistema desenvolvido no Japão apresenta algumas semelhanças de características técnicas com o sistema adotado na Europa. A codificação usada é a COFDM e a faixa ocupada pelos canais é de 6 MHz, eventualmente podendo ser ampliada para até 8 MHz. A taxa de transmissão varia de 3,65 a 23,23 Mbps.



d) Outros sistemas

A China está tentando desenvolver a sua própria TV digital, havendo cinco padrões atualmente em estudos, todos desenvolvidos por entidades diferentes. Cada um emprega um sistema diferente de modulação como a TDS-OFDM (*Time Domain Synchronous-Orthogonal Frequency Division Multiplex*) e a 64QAM.



COMO FICAM OS MILHÕES DE TELEVISORES ANALÓGICOS EM FUNCIONAMENTO?

De forma semelhante aos discos de vinil que "morreram" com o advento das fitas cassetes, as quais estão passando agora por um processo de desaparecimento com a difusão do CD, a TV também passa por um processo semelhante.

A tendência natural é que a TV analógica "morra", mas isso não será um processo rápido um processo rápido. Há dezenas de milhões de aparelhos de TV convencional que simplesmente não podem ser descartados de uma hora para outra. O processo lento de troca dos televisores analógicos comuns pelos digitais incluirá a utilização de conversores.

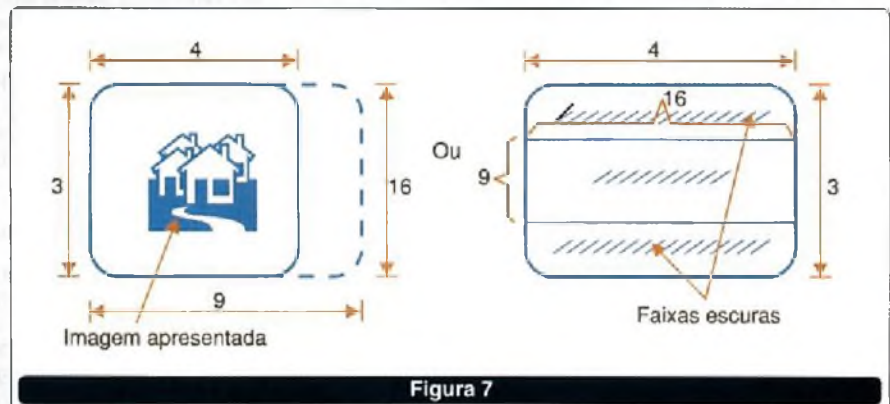
Estes conversores seriam pequenas "caixas" (Set-top Box), semelhantes aos antigos conversores de UHF usados quando esta modalidade de transmissão começou em algumas regiões e os televisores não eram capazes de sintonizar os seus canais, intercalados entre o televisor e a fonte de sinal, observe a figura 6.

É claro que a utilização de tais aparelhos não levaria a um televisor comum a qualidade de imagem digital, que depende do seu circuito, mas tão somente a possibilidade de se ver um programa originalmente gerado e transmitido na forma digital.

O próprio formato da tela seria "adaptado" pelos conversores, podendo haver cortes na cena ou mesmo uma ocupação parcial da tela, conforme sugere a figura 7.

Os televisores com as opções digitais ainda são caros, principalmente levando-se em conta que não se definiu até o momento o padrão a ser adotado no Brasil.

Muitos desses equipamentos, que já trabalham com sinais de DVDs no formato digital, possuem recursos que permitem o reconhecimento do tipo de sinal ou codificação, mas, mesmo assim, devemos considerar a possibilidade de nosso país adotar um padrão próprio que não seja previsto em tais aparelhos.



Soldas

Soft

Cohari®



Produtos para a indústria eletrônica

- ✓ Solda em vergas (63/37)
- ✓ Solda isenta de chumbo "lead free"
- ✓ Solda em fio com fluxo no clean
- ✓ Solda em fio com fluxo resinoso
- ✓ Solda em tubetes para pequenos reparos
- ✓ Salva chips
- ✓ Fluxo para máquina de solda
- ✓ Solda em pasta para SMD



Certificada ISO9002

Soft Metais Ltda.

DDG: 08001000.52- Bebedouro - SP
Home-page: www.softmetais.com.br
E-mail: vendas@softmetais.com.br

SHOPPING DA ELETRÔNICA

Mini caixa de redução

Para movimentar antenas internas, presépios, cortinas robôs e objetos leves em geral

RS 54,00



Matriz de contatos PRONT-O-LABOR

A ferramenta indispensável para protótipos.

PL-551M: 2 barramentos 550 pontos.....RS 38,40

PL-551: 2 barramentos, 2 bornes, 550 pontos.....RS 40,20

PL-552: 4 barramentos, 3 bornes, 1 100 pontos.....RS 72,60

PL-553: 6 barramentos, 3 bornes, 1 650 pontos.....RS 96,00

BLOQUEADORES INTELIGENTES DE TELEFONE

Através de uma senha, você programa diversas funções, como:

- BLOQUEIO/DESBLOQUEIO de 1 a 3 dígitos
- BLOQUEIO de chamadas a cobrar
- TEMPORIZA de 1 a 99 minutos as chamadas originadas
- E muito mais...

Características:

Operação sem chave
Programável pelo próprio telefone
Programação de fábrica: bloqueio dos prefixos 900, 135, DDD e DDI
Fácil de instalar
Dimensões: 43 x 63 x 26 mm
Garantia de um ano, contra defeitos de fabricação.

**APENAS
R\$ 48,30**



SPYFONE - micro-transmissor

Um micro-transmissor secreto de FM, com microfone ultra-sensível e uma etapa amplificadora que o torna o mais eficiente do mercado para ouvir conversas à distância.

De grande autonomia funciona com 4 pilhas comuns e pode ser escondido em objetos como vasos, livros falsos, gavetas, etc. Você recebe ou grava conversas à distância, usando um rádio de FM, de carro ou aparelho de som.

NÃO ACOMPANHA GABINETE

RS 49,50



MINI-FURADEIRA

Furadeira indicada para: Circuito impresso, Artesanato, Gravações etc.
12 V - 12 000 RPM
Dimensões: diâmetro 36 x 96 mm. RS 38,00

ACESSÓRIOS:

2 lixas circulares
3 esmeris em formatos diferentes (bola, triângulo, disco)
1 polítrix e 1 adaptor.
RS 17,00



Conjunto CK-10 (estojo de madeira)

Contém: placa de fenolite, cortador de placa, caneta, perfurador de placa, percloroeto de ferro, vasilhame para corrosão, suporte para placa

RS 42,00

CONJUNTO CK-3

Contém: tudo do CK-10, menos estojo e suporte para placa

RS 35,00



MICROFONES SEM FIO DE FM

Características:

- Tensão de alimentação: 3 V (pilhas pequenas) - Corrente em funcionamento: 30 mA (tip)
- Alcance: 50 m (max) - Faixa de operação: 88 - 108 MHz
- Número de transistores: 2
- Tipo de microfone: eletreto de dois terminais (Não acompanha pilhas)

RS 22,00

PONTA REDUTORA DE ALTA TENSÃO

KV3020 - Para multimetros com sensibilidade 20 K Ω /VDC.

KV3030 - Para multimetros c/ sensib. 30 K Ω /VDC e digitais.

As pontas redutoras são utilizadas em conjunto com multimetros para aferir, medir e localizar defeitos em alta tensões entre 1000 V DC a 30 KV-DC, como: foco, MAT, "Chupeta" do cinescópio, linha automotiva, industrial etc.

RS 55,00

Monte seu próprio robô S-CARGO OWI-936K

O S-Cargo é um robô que altera sua direção através de comandos sonoros.

RS 308,00 + despesas de envio (SEDEX)

28 robôs em estoque - Não acompanha baterias



MANUTENÇÃO EM EQUIPAMENTOS HOSPITALARES

O OBJETIVO deste curso é preparar técnicos para reparar equipamentos da área hospitalar, que utilizem princípios da Eletrônica e Informática, como ELETROCARDIOGRAFO, ELETROENCEFALÓGRAFO, ULTRA-SOM, MARCA-PASSO etc.

Programa: Aplicações da eletr. analógica/digital nos equipamentos médicos/hospitalares / Instrumentação baseados na Bioeletricidade (EEG, ECG, ETC.) / Instrumentação para estudo do comportamento humano / Dispositivos de segurança médicos/hospitalares / Aparelhagem Eletrônica para hemodiálise / Instrumentação de laboratório de análises / Amplificadores e processadores de sinais / Instrumentação eletrônica cirúrgica / Instalações elétricas hospitalares / Radiotelemetria e biotelemetria / Monitores e câmeras especiais / Sensores e transdutores / Medicina nuclear / Ultra-sonografia / Eletrodos / Raio-X

Curso composto por 5 fitas de vídeo (duração de 90 minutos cada) e 5 apostilas, de autoria e responsabilidade do prof. Sergio R. Antunes.

PREÇO: RS 297,00 (com 5% de desc. à vista + R\$ 7,50 despesas de envio) ou 3 parcelas, 1 + 2 de R\$ 99,00 (neste caso o curso também será enviado em 3 etapas + R\$ 22,50 de desp. de envio, por encomenda normal ECT.)

PEDIDOS: Disque e Compre (11) 6195-5330, no site www.sabermarketing.com.br ou verifique as instruções na solicitação de compra na página 79

Preços Válidos até 10/08/2003



MULTÍMETROS TRUE RMS

Como essa tecnologia pode efetuar medidas com maior confiabilidade



Alexandre Capelli

INTRODUÇÃO

A automação industrial vem ganhando cada vez mais importância em todo o mundo. Afinal, qualquer indústria cujo produto possui alguma tecnologia (seja de bem de consumo ou de capital) necessita de um processo fabril ágil. Caso contrário, sua sobrevivência no mercado globalizado ficará seriamente comprometida.

Por outro lado, produzir muito com alta qualidade, e a um preço competitivo, é uma tarefa desafiadora.

Essa necessidade foi a grande responsável pelo desenvolvimento tecnológico das últimas décadas. Não somente nas áreas diretas da automação (Eletrônica, TI, Robótica, etc.), como nas indiretas. A instrumentação, por exemplo, é uma delas.

A cada dia que passa precisamos monitorar grandezas físicas com maior precisão, confiabilidade, e "repetibilidade".

No que se refere a eletrônica, com certeza, o multímetro é o mais clássico instrumento. Esse equipamento vem sofrendo uma incrível evolução tecnológica. Hoje, ele é significativamente mais rápido, preciso, leve, resistente, e barato do que há apenas dez anos. Uma nova "classe" de multímetros já surgiu desde então, e é sobre ela que trataremos neste artigo: os multímetros TRUE RMS.

VALOR "ROOT MEAN SQUARE"

RMS (*Root Mean Square*) ou valor médio quadrático é o valor da tensão DC que produz a mesma potência

dissipada que uma tensão variável (senoidal ou não) dissiparia, quando aplicada em um resistor de valor constante.

De maneira genérica, a tensão eficaz pode ser calculada através da fórmula:

$$V_{ef}^2 = \frac{1}{T} \int_0^T f^2 d\theta$$

O valor da tensão eficaz, portanto, dependerá da forma-de-onda da tensão. Para uma senóide pura (figura 1), temos o seguinte cálculo:

$$V = V_{\max} \cdot \text{sen}\theta \text{ (função senoidal)}$$

$$V_{ef}^2 = \frac{1}{T} \int_0^{2\pi} v_{\max}^2 \cdot \text{sen}^2\theta d\theta$$

$$V_{ef}^2 = \frac{1}{2\pi} \cdot V_{\max}^2 \left[\frac{1}{2}\theta - \frac{\text{sen}2\theta}{4} \right]_0^{2\pi}$$

$$V_{ef}^2 = \frac{1}{2\pi} \cdot V_{\max}^2 \left[\frac{1}{2}(2\pi - 0) - \frac{1}{4}(\text{sen}2 \times 2\pi - \text{sen}0) \right]$$

$$V_{ef}^2 = \frac{1}{2\pi} \cdot V_{\max}^2 \cdot \pi$$

$$V_{ef} = \sqrt{\frac{v_{\max}^2 \cdot \pi}{2\pi}} = \frac{V_{\max}}{\sqrt{2}}$$

Portanto: $V_{ef} = \frac{V_{\max}}{\sqrt{2}}$ ou $\frac{V_{\max}}{1,414}$

É bom lembrar que esse método de cálculo é válido apenas para sinais periódicos. Aplicando o mesmo princípio para uma função triangular, teremos:

$$V_{ef} = V_{\max} / \sqrt{3}$$

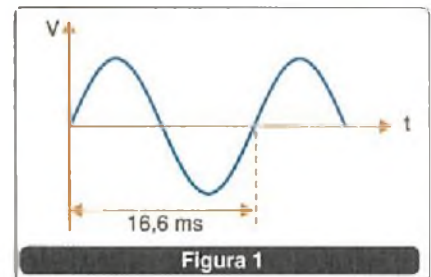


Figura 1

MEDIDAS "TRUE RMS"

"O que é, e qual a razão de se utilizar medidas em TRUE RMS?"

O valor TRUE RMS (valor eficaz verdadeiro) é útil quando precisamos medir uma tensão AC que não é uma senóide pura.

A maioria dos multímetros são projetados para medidas de tensão (ou corrente) puramente senoidais. Caso tenhamos redes com presença de distorções harmônicas (figura 2), o multímetro não fornecerá um resultado preciso.

A figura 3 mostra um comparativo entre as formas-de-onda senoidal, triangular e quadrada com as respectivas faixas de erro apresentadas por um multímetro convencional. Notem que podemos obter um erro de até -46% do valor real.

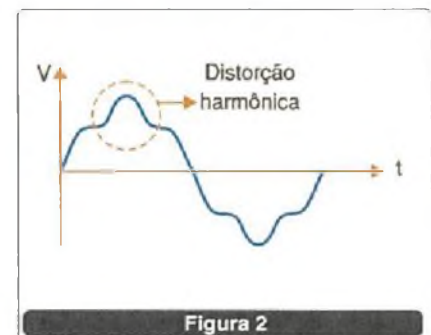


Figura 2

**MULTÍMETRO
TRUE RMS X CONVENCIONAL**

A figura 4 ilustra um ensaio prático sobre as diferentes performances entre dois multímetros de mesma marca, porém, sendo um TRUE RMS, e o outro convencional.

O sinal utilizado no ensaio é uma onda triangular CA, com $V_p = 2$ volts. Segundo a teoria, o valor eficaz (RMS) desse sinal deve ser aproximadamente 1,15 volts. Uma vez que:

$$V_{RMS} = \frac{V_p}{1,732}$$

$$V_{RMS} = \frac{2V}{1,732} = 1,15V$$

Notem que é exatamente esse valor que indica o multímetro ET-2701 (TRUE RMS). Já o modelo ET-2081 (do mesmo fabricante, porém, convencional) indica 1,110V. Isso representa um erro de - 4,5% do valor real.

Por outro lado, se mudarmos a forma-de-onda para uma senóide (figura 5), ambos informam o mesmo valor, ou seja: 1,404 V (aproximadamente).

Esse valor é o eficaz da tensão senoidal:

$$\left(V_{RMS} = \frac{v_p}{1,41} \right)$$

Nessa situação, portanto, não há erro.

"Isso quer dizer que um multímetro TRUE RMS é melhor que um convencional?"

Depende da necessidade. Antes da aquisição de qualquer instrumento de medição, devemos analisar qual será sua principal aplicação. Assim, podemos garantir uma boa relação custo/benefício.

É fato que, geralmente, a maioria dos multímetros TRUE RMS são mais caros que os convencionais. Muitos deles também são mais robustos e precisos (categoria III). Essas características permitem que esses instrumentos sejam utilizados em ambientes industriais, visto que são imunes a EMI, e podem medir tensões não senoidais com maior precisão.

Forma - de - onda	Fator de Crista (FC)	RMS	Erro
	1,414	$\frac{V_p}{1,414}$	0
	1,732	$\frac{V_p}{1,732}$	Até 4,5 %
	$\sqrt{\frac{T}{t}}$	$\frac{V_p}{FC}$	Até 46 %

Figura 3

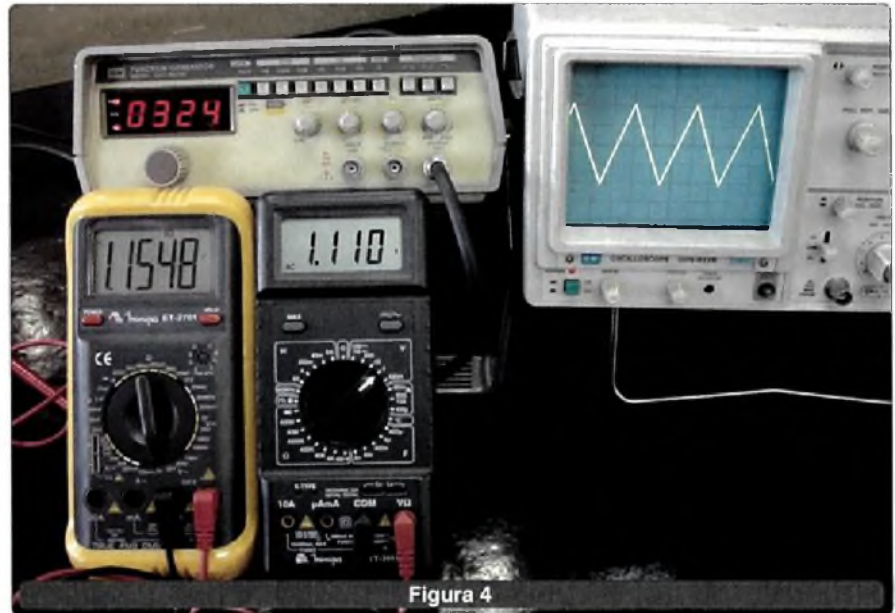


Figura 4

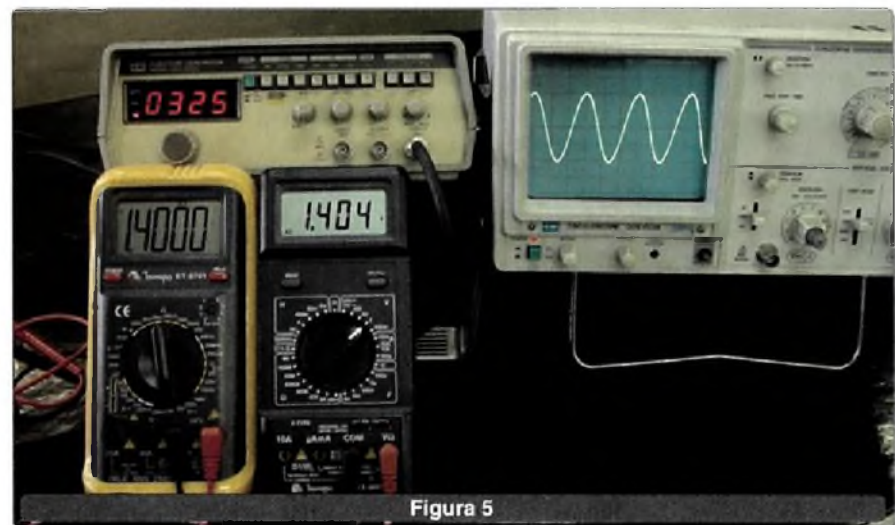


Figura 5

Deformações da tensão

A principal causa de um sinal senoidal da rede elétrica deformar-se, e passar a ser uma forma-de-onda não senoidal, é a distorção harmônica.

A presença de harmônicas na rede elétrica industrial é um fenômeno comum. Devido a alta parcela de carga indutiva, bem como circuitos chaveados (fontes, inversores de



freqüência, reatores de lâmpadas fluorescentes, etc.), a rede fica poluída. Parte da energia escapa da freqüência fundamental (60 Hz), e passa a se apresentar em freqüências de outra ordem, principalmente terceira, sétima, e décima primeira (ordem ímpar).

"Na prática, o que isso influi na medição?"

Já presenciei em campo instalações onde fios de "bitola" 2,5 mm² aqueciam-se a ponto de derreter sua isolação plástica com apenas 1,8 A de corrente.

"Como isso é possível?"

Não é!

A medida de corrente, oriunda de um multímetro convencional, era relativa apenas à freqüência fundamental da rede. Todo o montante da corrente das harmônicas não aparecia. Somente com um multímetro TRUE RMS foi possível constatar a somatória de todas as harmônicas.

Por outro lado, se os sinais a serem medidos forem puramente senoidais ou contínuos, um multímetro convencional apresentará um desempenho tão satisfatório quanto o TRUE RMS.

FUNCIONAMENTO DO MULTÍMETRO DIGITAL

A **figura 6** mostra a estrutura básica do multímetro digital, seja ela TRUE RMS ou não.

O *display* de cristal líquido é ligado a um contador que está ajustado para contar de 0 a 1999 numa velocidade constante, denominada "velocidade de amostragem".

Uma das diferenças do multímetro TRUE RMS para o comum é justamente uma maior velocidade de amostragem.

Para entender melhor esse processo, vamos a um exemplo prático. Suponha que o instrumento deverá medir uma tensão de 1,0 volt, por exemplo. Há no circuito um capacitor em série com uma fonte de corrente constante na qual aplicamos a tensão a ser medida, a partir de um amplificador operacional com altíssima impedância de entrada. A fonte e o

capacitor estão ligados à entrada de um comparador.

Na entrada de referência é aplicada uma tensão que vai determinar quando ele comuta.

Desta forma, quando a tensão de entrada é aplicada, o capacitor começa a se carregar e ao mesmo tempo o contador inicia a contagem de pulsos do oscilador (amostragem).

O circuito que carrega o capacitor é montado de tal forma que a velocidade de carga será tanto maior quanto menor for a tensão aplicada à entrada (inversora), e vice-versa.

Isso significa que, se a tensão for muito alta, a carga será lenta e o contador terá tempo de ir até 1999 (fim de escala). Porém, se a tensão de entrada for baixa, a carga será rápida e o contador contará até um valor bem menor.

O circuito é linear, de modo que existe uma proporção direta entre a tensão aplicada à entrada e o valor contado.

Para fixar o valor contado, o circuito comparador é ligado a uma chave que ativa e desativa o contador em ciclos determinados de amostragem.

Esses ciclos variam de 0,1 a 1 segundo para multímetros comuns, e de 0,01 a 0,1 para TRUE RMS.

Isso quer dizer que o multímetro está sempre lendo a tensão de entrada. Ele conta, fixa o valor lido no mostrador, e zera o contador. Imediatamente após isso, inicia-se uma nova contagem até obter-se uma nova leitura.

Nesse momento, ele zera o contador e apresenta o novo valor.

Essa técnica permite que o multímetro seja usado para ler tensões que variam constantemente. É por esse motivo, que quando lemos uma tensão com valores "quebrados" como, por exemplo, 19,975 V, o multímetro apresenta seu último dígito oscilando entre 19,97 e 19,98 V.

Quanto menor o tempo de amostragem, portanto, melhor o multímetro.

Esses instrumentos são sensíveis a interferências. Uma das técnicas de proteção é "blindar" sua PCI. Conforme podemos observar na **figura 7**, a tampa da caixa do multímetro é revestida com uma folha metálica e, através de uma mola, é conectada ao terra da alimentação do aparelho.

CONCLUSÃO

A escolha do melhor instrumento para nossas necessidades deve ser criteriosa. Fatores como categoria, recursos, freqüência máxima de operação, robustez, entre outros, podem influenciar muito no desempenho do técnico ou engenheiro de aplicação.

Na próxima edição trataremos um "especial" sobre qualidade da energia elétrica, que mostrará outros exemplos de medidas true rms, incluindo alicates amperímetros e scopemeters.

Envie suas críticas e sugestões sobre esse e demais artigos desta edição para a.leitor.sabereletronica@editorasaber.com.br. Sua opinião é muito importante.

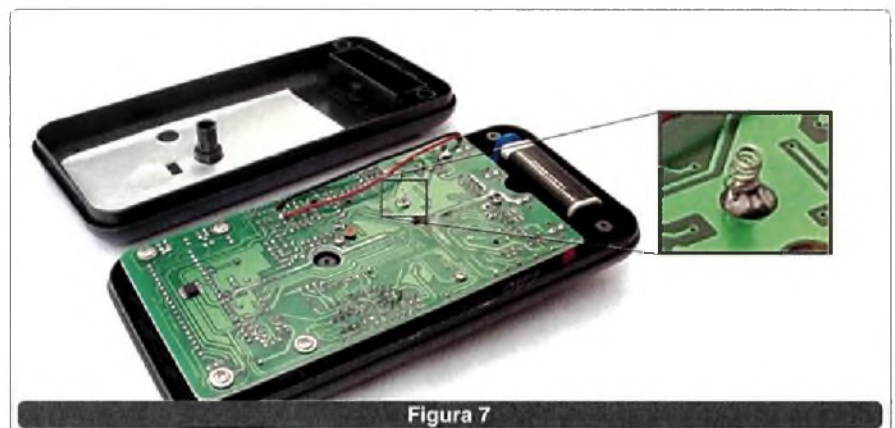


Figura 7

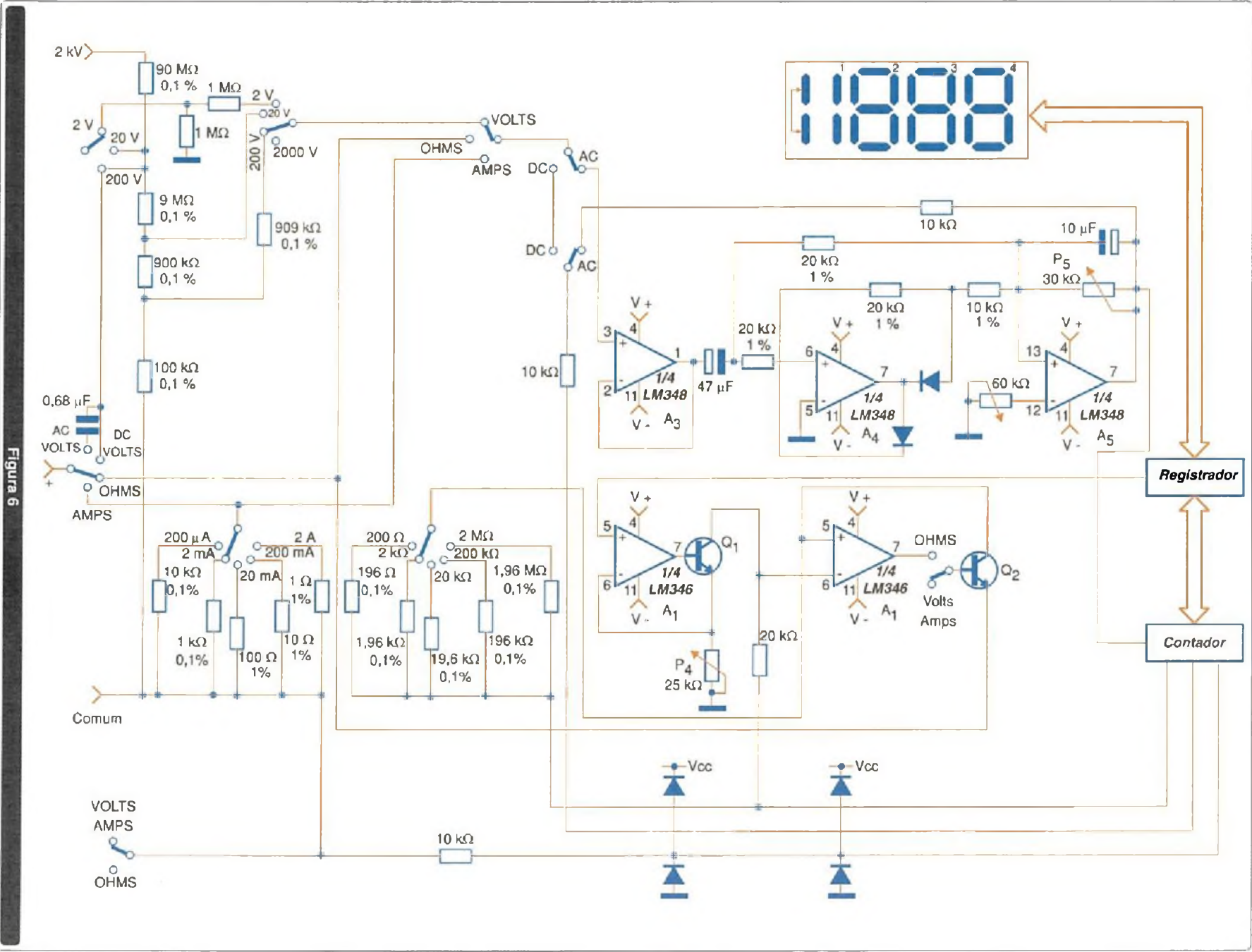


Figura 6

Instrumentos de Medição Minipa

NOVA LINHA DE ALICATES MINIPA CATEGORIA III - 600V

Esta nova linha possibilita medidas precisas de corrente sem a interrupção do circuito, em condutores com diâmetro máximo de 55mm ou barramentos de até 70 x 8mm.

Alicates

ET-3950 Corrente AC/DC 2000A	ET-3960 Corrente AC/DC 2000A
ET-3600 Corrente AC 1500A	ET-3601 Corrente AC 1500A
ET-3850 Corrente AC/DC 1000A	ET-3860 Corrente AC/DC 1000A



Autorange
Data Hold
Frequência

Autorange
Data Hold
Frequência



True RMS

Categoria de Líder!

Desenvolvemos instrumentos pensando em qualidade, resistência e principalmente na sua segurança. Todos os nossos produtos são testados e certificados de acordo com a categoria e as normas padrões de segurança. Também pensamos como brasileiros e adequamos nossa qualidade e tecnologia a nossa realidade. Assim, oferecemos equipamentos na medida exata!

Conheça nossos lançamentos:



Alicate Inteligente
ET-3500
400 A AC
Data Hold
6000 Contagens
Tensão AC/DC
Resistência
Cat III - 600V



Multímetros Categoria IV

ET-2095 6000 Contagens Frequência Capacitância 600V True RMS	ET-2510 6000 Contagens Frequência Capacitância 600V True RMS RS 232
--	--



Multímetros Gráficos

MS-60 (100kHz) Display Gráfico Memória de 15 telas RS 232 True RMS	MS-84 Multímetro a Osciloscopia Display Gráfico 5 MHz / 20 MHz (Repetitivo) 20 Ms/s RS 232 True RMS
--	--



Termômetro Infravermelho com Mira Laser

MT-350
-30° - 550°C
-22°F - 1022°F
Emissividade Fixa 0.95
Campo de Visão 10:1



Tel: (31) 3279-6000 / Fax: (31) 3279-6010
minasfer@minasferramentas.com.br
www.minasferramentas.com.br

Belo Horizonte - MG



Tel: (61) 563-3593 / Fax: (61) 563-3568

Brasília - DF



Tel: (84) 223-0528 / Fax: (84) 223-5702
cpaula@matrix.com.br
www.carpainstrumentacoes.com.br

Natal - RN



Tel: (21) 2589-7185 / Fax: (21) 2589-8520
dimopel@dimopel.com.br
www.dimopel.com.br

Rio de Janeiro - RJ



Tel/Fax: (21) 2221-4825
triduar@netfly.com.br
www.triduar.com.br

Rio de Janeiro - RJ



Tel: (11) 4996-7205 / Fax: (11) 4996-7245
carlosalberto@netcondigy.com.br
www.abseletronica.com.br

São Paulo - SP



Tel: (11) 3874-2530 / Fax: (11) 3872-9099
vendas@frato.com
www.frato.com

São Paulo - SP



Tel/Fax: (11) 3331-1666
opel@opel.com.br
www.opel.com.br

São Paulo - SP

MINIPA ONLINE

Dúvidas? Consulte:
www.minipa.com.br
Acesse Fórum
Sua resposta em 24 horas

Conheça nossa linha completa:
www.minipa.com.br



GERANDO TRANSIENTES RÁPIDOS DE LINHA

Newton C. Braga

Em diversos setores da Eletrônica, a medida do modo como se comportam circuitos diante de transientes rápidos é um item fundamental no projeto. No entanto, para essa finalidade é preciso contar com uma maneira de se gerar artificialmente estes transientes na bancada, o que exige o emprego de circuitos especiais. O circuito que apresentamos foi proposto pela Maxim em seu *Application Note 378* e consiste numa solução bastante acessível e econômica já que faz uso de componentes discretos bastante tradicionais.

O circuito que propomos para a geração de transientes usa uma configuração em simetria complementar, bastante conhecida dos leitores que já trabalharam com áudio. Os transistores de potência fornecem um sinal de excelente intensidade quando empregamos um gerador de funções ligado à sua entrada.

Se o dispositivo sob teste for de potência muito baixa, ele poderá ser ligado diretamente à saída do gerador de funções, sem problemas e sem a necessidade de um capacitor de passagem. Entretanto, se a capacitância

do dispositivo sob teste e sua potência aumentam, o gerador de funções não pode ser usado sozinho. A solução para se obter transientes rápidos em cargas capacitivas grandes é através de um *buffer* em laço aberto.

Como esse tipo de circuito não tem realimentação, ele é sensível a cargas capacitivas e pode ser projetado para fornecer uma ampla faixa de correntes.

Um critério importante no projeto desse tipo de *buffer* é que ele tenha uma taxa alta de crescimento, uma alta capacidade de excitação saída, uma

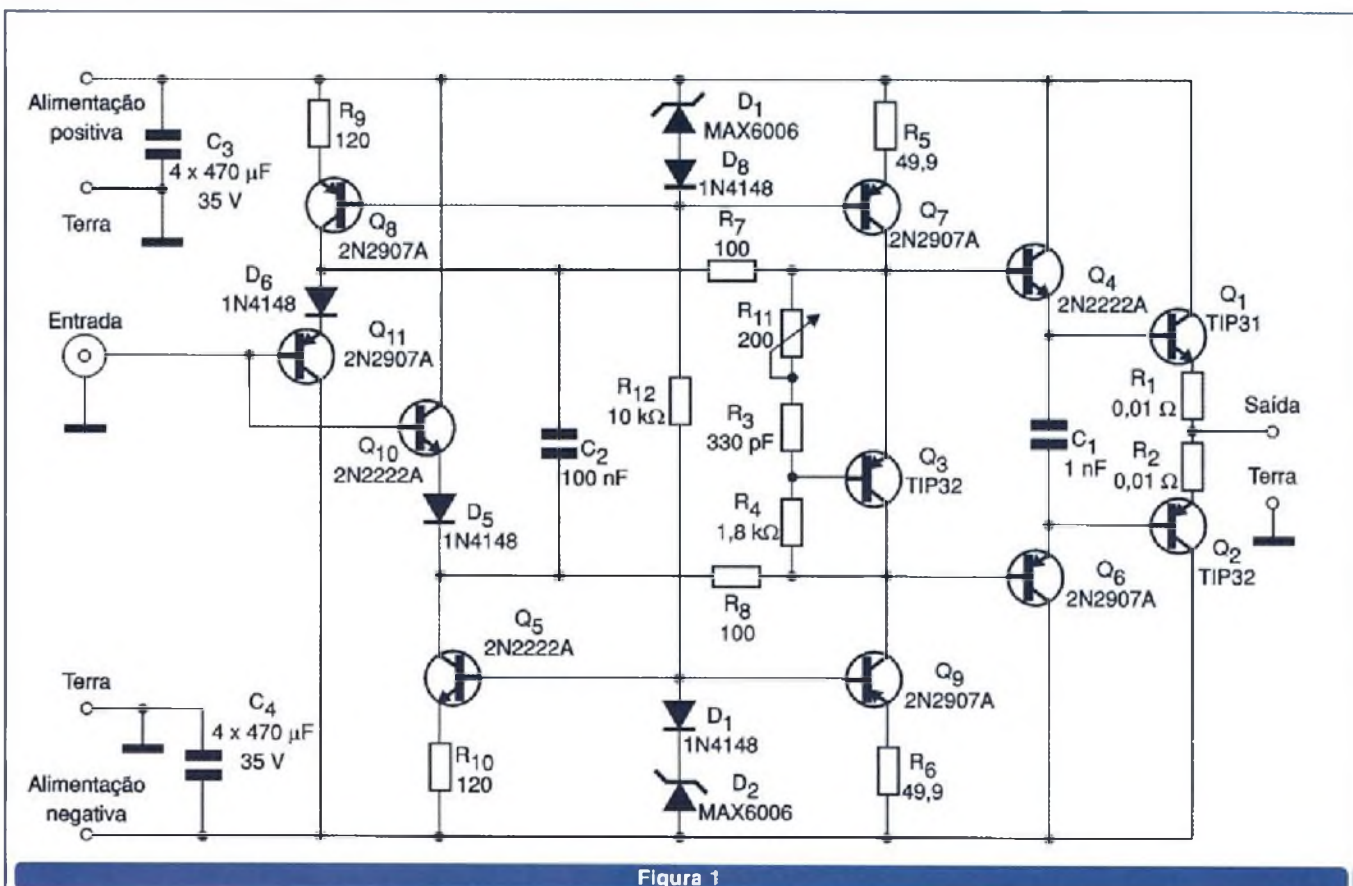


Figura 1

baixa tensão *offset*, uma baixa distorção e uma compensação térmica.

O circuito ilustrado na **figura 1** tem todas estas características.

Como os transistores de saída não são casados, devem ser feitos alguns ajustes de polarização. Além disso, o circuito deve ter recursos para manter a polarização constante na faixa de temperatura de operação. Analisemos seu funcionamento:

O circuito pode ser separado em três blocos principais. Na entrada,

temos uma etapa complementar de alta impedância.

A seguir, temos um multiplicador de V_{be} para ajuste de polarização com fontes de corrente constante. Finalmente, temos, na saída, uma etapa Darlington de potência.

O transistor Q_8 atua na compensação das características do circuito com as variações de temperatura, devendo ser montado em contato com os dissipadores de calor dos transistores de saída.

O circuito é projetado para operação com fonte simétrica com uma tensão de alimentação de pelo menos 5 V acima do máximo desejado. A operação com uma fonte de +15 V -5 V oferece uma boa performance para ele.

Será interessante tomar cuidado com as linhas de terra do circuito para que não ocorram interações no funcionamento. Um fio grosso deve ser usado para fazer um barramento comum.

DADOS E ALIMENTAÇÃO PELO MESMO FIO

Conheça os CIs MAX 4526 e MAX 4527

Newton C. Braga

Os mesmos fios que levam alimentação a um circuito podem também ser utilizados para transmitir dados. Como isso pode ser feito, é o que veremos neste artigo baseado em *application note* da Maxim.

Com a utilização apropriada de filtros e o emprego de portadores numa frequência que não tenha problemas de transmissão em um determinado meio, é possível usá-lo para transmissão de dados juntamente com energia.

Na **figura 1** temos uma idéia prática da Maxim que se baseia no circuito integrado MAX4526 ou MAX4527.

O circuito pode fornecer uma alimentação a pequenas cargas, que não exijam mais do que 1 mA e também sinal. O sistema em questão aceita tanto sinais simples quanto diferenciais e produz ainda uma tensão para o receptor com retificação de onda completa.

Para sinais simples (*single-ended*) uma série de zeros pode causar uma queda de tensão excessiva na tensão de alimentação remota.

Para que esse problema não ocorra, transmite-se dados diferenciais (+/- 5 V a +/- 18 V), no estilo pseudo RS-485. Os resistores limitadores de

corrente nas entradas de alimentação têm por função evitar danos ao circuito no caso de um curto circuito na linha. Um desacoplamento apropriado para as linhas de alimentação pode ajudar a minimizar os ruídos.

Com tensões de +5 V e -5 V, alimentando o MAX4526/27 como ilustra a **figura 1**, as tensões medidas em diversas cargas foram as indicadas pela tabela ao lado:

Carga (ohms)	Tensão (V)
1 M	9,60
47 k	9,0
10 k	8,60
8,2 k	8,40
5 k	8,20

Mais informações sobre esta aplicação podem ser obtidas no *site* da Maxim em: www.maxim-ic.com.

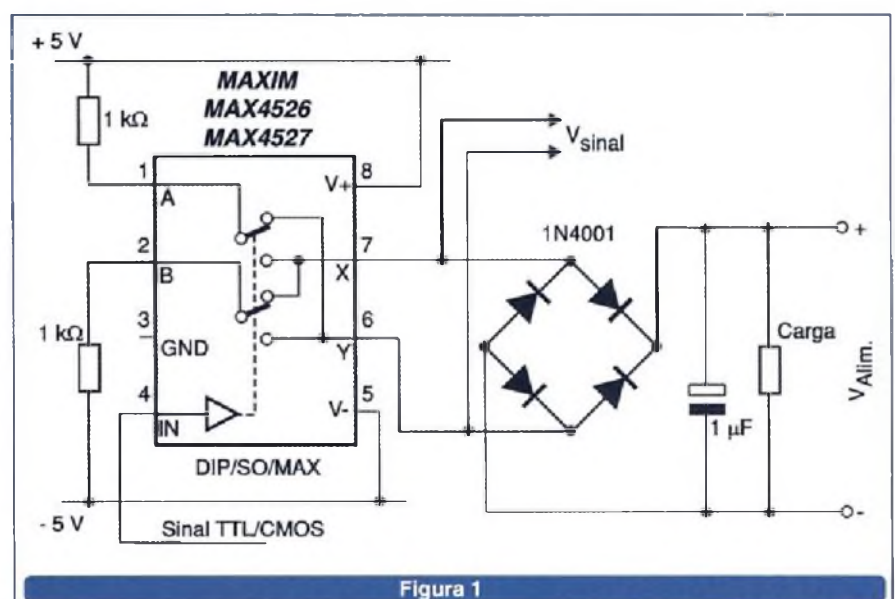


Figura 1

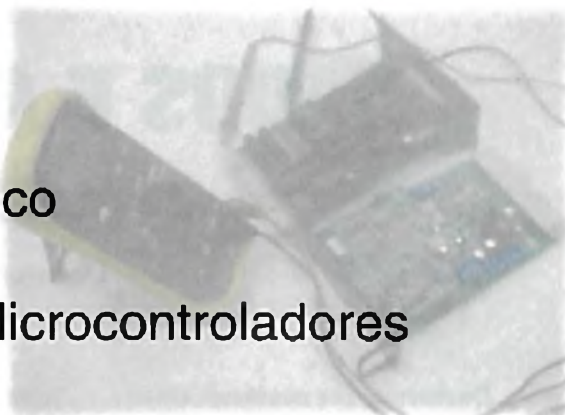
SENAI

VILA LEOPOLDINA

INSCRIÇÕES ABERTAS PARA OS CURSOS DE:

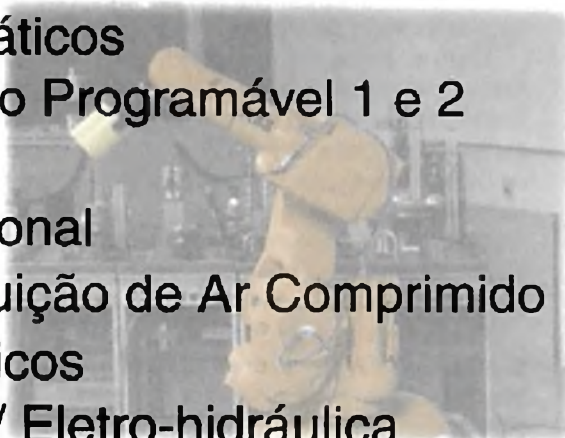
■ Eletrônica

- Eletrotécnica
- Eletrônica - Módulo Básico
- Eletrônica Industrial
- Microprocessadores e Microcontroladores



■ Automação Industrial

- CP - Comandos Pneumáticos
- PLC - Controlador Lógico Programável 1 e 2
- Mecatrônica 1 e 2
- HP - Hidráulica Proporcional
- RDAC-Redes de Distribuição de Ar Comprimido
- CH - Comandos Hidráulicos
- E.P - Eletropneumática / Eletro-hidráulica



A escola também oferece cursos, assessoria / consultoria sob medida para empresas.

Escola SENAI "Mariano Ferraz"
Rua Jaguaré Mirim, 71- São Paulo
Tel.: 3641-0024 ramais 214 ou 231
www.sp.senai.br

SENAI

MIC281 SENSOR TÉRMICO DE BAIXO CUSTO



Apresentamos o MIC281, da Micrel Semiconductor, um sensor térmico de baixo custo para aplicações em *desktops*, *notebooks*, *set-top boxes*, consoles de games e aplicações diversas. Veja, aqui, as principais características desse componente.

Newton C. Braga

O MIC281 é um sensor térmico digital capaz de medir a temperatura de uma junção PN remota. Ele é otimizado para aplicações de baixo custo e onde o espaço seja importante. O sensor remoto pode ser qualquer transistor de uso geral como o 2N3906 ou ainda um diodo embutido como, por exemplo, os encontrados em microprocessadores como os Pentium II/III/IV, Athlon AMD, Xilinx, e FPGAs Virtex.

O MIC280 é compatível 100% em hardware e software com o produto anterior da empresa, o MIC280. A interface serial de 2 fios compatível com SMBus 2.0 é ideal para a comunicação. Os pinos de *clock* e dados toleram tensões de 5 V, independentemente do valor de Vdd. Na **figura 1** temos um circuito típico de aplicação.

O MIC281 é fornecido em invólucro SOT23-6 de 6 pinos, conforme ilustra a **figura 2**.

Destaques:

- Sensoriamento remoto de temperatura usando junções PN comuns
- Precisão de +/- 3% de 0 °C a 100 °C
- Excelente rejeição de ruído
- Compatível com interface I2C e SMBus 2.0
- Entradas e saídas tolerantes a tensões
- Modo shutdown de baixo consumo
- Alimentação de 3,0 a 3,6 V.

Mais informações em:
www.micrel.com

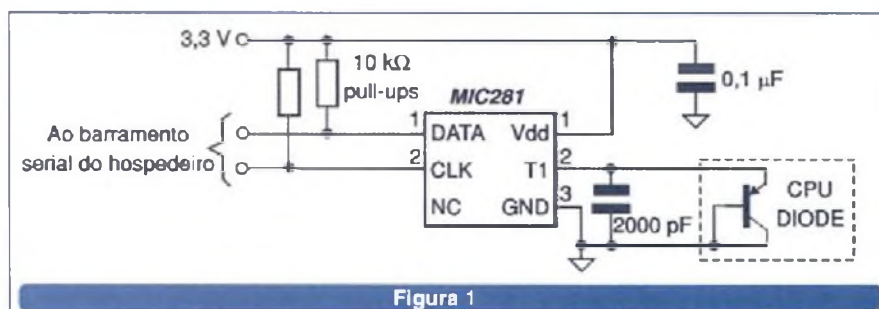


Figura 1

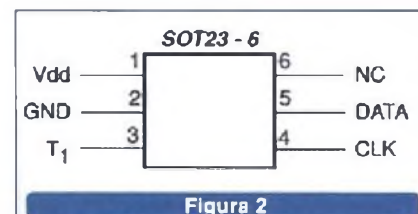


Figura 2

MSC1210 Conversor Analógico/Digital - Texas

Newton C. Braga

O circuito integrado MASC1210 da Texas Instruments consiste em um ADC Inteligente Delta-Sigma com um cerne 8051 e memória *flash on-chip*. Veja, neste artigo, as principais características desse componente.

O MSC1210 emprega um cerne 8051 melhorado com memória *flash on chip*, além de periféricos de alta performance. A integração de circuitos digitais com analógicos possibilita a utilização do dispositivo em projetos específicos.

Costuma ser muito difícil conseguir o mesmo grau de custo e desempenho utilizando dispositivos separados, o que torna esse componente bastante atraente onde as diversas funções que ele integra são necessárias.

O nível de ruído desse ADC é melhor do que a maioria dos concorrentes que fazem uso de arquiteturas que operam com sinais mistos.

Na figura 1 temos o diagrama de bloco desse conversor de 24 bits que pode ser encontrado em quatro versões, com capacidades de memória de 4, 8 e 16 kB.

Dentre as aplicações sugeridas, temos:

- Instrumentação portátil
- Sensores inteligentes
- Cromatografia
- Balanças

As principais características:

- 24 bits sem códigos ausentes
- 22 bits de resolução efetiva
- 8 entradas diferenciais/simples para sinais analógicos

- Compatível com 8051
- Operação com 8 MIPS
- Até 32 kB de memória Flash de programa
- Acumulador de 32 bits

- PGA 1 a 128
 - Vref de precisão
 - Invólucro de 84 pinos TQFP.
- Mais informações em:
www.ti.com

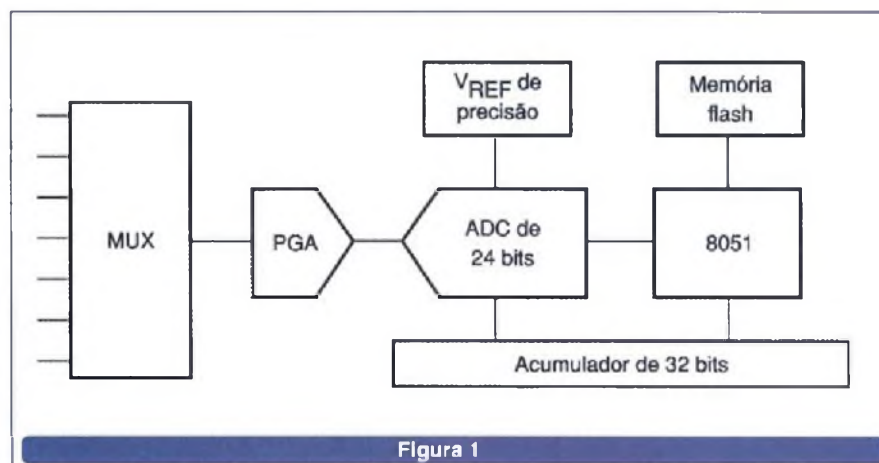


Figura 1

FONTE PARA DIVERSAS TENSÕES COM MAX 628

Newton C. Braga

Tensões isoladas são necessárias em diversos sistemas de alta tensão que empregam circuitos integrados de baixa tensão.

Uma idéia prática simples que possibilita a obtenção de tensões isoladas a partir de tensões contínuas de uma fonte é dada num Application Note da Maxim que reproduzimos aqui.

Conforme mostra a figura 1, um circuito oscilador com base no CI MAX628, que contém um driver MOSFET de potência interno, excita um par de capacitores (C1 e C2).

Os capacitores são contactados em dois retificadores de onda completa tendo, na saída, capacitores de filtro (C3).

Outras redes de diodos e capacitores podem ser usadas para se obter outras fontes separadas e isoladas.

A corrente máxima que pode ser obtida do circuito integrado é de 1

A com uma tensão de alimentação máxima de 18 V.

As tensões retiradas na saída correspondem à tensão de entrada menos a queda de tensão nos diodos.

Se o circuito for montado com diodos de sinal como os 1N914, a corrente

máxima de uma fonte de 5 V será de 4 mA com uma tensão de 3,3V.

Correntes maiores podem ser alcançadas com diodos apropriados, e com o uso de diodos Schottky a queda de tensão no retificador pode ser reduzida.

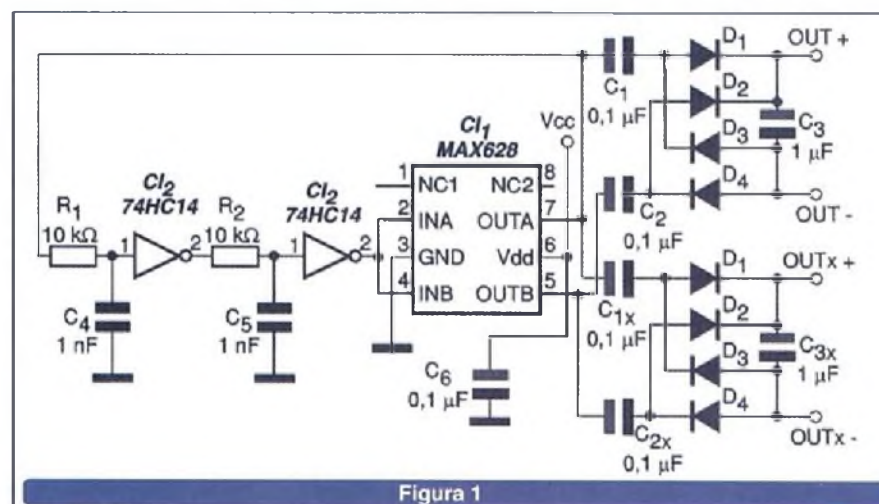


Figura 1

Instituto Monitor: de longe a melhor opção em Ensino a Distância

Estude em casa e conquiste um emprego melhor!

ISSO É POSSÍVEL EM POUCO TEMPO, E COM MENSALIDADES QUE ESTÃO AO SEU ALCANCE

Participando de um dos cursos do Instituto Monitor, criados especialmente para atender às necessidades brasileiras, você se tornará um profissional especializado pronto para atender às exigências do mercado de trabalho.

Cursos de Habilitação Profissional Autorizados pelo CEE

Conselho Estadual de Educação, parecer CEE 650/99, publicado no DOE 10/12/99



Técnico em **Eletrônica** (com CREA)



Técnico em **Transações Imobiliárias**
Corretor de Imóveis (com CRECI)



Técnico em **Contabilidade** (com CRC)
** Habilitação fornecida pelo Conselho mediante realização de exame.



Técnico em **Informática**



Técnico em **Secretariado** (com DRT)



- Cursos Técnicos de Nível Médio com Diploma válido em todo Brasil possibilitando a continuação dos seus estudos em Nível Superior.
- Avaliação final na sede da Escola.

Supletivos

- Ensino Fundamental (1º Grau)
- Ensino Médio (2º Grau)

Ensino Independente

opções

- Curso completo
- Eliminação de matérias
- Eliminação de séries



- Certificado válido em todo Brasil para continuidade dos estudos.
- Avaliação na sede da Escola com posterior confirmação em exames mantidos por Instituição credenciada.

Outros Cursos

- Chaveiro
- Eletrônica
- Eletricista Enrolador de Motores
- Eletricista
- Montagem e Reparação de Aparelhos Eletrônicos
- Letrista e Cartazista
- Silk-Screen
- Fotografia
- Corte e Costura
- Desenho Artístico e Publicitário
- Direção e Administração de Empresas
- Bolos, Doces e Festas
- Bijouterias
- Chocolate
- Pão de Mel
- Licores

GRÁTIS
Catálogo Informativo

Você merece o melhor! Garanta-se estudando conosco.

Instituto Monitor
FORMANDO PROFISSIONAIS DESDE 1939

caixa postal 2722 • São Paulo-SP
CEP 01060-970
Rua dos Timbiras, 257/263
Centro • São Paulo-SP
email: monitor@uoi.com.br

Central de atendimento: (11) **33-35-1000**
www.institutomonitor.com.br

Sr Diretor, desejo receber, grátis e sem compromisso, mais informações sobre o curso de:

Nome _____

End _____ Nº _____

Bairro _____

Telefone _____ e-mail _____

Cidade _____

CEP _____ Estado _____

DEZ APLICAÇÕES PRÁTICAS COM O ACOPLADOR ÓPTICO

10

Confira como esse componente da Agilent Technologies pode ajudá-lo nos seus sistemas de comunicação.

Os isoladores ópticos consistem em soluções ideais em aplicações práticas que operam com sinais de alta intensidade em modo comum, e ainda têm a necessidade de um elevado grau de isolamento. Em um Application Note, a Agilent Technologies oferece diversas soluções práticas para os Opto Acopladores com transistores Darlington, os 6N138/9. Veja, neste artigo, algumas destas soluções.

Newton C. Braga

Quando se trabalha com sinais com elevada intensidade e em modo comum como, por exemplo, sinais transmitidos por pares trançados, os acopladores ópticos apresentam características que não apenas simplificam os projetos, mas também garantem facilmente o desempenho esperado.

O 6N138/9 é um acoplador óptico da Agilent Technologies que se caracteriza por apresentar um fotodiodo interno excitando diretamente dois transistores na configuração Darlington. O uso de transistores na configuração Darlington garante uma elevada taxa de transferência de sinais.

Assim, o 6N138 proporciona uma transferência de sinal de 300% com correntes de entrada de 1,6 mA, enquanto o 6N139 apresenta uma taxa de transferência de sinal de 400% com 0,5 mA. Além disso, os dois dispositivos possuem conexões separadas para os transistores e o fotodiodo, o que possibilita a obtenção de uma alta velocidade de operação e saídas compatíveis com lógica TTL.

O acesso ao terminal de base do segundo transistor possibilita um ajuste externo da faixa passante.

A seguir, algumas aplicações práticas importantes.

1. RECEPTOR COMPATÍVEL COM LINHA RS-232.

Na **figura 1** apresentamos um circuito que tem uma tensão de isolamento de 2 500 V em 60 Hz e rejeição em modo comum elevada.

A velocidade máxima para a transferência de dados permitida para este circuito é de 40 kB/s com cabos cujo comprimento pode chegar até a 1500 metros.

Uma característica de histerese aumenta a imunidade do circuito a ruídos.

O transistor recomendado é o 2N3904, mas equivalentes de uso geral podem ser empregados.

2. INTERFACE DE BAIXA POTÊNCIA

Na **figura 2** temos um circuito de interfaceamento de lógica TTL como lógica CMOS usando um acoplador óptico 6N139 alimentado com uma tensão de 5 V.

A corrente de operação é da ordem de 0,5 mA e a frequência

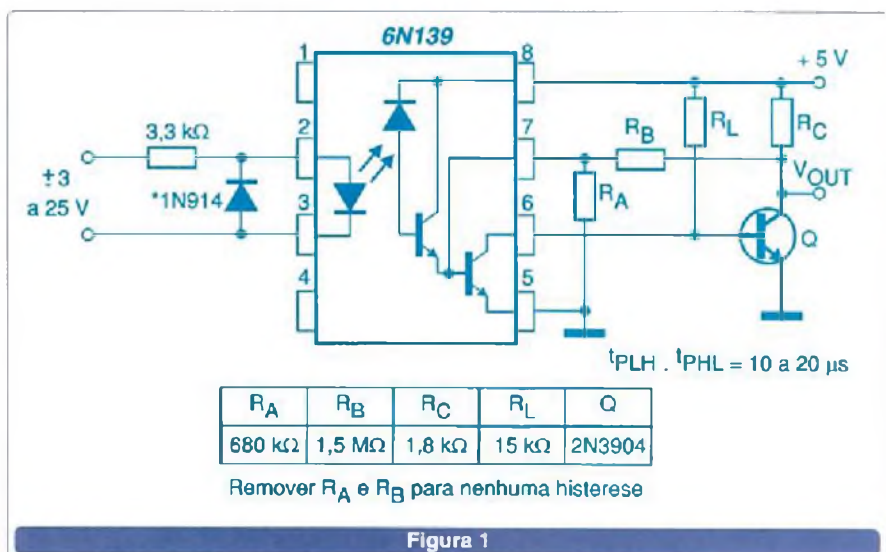


Figura 1

máxima de transferência de dados é de 10 kHz.

3. RECEPTOR DE LINHA PARA LINHA PARTILHADA

Na **figura 3** mostramos a configuração típica de uma linha partilhada utilizando um par trançado onde o circuito com o 6N138 pode ser usado.

Até oito circuitos podem ser empregados no circuito ilustrado.

O CI para *driver* de linha é convencional e o comprimento máximo da linha recomendado é da ordem de 100 metros.

A velocidade típica de transferência de dados é de 180 kB/s (que correspondem a tempos de subida e descida típicos de 3 us). As cargas podem ser distribuídas aleatoriamente ao longo da linha.

4. DETECTOR DE CHAMADA TELEFÔNICA

Com o circuito exibido na **figura 4** temos um sinal lógico para acionamento de um "dispositivo de chamada quando houver sinal de chamada" numa linha telefônica.

O circuito pode ser usado para disparar um TRIAC ou outra carga de de potência alimentada diretamente pela rede de energia com total isolamento da linha telefônica. Observe que a alimentação do setor receptor é feita com 5 V.

O transistor 2N3906 é de uso geral podendo ser substituído por equivalentes.

5. INTERFACE TTL PARA TTL

Na **figura 5** observamos um circuito que permite interfacear lógica TTL com lógica TTL, mas com total isolamento dos sinais.

A velocidade de transmissão dos dados pode ser adaptada com o ajuste do valor Rin e RL.

A seguinte tabela fornece valores para algumas velocidades de dados em função de RL e Rin.

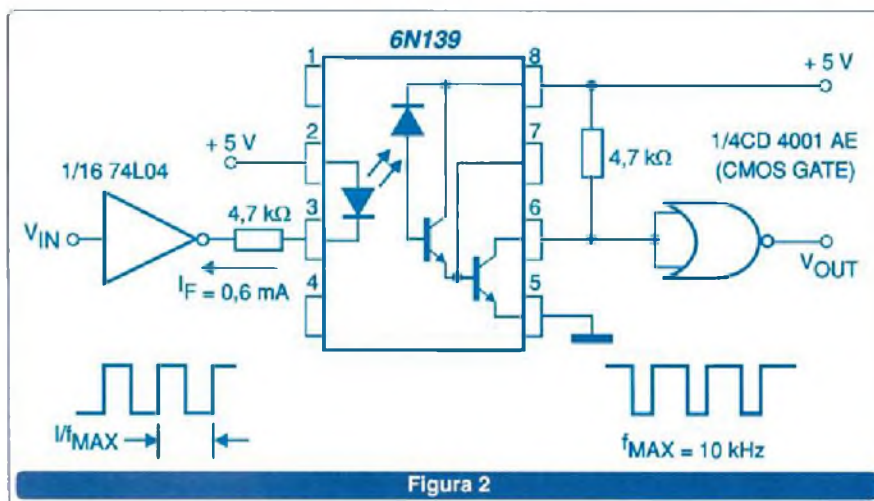


Figura 2

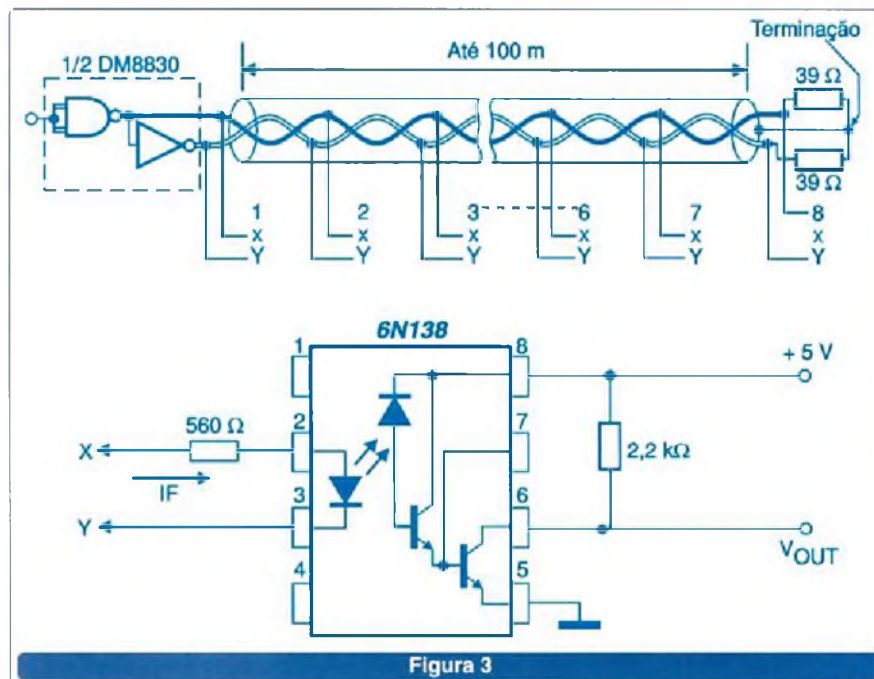


Figura 3

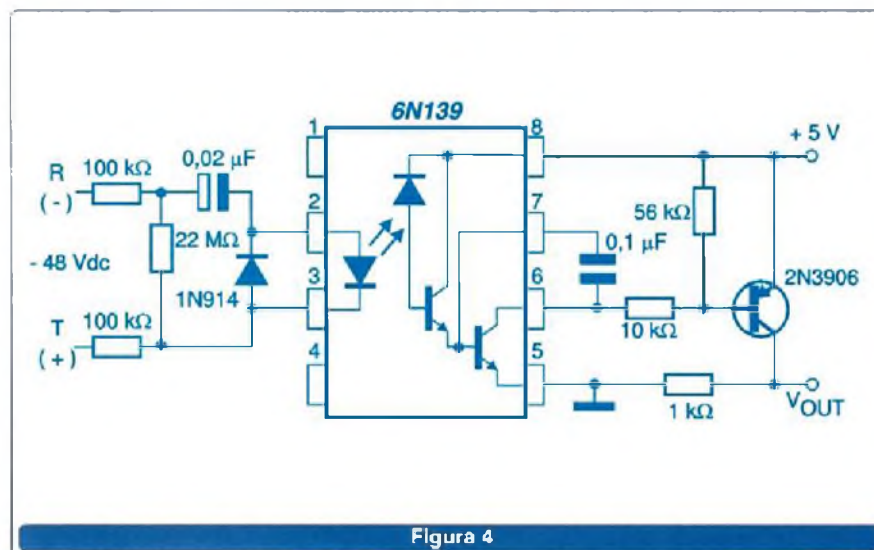


Figura 4

LITERATURA TÉCNICA

RS 60,00

Redes de Alta Velocidade Cabeamento Estruturado

Autores: Vicente Soares Neto, Adelson de Paula Silva e Mário Boscato C. Júnior - 304 pág.

As redes de alta velocidade somente poderão ter sucesso quando, suportadas pela tecnologia de Cabeamento Estruturado. Este livro, pela sua própria concepção, não tem por objetivo um caráter conclusivo, mas sim possibilitar aos profissionais da área, estudantes e professores uma linha de aprendizado básico e sistemático sobre o assunto. Na sua essência, o livro abrange de forma atual a teoria básica para o Cabeamento Estruturado, os pontos relativos ao planejamento e projeto, bem como os cuidados que devem ser tomados quanto à instalação, operação e manutenção desses sistemas.



RS 64,00

Telecomunicações Evolução e Revolução

Autor: Antonio Martins Ferrari - 328 pág.

O principal objetivo do autor com este livro é ampliar os conhecimentos dos leitores sobre Telecomunicações, tornando acessíveis os principais conceitos e idéias. Parte de um breve resumo da evolução histórica das telecomunicações e se desenvolve agregando progressivamente ingredientes com maiores detalhes. Abrange: Telegrafia, Telex, Telefonia, Rede Telefônica, Tráfego, Central Comutadora, Sistemas Eletromecânicos e Híbridos, Ambiente de Rede, Evolução do SPC, Multiplexação, Tarifação, Projeto de Rotas Ópticas, Telefonia Móvel, Telefones sem fio, ISDN e Internet, Comunicações Empresariais, Terminais Telefônicos, CATV entre outros.



RS 51,00

MONTAGEM, MANUTENÇÃO E CONFIGURAÇÃO DE COMPUTADORES PESSOAIS

Autor: Edson D'Avila - 240 pág.

Este livro contém informações detalhadas sobre montagem de computadores pessoais. Destina-se aos leitores que se interessam pela Informática. É um ingresso para o fascinante mundo do Hardware dos Computadores Pessoais. Seja um integrador. Monte seu computador de forma personalizada e sob medida. As informações estão baseadas nos melhores produtos de informática. Ilustrações com detalhes irão ajudar no trabalho de montagem, configuração e manutenção. Escrito numa linguagem simples e objetiva, permite que o leitor trabalhe com computadores pessoais em pouco tempo. Anos de experiência profissional são apresentados de forma clara e objetiva.



RS 44,00

TELEFONIA E CABEAMENTO DE DADOS

Autor: Valter Lima - 216 pág.

Existe diferença entre os cabos de uma rede ponto a ponto e de uma rede cliente servidor? Como ligar uma extensão de um ramal ou linha telefônica? Como contar os pares de um cabo telefônico e identificar uma linha entre as várias instaladas em um edifício residencial ou comercial? Quais são os acessórios e ferramentas do instalador de redes telefônicas e de computadores, e como utilizá-los? Estes são apenas alguns dos temas tratados nesse livro, o qual abrange desde os princípios básicos de telefonia fixa até a instalação e programação de uma central telefônica de PABX, além de técnicas de manutenção e dos principais tópicos e dicas para instalação de uma rede de dados e conexão a Internet.



RS 71,00

TEORIA E DESENVOLVIMENTO DE PROJETOS DE CIRCUITOS ELETRÔNICOS

Autores: Antônio Marco Vicari Cipelli, Waldir João Sandrini e Otávio Markus - 464 pág.

Este livro apresenta os principais dispositivos eletrônicos discretos e integrados, desde os seus princípios de funcionamento até suas principais especificações técnicas. Dentre eles, estão os diodos (zener e retificadores controlado e não controlado), transistores (bipolar, FET E UJT), sensores (PTC, NTC e LDR), reguladores de tensão, amplificador operacional, temporizador e amplificador integrado.

Para cada dispositivo, são apresentadas as suas principais aplicações e métodos de projeto dos circuitos que os empregam, principalmente as diversas configurações de fonte de alimentação e amplificadores transistorizados.



PEDIDOS

SABER-MARKETING-DIRETO

Disque e Compre (11) 6195-5330, no site www.sabermarketing.com.br ou verifique as instruções na solicitação de compra da página 61.

Preços válidos até 10/08/2003



REMETEMOS PELO CORREIO
PARA TODO O BRASIL

LITERATURA TÉCNICA

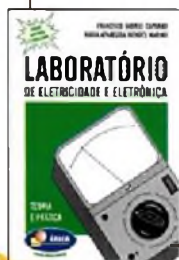
LABORATÓRIO DE ELETRICIDADE E ELETRÔNICA

R\$ 63,00

Autores: Francisco Gabriel Capuano e Maria Aparecida Mendes Mariano - 312 pág.

Este livro aborda as principais teorias, experiências e projetos necessários para o aprendizado de Eletricidade e Eletrônica Básica. Apresenta uma seqüência evolutiva de experiências, utilizando equipamentos e componentes facilmente encontrados, possibilitando, assim, a aprendizagem com o desenvolvimento prático dos assuntos abordados. Além disso, o livro mostra o uso de equipamentos indispensáveis às atividades práticas referentes à área, tais como: o multímetro, o osciloscópio e o gerador de funções. Possui exemplos resolvidos e exercícios propostos, essenciais para a complementação dos conhecimentos, proporcionando uma melhor assimilação conceitual.

Nas experiências pertinentes ao campo da Eletrônica, o livro possibilita o entendimento e desenvolvimento de circuitos de grande aplicabilidade prática, tais como: amplificadores de pequenos sinais e fontes estabilizadas de tensão e corrente.



ELEMENTOS DE ELETRÔNICA DIGITAL

R\$ 71,00

Autores: Francisco Gabriel Capuano e Ivan Valeije Idoeta - 552 Pág.

Esta Atualização do "Elementos de Eletrônica Digital" objetiva principalmente atender às recentes inovações tecnológicas dessa área. Continuando com uma abordagem didática, simples e objetiva, e com uma apresentação dos conceitos adequada à atual realidade de ensino, aborda: Sistemas de Numeração; Funções e Portas Lógicas; Álgebra de Boole e Simplificação de Circuitos Lógicos; Circuitos Combinacionais; Flip-Flops, Registradores e Contadores; Conversores; Famílias de Circuitos Lógicos. Possui exercícios resolvidos, propostos, reformulados, além de suas respostas.



R\$ 53,00

APLICAÇÕES PRÁTICAS DO MICROCONTROLADOR 8051

Autor: Vidal Pereira da Silva Jr. - 300 Pág.

O 8051, microcomputador de um só chip, é estudado de forma completa, desde uma introdução acessível aos iniciantes de área até exemplos completos de hardware e software com teclados, LCD, saída para impressora, conversão A/D e D/A e outros, com ênfase nos programas escritos em *assembler* e em "C".



R\$ 63,00

CIRCUITOS DIGITAIS

Autores: Antônio Carlos de Lourenço, Eduardo Cesar Alves Cruz, Sabrina Rodero Ferreira e Salomão Choueri Júnior - 344 Pág.

Em uma abordagem prática e didática, o livro propõe iniciar os estudantes em Eletrônica, Informática Industrial, Eletroeletrônica e Eletrotécnica na área da Eletrônica Digital. Começando com os sistemas numéricos e a lógica, o estudante entra no mundo dos circuitos combinacionais e seqüenciais, desenvolvendo projetos de circuitos dedicados e de aplicações práticas aumentando, gradativamente, seu potencial de análise lógica e criatividade, dando os subsídios necessários para o estudo dos microprocessadores e computadores.



AUTOMAÇÃO ELETROPNEUMÁTICA

R\$ 39,00

Autores: Nelson Gauze Bonacorso e Valdir Noll - 160 Pág.

Este livro é indicado aos alunos técnicos e universitários, e aos profissionais que atuam na área de Automação Industrial.

O Livro fornece subsídios teóricos e práticos, descrevendo todos os elementos dos processos eletropneumáticos, proporcionando a capacidade de entender, dar manutenção e projetar sistemas automatizados. Inclui o método seqüencial, utilizado para o projeto dos sistemas de automação em processos eletropneumáticos.



PEDIDOS

SABER-MARKETING-DIRETO

Disque e Compre (11) 6195-5330, no site www.sabermarketing.com.br ou verifique as instruções na solicitação de compra da página 61.

REMETEMOS PELO CORREIO
PARA TODO O BRASIL

Preços válidos até 10/08/2003

RL (ohms)	Rin (ohms)	IF (mA)	f(máx) (kHz)
2200	1800	1,7	40
270	390	8	125
100	180	17	250

6. CIRCUITO DE MANUSEIO GANHO/VELOCIDADE

O circuito ilustrado na **figura 6** tem elementos para se obter o máximo de ganho com a máxima velocidade.

Fixando-se o ganho e a velocidade, o circuito pode ser usado em diversas aplicações.

A tabela dada a seguir fornece valores típicos para o desempenho do circuito:

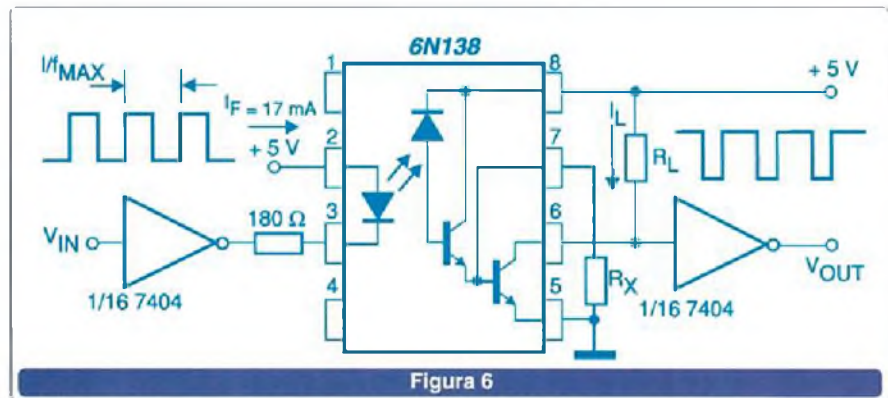
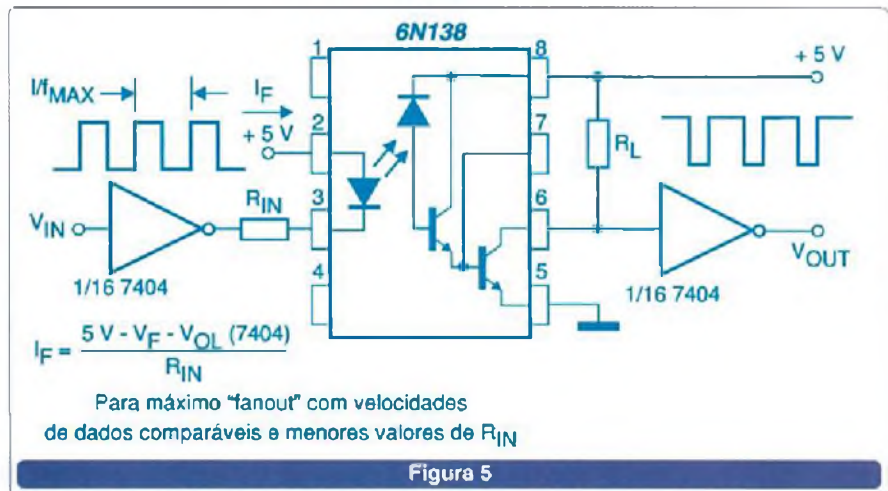
Rx (ohms)	RL (ohms)	IL (mA)	f(máx) kHz
nenhum	100	48	250
820	1000	4,6	680

7. RECEPTOR DE LINHA DE 1600 M

Na **figura 7** temos um circuito para receptor de linha (par trançado) com possibilidade de interligar estações até a 5000 pés (aproximadamente 1.600 metros).

A saída é compatível com lógica TTL standard e a velocidade de transmissão pode chegar aos 40 kB/s.

O circuito tem uma rejeição em modo comum e um isolamento de 2 500 V para a frequência da rede de energia de 60 Hz.



8. INDICADOR DE STATUS DE ALTA TENSÃO

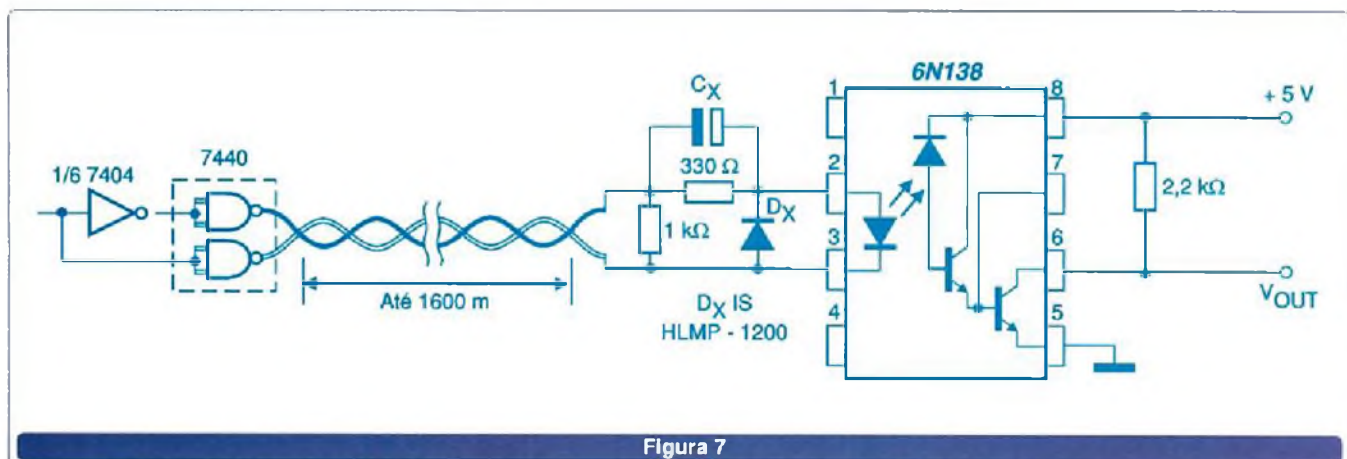
O circuito mostrado na **figura 8** pode ser usado como indicador de presença de alta tensão em uma linha de alimentação de qualquer tipo.

A operação pode ser feita tanto a partir de tensões contínuas quanto alternadas, cujo valor determina o

resistor Rs, conforme a seguinte tabela.

V (Vds) ou Vac (rms)	Rs	V x If (mW)
24	47 k ohms	11
48	100 k ohms	22
117	220 k ohms	62
230	470 k ohms	113

A saída do circuito é compatível com lógica TTL.



Para tensões alternadas, o diodo em paralelo com o LED deve ser acrescentado.

9. ISOLAÇÃO PARA EQUIPAMENTOS MÉDICOS

O circuito ilustrado na **figura 9** é indicado para aplicações médicas onde o setor em contato com o paciente deve ficar completamente isolado do restante do circuito alimentado pela rede de energia.

O consumo desta etapa é muito baixo e o isolamento para a rede de energia de 60 Hz é de 2 500 V. O circuito pode operar tanto com sinais analógicos como digitais.

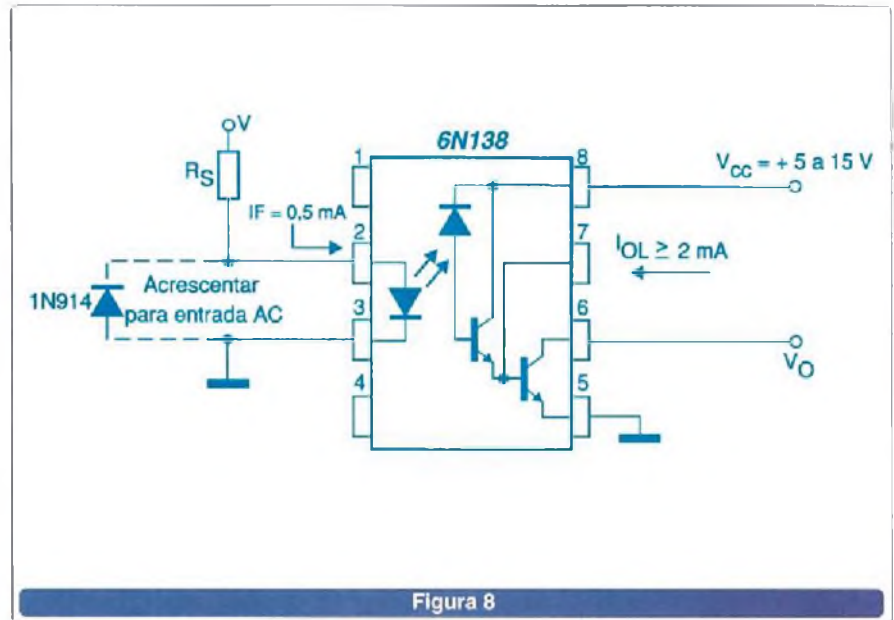


Figura 8

10. DARLINGTON CONVENCIONAL

Finalmente, temos na **figura 10** a configuração do circuito como um Darlington convencional.

Nesta configuração não há necessidade de circuito de polarização. A velocidade de transferência de dados é de 2 kB/s e a tensão do sinal de saída oscila entre 1 e 5 V.

CONCLUSÃO

Isoladores ópticos com alto ganho, semelhantes aos que usam transistores na configuração Darlington podem ser utilizados em muitos projetos onde sinais devam ser isolados de duas etapas.

A vantagem dos isoladores que empregam transistores de alto ganho, como os 6N138/9 da Agilent, está no elevado ganho obtido que dispensa o uso de etapas amplificadoras externas em muitas aplicações.

Mesmo no caso em que essas etapas são necessárias, elas podem ser sensivelmente simplificadas pela intensidade do sinal que já é conseguido do isolador.

Mais informações sobre os isoladores abordados neste artigo podem ser obtidas em: www.semiconductor.agilent.com.

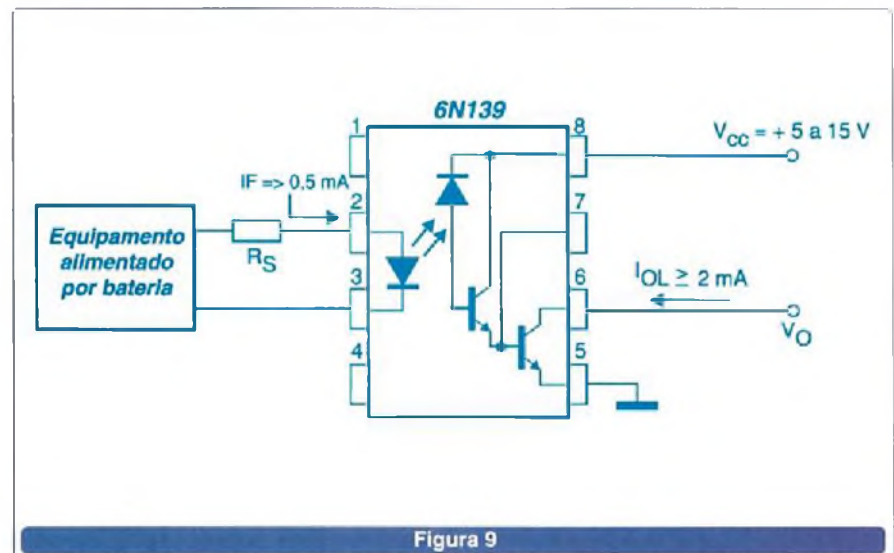


Figura 9

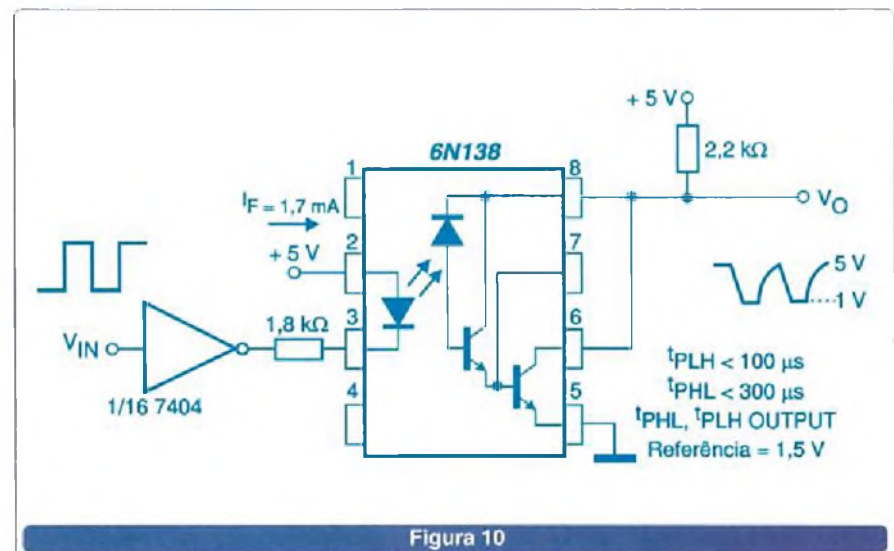


Figura 10

GANHE DINHEIRO COM MANUTENÇÃO

Filmes de Treinamento em fitas de vídeo
Uma coleção do Prof. Sergio R. Antunes
Fitas de curta duração com imagens
Didáticas e Objetivas

APOSTILAS

*05 - SECRETÁRIA EL. TEL. SEM FIO.....	26,00
*06 - 99 DEFEITOS DE SECR./TEL S/FIO.....	31,00
*08 - TV PB/CORES: curso básico.....	31,00
*09 - APERFEIÇOAMENTO EM TV EM CORES.....	31,00
*10 - 99 DEFEITOS DE TVPB/CORES.....	26,00
*11 - COMO LER ESQUEMAS DE TV.....	31,00
*12 - VIDEOCASSETE - curso básico.....	38,00
16 - 99 DEFEITOS DE VIDEOCASSETE	26,00
*20 - REPARAÇÃO TV/VCR C/OSCILOSCÓPIO.....	31,00
*21 - REPARAÇÃO DE VIDEOGAMES.....	31,00
*23 - COMPONENTES: resistor/capacitor.....	26,00
*24 - COMPONENTES: indutor, trafo cristais.....	26,00
*25 - COMPONENTES: diodos, tiristores.....	26,00
*26 - COMPONENTES: transistores, Cls.....	31,00
*27 - ANÁLISE DE CIRCUITOS (básico).....	26,00
*28 - TRABALHOS PRÁTICOS DE SMD.....	26,00
*30 - FONTE DE ALIMENTAÇÃO CHAVEADA.....	26,00
*31 - MANUSEIO DO OSCILOSCÓPIO.....	26,00
*33 - REPARAÇÃO RÁDIO/ÁUDIO (EI. Básica).....	31,00
34 - PROJETOS AMPLIFICADORES ÁUDIO.....	31,00
*38 - REPARAÇÃO APARELHOS SOM 3 EM 1.....	26,00
*39 - ELETRÔNICA DIGITAL - curso básico.....	31,00
40 - MICROPROCESSADORES - curso básico.....	31,00
46 - COMPACT DISC PLAYER - cursos básico.....	31,00
*48 - 99 DEFEITOS DE COMPACT DISC PLAYER.....	26,00
*50 - TÉC. LEITURA VELOZ/MEMORIZAÇÃO.....	31,00
69 - 99 DEFEITOS RADIOTRANSCETORES.....	31,00
*72 - REPARAÇÃO MONITORES DE VÍDEO.....	31,00
*73 - REPARAÇÃO IMPRESSORAS.....	31,00
*75 - DIAGNÓSTICOS DE DEFEITOS DE TELEVISÃO.....	31,00
*81 - DIAGNÓSTICOS DE DEF EM FONTES CHAVEADAS.....	31,00
*85 - REP DE COMPUTADORES IBM 486/PENTIUM.....	31,00
*86 - CURSO DE MANUTENÇÃO EM FLIPERAMA.....	38,00
87 - DIAGNÓSTICOS EM EQUIPAMENTOS MULTIMÍDIA.....	31,00
*88 - ÓRGÃOS ELETRÔNICOS - TEORIA E REPARAÇÃO.....	31,00
*94 - ELETRÔNICA IND. SEMICOND. DE POTÊNCIA.....	31,00

(*) - Estas apostilas são as mesmas que
acompanham as fitas de vídeo

Adquira já estas apostilas contendo uma série
de informações para o técnico reparador e estudante.

Autoria e responsabilidade do
prof. Sergio R. Antunes.

TÍTULOS DE FILMES DA ELITE MULTIMÍDIA

M01 - CHIPS E MICROPROCESSADORES
M02 - ELETROMAGNETISMO
M03 - OSCILOSCÓPIOS E OSCIOGRAMAS
M04 - HOME THEATER
M05 - LUZ, COR E CROMINÂNCIA
M06 - LASER E DISCO ÓPTICO
M07 - TECNOLOGIA DOLBY
M08 - INFORMÁTICA BÁSICA
M09 - FREQUÊNCIA, FASE E PERÍODO
M10 - PLL, PSC E PWM
M11 - POR QUE O MICRO DÁ PAU
M13 - COMO FUNCIONA A TV
M14 - COMO FUNCIONA O VIDEOCASSETE
M15 - COMO FUNCIONA O FAX
M16 - COMO FUNCIONA O CELULAR
M17 - COMO FUNCIONA O VIDEOGAME
M18 - COMO FUNCIONA A MULTIMÍDIA (CD-ROM/DVD)
M19 - COMO FUNCIONA O COMPACT DISC PLAYER
M20 - COMO FUNCIONA A INJEÇÃO ELETRÔNICA
M21 - COMO FUNCIONA A FONTE CHAVEADA
M22 - COMO FUNCIONAM OS PERIFÉRICOS DE MICRO
M23 - COMO FUNCIONA O TEL. SEM FIO (900MHZ)
M24 - SISTEMAS DE COR NTSC E PAL-M
M25 - EQUIPAMENTOS MÉDICO HOSPITALARES
M26 - SERVO E SYSCON DE VIDEOCASSETE
M28 - CONSERTOS E UPGRADE DE MICROS
M29 - CONSERTOS DE PERIFÉRICOS DE MICROS
M30 - COMO FUNCIONA O DVD
M36 - MECATRÔNICA E ROBÓTICA
M37 - ATUALIZE-SE COM A TECNOLOGIA MODERNA
M51 - COMO FUNCIONA A COMPUTAÇÃO GRÁFICA
M52 - COMO FUNCIONA A REALIDADE VIRTUAL
M53 - COMO FUNCIONA A INSTRUMENTAÇÃO BIOMÉDICA
M54 - COMO FUNCIONA A ENERGIA SOLAR
M55 - COMO FUNCIONA O CELULAR DIGITAL (BANDA B)
M56 - COMO FUNCIONAM OS TRANSISTORES/SEMICONDUCTORES
M57 - COMO FUNCIONAM OS MOTORES E TRANSFORMADORES
M58 - COMO FUNCIONA A LÓGICA DIGITAL (TTL/CMOS)
M59 - ELETRÔNICA EMBARCADA
M60 - COMO FUNCIONA O MAGNETRON
M61 - TECNOLOGIAS DE TV
M62 - TECNOLOGIAS DE ÓPTICA
M63 - ULA - UNIDADE LÓGICA DIGITAL
M64 - ELETRÔNICA ANALÓGICA
M65 - AS GRANDES INVENÇÕES TECNOLÓGICAS
M66 - TECNOLOGIAS DE TELEFONIA
M67 - TECNOLOGIAS DE VÍDEO
M74 - COMO FUNCIONA O DVD-ROM
M75 - TECNOLOGIA DE CABEÇOTE DE VÍDEO
M76 - COMO FUNCIONA O CCD
M77 - COMO FUNCIONA A ULTRASONOGRAFIA
M78 - COMO FUNCIONA A MACRO ELETRÔNICA
M81 - AUDIO, ACÚSTICA E RF
M85 - BRINCANDO COM A ELETRICIDADE E FÍSICA
M86 - BRINCANDO COM A ELETRÔNICA ANALÓGICA
M87 - BRINCANDO COM A ELETRÔNICA DIGITAL
M89 - COMO FUNCIONA A OPTOELETRÔNICA
M90 - ENTENDA A INTERNET
M91 - UNIDADES DE MEDIDAS ELÉTRICAS

Preço
R\$ 29,00
cada fita

Pedidos: Verifique as instruções de solicitação de compra da página 61 ou peça maiores informações pelo
TEL.: (11) 6195-5330 - Preços Válidos até 10/08/2003 (NÃO ATENDEMOS POR REEMBOLSO POSTAL)
SABER MARKETING DIRETO LTDA. Rua Jacinto José de Araújo, 309 CEP:03087-020 - São Paulo - SP

VÍDEO AULA

Método econômico e prático de treinamento, trazendo os tópicos mais importantes sobre cada assunto. Com a Vídeo Aula você não leva só um professor para casa, você leva também uma escola e um laboratório. Cada Vídeo Aula é composta de uma fita de videocassete e uma apostila para acompanhamento.

TELEVISÃO

- 006-Teoria de Televisão
- 007-Análise de Circuito de TV
- 008-Reparação de Televisão
- 009-Entenda o TV Estéreo/On Screen
- 035 Diagnóstico de Defeitos de Televisão
- 045-Televisão por Satélite
- 051-Diagnóstico em Televisão Digital
- 070-Teoria e Reparação TV Tela Grande
- 084-Teoria e Reparação TV por Projeção/Telão
- 086-Teoria e Reparação TV Conjugado com VCR
- 095-Tecnologia em CIs usados em TV
- 107-Dicas de Reparação de TV

LASER

- 014-Compact Disc Player-Curso Básico
- 034-Diagnóstico de Defeitos de CPD
- 042-Diag. de Def. de Video LASER
- 048-Instalação e Repar. de CPD auto
- 088-Reparação de Sega-CD e CD-ROM
- 091-Ajustes de Compact Disc e Video LASER
- 097-Tec. de CIs usados em CD Player
- 114-Dicas de Reparação em CDP/Video LASER

ÁREAS DIVERSAS DE ELETRÔNICA

- 016-Manuseio de Osciloscópio
- 021-Eletrônica Digital
- 023-Entenda a Fonte Chaveada
- 029-Administração de Oficinas
- 052-Recepção/Atendimento/Vendas/Orcamento
- 063-Diag. de Def. em Fonte Chaveada
- 065-Entenda Amplificadores Operacionais
- 085-Como usar o Multímetro
- 111-Dicas de Rep. de Fonte Chaveada
- 118-Reengenharia da Reparação
- 128-Automação Industrial
- 135-Válvulas Eletrônicas

TELEFONE CELULAR

- 049-Teoria de Telefone Celular
- 064-Diagnóstico de Defeitos de Tel. Celular
- 083-Como usar e Configurar o Telefone Celular
- 098-Tecnologia de CIs usados em Celular
- 103-Teoria e Reparação de Pager
- 117-Téc. Laboratorista de Tel. Celular

TECNOLOGIA DE VÍDEO DIGITAL

- 158 - Princípios essenciais do Vídeo Digital
- 159 - Codificação de sinais de Vídeo
- 160 - Conversão de sinais de Vídeo
- 161- Televisão digital - DTV
- 162 - Videocassete Digital
- 165 - Service Conversores de Satélite
- 175 - DAT - Digital Audio Tape

TELEFONIA

- 017-Secretária Eletrônica
- 018-Entenda o Tel. sem fio
- 071-Telefonia Básica
- 087-Repar. de Tel s/ Fio de 900MHz
- 104-Teoria e Reparação de KS (Key Phone System)
- 108-Dicas de Reparação de Telefonia

MICRO E INFORMÁTICA

- 022-Reparação de Microcomputadores
- 024-Reparação de Videogame
- 039-Diagn. de Def. Monitor de Vídeo
- 040-Diagn. de Def. de Microcomp.
- 041-Diagnóstico de Def. de Drives
- 043-Memórias e Microprocessadores
- 044-CPU 486 e Pentium
- 050-Diagnóstico em Multimídia
- 055-Diagnóstico em Impressora
- 068-Diagnóstico de Def. em Modem
- 069-Diagn. de Def. em Micro Apple
- 076-Informática p/ Iniciantes: Hard/Software
- 080-Reparação de Fliperama
- 082-Inicição ao Software
- 089-Teoria de Monitor de Vídeo
- 092-Tec. de CIs Família Lógica TTL
- 093-Tecnologia de CIs Família Lógica C-CMOS
- 100-Tecnol. de CIs-Microprocessadores
- 101-Tec. de CIs-Memória RAM e ROM
- 113-Dicas de Repar. de Microcomput.
- 116-Dicas de Repar. de Videogame
- 133-Reparação de Notebooks e Laptops
- 138-Reparação de No-Breaks
- 141-Rep. Impressora Jato de Tinta
- 142-Reparação Impressora LASER
- 143-Impressora LASER Colorida

COMPONENTES ELETRÔNICOS E ELETR. INDUSTRIAL

- 025-Entenda os Resistores e Capacitores
- 026-Ent. Indutores e Transformadores
- 027-Entenda Diodos e Tiristores
- 028-Entenda Transistores
- 056-Meções de Componentes Eletrônicos
- 060-Uso Correto de Instrumentação
- 061-Retrabalho em Dispositivo SMD
- 062-Eletrônica Industrial (Potência)
- 066-Simbologia Eletrônica
- 079-Curso de Circuitos Integrados

VIDEOCASSETE

- 001-Teoria de Videocassete
- 002-Análise de Circuitos de Videocassete
- 003-Reparação de Videocassete
- 004-Transcodificação de Videocassete
- 005-Mecanismo VCR/Video Hi-Fi
- 015-Câmera/Concordes-Curso Básico
- 036-Diagnóstico de defeitos-Parte Elétrica do VCR
- 037-Diagnóstico de Defeitos-Parte Mecânica do VCR
- 054-VHS-C e 8 mm
- 057-Uso do Osciloscópio em Rep. de TV e VCR
- 075-Diagnósticos de Def. em Camcorders
- 077-Ajustes Mecânicos de Videocassete
- 078-Novas Téc. de Transcodificação em TV e VCR
- 096-Tecnologia de CIs usados em Videocassete
- 106-Dicas de Reparação de Videocassete

FAC-SÍMILE (FAX)

- 010-Teoria de FAX
- 011-Análise de Circuitos de FAX
- 012-Reparação de FAX
- 013-Mecanismo e Instalação de FAX
- 038-Diagnóstico de Defeitos de FAX
- 046-Como dar manutenção FAX Toshiba
- 090-Como Reparar FAX Panasonic
- 099-Tecnologia de CIs usados em FAX
- 110-Dicas de Reparação de FAX
- 115-Como reparar FAX SHARP

ÁUDIO E VÍDEO

- 019-Rádio Eletrônica Básica
- 020-Radiotransceptores
- 033-Áudio e Anál. de Circ. de 3 em 1
- 047-Home Theater
- 053-Órgão Eletrônico (Teoria/Rep.)
- 058-Diagnóstico de Def. de Tape Deck
- 059-Diagn. de Def. em Rádio AM/FM
- 067-Reparação de Toca Discos
- 081-Transceptores Sintetizados VHF
- 094-Tecnologia de CIs de Audio
- 105-Dicas de Defeitos de Rádio
- 112-Dicas de Reparação de Áudio
- 119-Anál. de Circ. Amplif. de Potência
- 120-Análise de Circuito Tape Deck
- 121-Análise de Circ. Equalizadores
- 122-Análise de Circuitos Receiver
- 123-Análise de Circ. Sint. AM/FM
- 136-Conserto Amplificadores de Potência

ELETROTÉCNICA E REFRIGERAÇÃO

- 030-Rep. de Forno de Microondas
- 072-Eletr. de Auto - Ignição Eletrônica
- 073-Eletr. de Auto - Injeção Eletrônica
- 109-Dicas de Rep. de Forno de Microondas
- 124-Eletricidade Bas. p/ Eletrotécnicos
- 125-Reparação de Eletrodomésticos
- 126-Inst. Elétricas Residenciais
- 127-Instalações Elétricas Industriais
- 129-Reparação de Refrigeradores
- 130-Reparação de Ar Condicionado
- 131-Rep. de Lavadora de Roupa
- 132-Transformadores
- 137-Eletrônica aplicada à Eletrotécnica
- 139-Mecânica aplicada à Eletrotécnica
- 140-Diagnóstico - Injeção Eletrônica

PEDIDOS: Disque e Compre (11) 6195-5330,

no site www.sabermarketing.com.br

Verifique as instruções na solicitação de compra da página 61.

PREÇO: Somente R\$ 65,00 cada Vídeo Aula + Apostilas

Preços válidos até 10/08/2003

TV Digital: a polêmica está lançada

Sérgio Vieira

Há pelo menos três anos desenrola-se no meio técnico e político uma batalha para saber qual será o padrão de TV Digital a ser adotado no Brasil. No páreo, três sistemas brigavam até o ano passado para ser o único sistema de transmissão no país: ATSC - Advanced Television Standard Committee (americano), DVB-T - Digital Video Broadcasting - Terrestrial (europeu) e ISDB-T - Integrated Services Digital-Terrestrial (japonês). Até o último dia do governo Fernando Henrique Cardoso esses três sistemas encostaram o governo brasileiro pedindo uma definição quanto ao padrão a ser escolhido. Eles só não contavam com a surpresa anunciada pelo atual ministro das comunicações Miro Teixeira: E se o Brasil tivesse um padrão próprio de transmissão?

De imediato, vários setores da comunidade lembraram quando o Brasil lançou o padrão PAL-M para videocassetes. Se batalha-se por um sistema próprio de transmissão, o país ficaria isolado do resto do mundo e fecharia as portas para a exportação de equipamentos de vídeo. Mas, mais uma vez, ninguém contava com outra variável na história: China e Argentina mostraram interesse em participar junto com o Brasil na elaboração de um padrão para os três países. Foi então que o governo brasileiro começou a desencostar da parede e se sentir menos pressionado nessa questão.

A primeira vista, a discussão em torno do tema parece uma questão puramente técnica. Mas, por trás das propostas dos interessados estão os royalties a serem pagos para o detentor da tecnologia adotada no país. Detalhe: os royalties são pagos tanto pelas emissoras de TV como pelos aparelhos receptores. Fazendo uma conta rápida, pagando-se R\$ 20 por aparelho a cifra ultrapassa a cada de R\$ 1 bilhão, fora o que virá das emissoras.

A conta mais detalhada desses royalties, com certeza, já deve ter sido feita pelo Ministério das Comunicações. Por esse motivo, o ministro Miro Teixeira encomendou ao CPqD - Centro de Pesquisas e Desenvolvimento em Telecomunicações - e ao Instituto Genius da Gradiente um estudo sobre a possibilidade de desenvolver, em território nacional, um sistema que pudesse agregar o melhor de cada uma das tecnologias existentes relativo ao áudio, vídeo, multiplexação, interatividade e transmissão. Segundo informações divulgadas pelo CPqD, o trabalho caminha no sentido de inventar um sistema que seja ao mesmo tempo flexível na implantação, robusto para transmissões difíceis e, principalmente, que permita a inclusão digital de 47% dos televisores instalados hoje porque não possuem antena externa. O projeto é implantar um sistema SDTV - alta definição, múltiplos canais e interatividade - para depois partir para um sistema HDTV com interatividade plena. A pesquisa em busca de um sistema nacional prevê a mudança imediata do decreto de política de TV Digital assinado por Fernando Henrique Cardoso no final do seu mandato. O novo decreto estabelecerá condições para que o sistema brasileiro de transmissão recebesse apoio de pesquisa. Também está prevista a criação de um novo grupo governamental de trabalho para estabelecer as especificações técnicas do sistema. Só depois é que seria elaborado um projeto de desenvolvimento tecnológico.

Na avaliação do CPqD e do Instituto Genius, o desenvolvimento tecnológico custaria cerca de R\$100 milhões, recursos que poderão ser aportados pelo Funttel e também pela iniciativa privada interessada em participar do projeto.

A adequação das linhas de produção de equipamentos de transmissão e de recepção custaria outros R\$ 300 milhões. As emissoras brasileiras gastariam mais R\$ 350 milhões na adequação de seus estúdios e mais R\$ 870 milhões seriam gastos nos transmissores.

A Eletros - Associação Nacional de Fabricantes de Produtos Eletroeletrônicos, que patrocinou os primeiros testes em São Paulo com os três sistemas internacionais, reconhece que a tecnologia de recepção COFDM (padrão europeu e japonês) apresentou melhor performance. A entidade também acredita que devem fazer parte das discussões: que o consumidor possa adquirir uma TV Digital assim como adquire uma TV Analógica; conseqüências para a economia nacional, especialmente quanto a balanços de divisas e comercial, assim como o fomento da indústria nacional; e evolução da tecnologia a ser implementada e suas conseqüências nos produtos.

Já a ABTA - Associação Brasileira de TV por Assinatura, através de comunicado à imprensa, diz que não pretende entrar na discussão sobre qual o melhor sistema de TV digital para o país. No entanto, a entidade aproveita o momento das discussões sobre o tema para tentar fazer com que as empresas de TV por assinatura obtenham alguma vantagem, com a introdução da nova tecnologia na TV aberta.

“Uma das nossas propostas é facilitar esta penetração através da infra-estrutura já montada das TV a cabo. A idéia é sugerir que as emissoras utilizem esta infra-estrutura para distribuição dos sinais. Isso, certamente, facilitaria a penetração”, diz no comunicado o diretor de tecnologia da entidade, Antônio João Filho. A entidade também sugere o desenvolvimento de decodificadores de múltiplo uso.

Como se vê, vários setores da sociedade já manifestaram alguma opinião sobre o tema, mas em boa parte das entrevistas com especialistas, um quesito é pouco explorado: A TV Digital ainda não vingou na Europa, Japão e muito menos nos Estados Unidos. Nesses lugares menos que 5% dos aparelhos domésticos estão recebendo sinais de transmissão em sistema digital.

Tropeço do ATSC

O primeiro teste para conhecer melhor os três sistemas internacionais foi patrocinado pela Abert - Associação Brasileira de Emissoras de Rádio e Televisão - e a SET - Sociedade Brasileira de Engenharia de Televisão - nas instalações da faculdade Makenzie.

Um desses testes é o chamado “êxito por distância”, onde é analisado a porcentagem de assinantes que deixam de receber o sinal da emissora a uma certa distância. O sistema ATSC apresentou alguns problemas porque possui, como principal característica, o atendimento a grandes distâncias. Numa faixa de três quilômetros o índice de atendimento a residências foi de 80%. Os demais sistemas apresentaram índice de 100%. Em outro teste, conhecido como Efeito Doppler ou Refração, o sistema ATSC apresentou outros problemas. Esse teste avalia a capacidade de um sinal se refletir em um objeto em movimento e retornar criando interferências ou até tirando o canal do ar. “Nos testes de campo feitos próximos às estações ferroviárias, toda vez que passava um trem, o ATSC perdia a imagem”, disse Eduardo Bicudo, diretor de ensino da Set.

Furukawa recebe prêmio pela segunda vez

Pelo segundo ano consecutivo, a Furukawa recebeu o prêmio de qualidade internacional do Ministério do Desenvolvimento, Indústria e Comércio em parceria com a Agência de Promoção e Exportações (Apex) e o Instituto de Pesquisas Tecnológicas de São Paulo (IPT). Dessa vez, o cabo óptico CFOA-SM-DD-S foi o responsável pelo selo de qualidade Brasil Premium. Ele é totalmente dielétrico, que representa uma evolução dos cabos "geleados", pois substitui a geléia do núcleo por um componente químico chamado SAP (Super Absorbent Power). Este componente "infla"

quando está em contato com a água, bloqueando e protegendo o núcleo em casos de acidentes. A tecnologia permite obter cabos mais leves e de menor diâmetro, que imprimem vantagens durante as instalações aéreas e subterrâneas, além do fato de apresentar uma redução nos tempos de preparação de emendas em campo, por eliminar o tempo usado na limpeza da geléia usada nos cabos convencionais. "Este prêmio é o reconhecimento da excelente qualidade e inovação das soluções Furukawa", comentou Foad Shaikhzadeh, presidente da Furukawa.

LEDs Ultrabrilhantes Para Montagem em Superfície são Ideais Para Aplicações Automotivas

Os novos LEDs da Fairchild são fornecidos em encapsulamento PLCC-4 para montagem em superfície, apresentando um desempenho ideal para iluminação de painéis de automóveis.

A série de LEDs QTLP673 está disponível nas cores amarela, amarelo-laranja, vermelha, e laranja com intensidades luminosas de 700 a 800 mcd. Os tipos verde e cian possuem brilhos de 920 mcd e o azul tem um brilho de 178 mcd.

Esses componentes medem apenas 3,2 mm x 3,8 mm com uma altura de apenas 1,8 mm.

Mais informações em: www.fairchildsemi.com/whats_new/QTLP673C_nph.html



LDO de Baixa Queda de Tensão em 300 mA, da Vishay Siliconix

A Vishay Siliconix está lançando dois novos reguladores de tensão de baixa queda de tensão (LDO), ambos em incólucros PowerPAK MLP33 de 3 mm x 3 mm.

Esses novos reguladores são projetados especialmente para serem usados em equipamentos alimentados por bateria, tais como telefones celulares, equipamentos sem fio e modems, PDAs, notebooks, pagers, câmeras digitais, etc.

Os novos reguladores podem dissipar até 1,2 W com correntes de saída de pico de até 400 mA. Os novos tipos, denominados Si91871 e Si91872, estão disponíveis em 14 tensões de saída fixas entre 1,2 e 5,0 V.

A precisão de saída desses dispositivos é de 1,5% e o tempo de partida é ultra-rápido, da ordem de 60 μ s.

Ambos os dispositivos utilizam MOSFETs de canal N com uma $R_{ds(on)}$ de 100 mohms.

A resposta aos transientes é muito rápida, menor do que 30 μ s.

Mais informações em: www.vishay.com

Fairchild Anuncia os Primeiros MOSFETs de Canal N em Invólucro SSOT-6

A Fairchild Semiconductor International anunciou os novos MOSFETs: FDC796N para 30 V, com 9 mohms de R_{ds} , e o FDC3616 de 100 V com 70 mohms de R_{ds} com capacidade de dissipação de 1,8 W.

Esses novos componentes encontram-se disponíveis nos invólucros SuperSOT (tm) e FLMP (Flipchip in a Leaded Molded Package).

O benefício principal obtido com o uso deste tipo de invólucro está na ocupação de um espaço 70% menor do que os invólucros SO-8.

Imagem em: http://www.fairchildsemi.com/graphics/news/fdc796n_3616n_600x750.jpg



International Rectifier Introduz IGBTs NPT em Invólucros Isolados

Projetados para o controle de movimento, os novos IGBTs em invólucro TO-220 totalmente isolados, foram especificados para operação em 600 V com 2 kV de isolamento.

Os novos dispositivos podem operar com frequência de modulação de até 20 kHz, sendo indicados para aplicações de alta potência como lavadoras de roupas, condicionadores de ar e equipamentos industriais motorizados com potências de até 2,5 kW.

As correntes especificadas para os tipos disponíveis são de 8 A, 10 A e 15 A.

Mais informações em: www.irf.com/whats-new/nr030529.html



Controlador "Hot Swap" da Micrel

O novo controlador MIC2583R, da Micrel, tem uma proteção contra surtos de 20 V, opera com tensões tão baixas quanto +2,5 V e dispõe de dois níveis de proteção contra falhas, impedindo que oscilações rápidas sejam detectadas como curto-circuitos.

Esse novo componente é fornecido em invólucro QSOP-16.

Dentre as aplicações para esses novos componentes, a Micrel sugere roteadores, sistemas RAID, comutadores de telecomunicações e protetores de circuitos.

Mais informações em www.micre.com

LEDs SMD Ultrabrilhantes da Vishay

Quatro LEDs excepcionalmente brilhantes para montagem em superfície, alcançando intensidades de 1250 mcd com 50 mA de corrente foram apresentados pela Vishay Intertechnology.

Os novos produtos da série TLMx33xx são apresentados nas cores vermelha brilhante, supervermelha, laranja suave e amarela.

Os invólucros são do tipo PLCC-2 medindo apenas 3 mm x 2,8 mm.

Os comprimentos de onda para esses LEDs são 617 nm (vermelho), 605 nm (laranja suave) 588 nm (amarelo).

Mais informações em www.vishay.com.

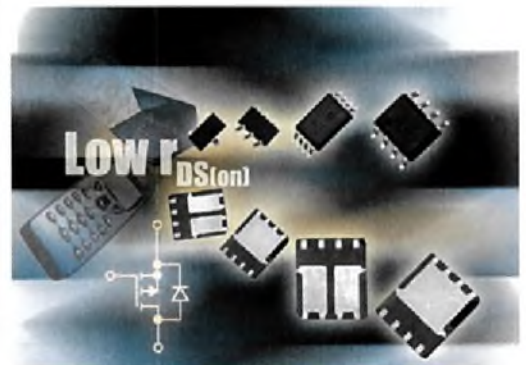


Siliconix Lança PowerFETs da Família TrenchFET em canal P

A Siliconix Incorporated apresentou uma nova família de Power MOSFETs de canal P com resistência $R_{ds(on)}$ tão baixa quanto 5 mohms. Esses novos componentes possibilitam uma redução considerável do tamanho da placa, uma vez que são disponíveis em invólucros SO-8, além de TSSOP-8, TSOP-6 e SOT23.

Alguns novos dispositivos dessa série são o Si7407DN, Si3483DV, Si4423DY, Si7451DP, Si6413DQ e Si2333Ds.

Mais informações podem ser obtidas em www.vishay.com



GRÁTIS

CATÁLOGO DE ESQUEMAS E DE MANUAIS DE SERVIÇO

Srs. Técnicos, Hobbystas, Estudantes, Professores e Oficinas do ramo, recebam em sua residência sem nenhuma despesa. Solicitem inteiramente grátis a

ALV Apoio Técnico Eletrônico

Caixa Postal 79306 - São João de Meriti - RJ
CEP.: 25501-970 ou pelo Tel.: (21) 2756-1013

Solicitação de Compra

Para um bom atendimento, siga estas instruções:

COMO PEDIR

Faça seu pedido preenchendo esta solicitação, dobre e coloque-a em qualquer caixa do correio. Não precisa selar.

VALOR A SER PAGO

Após preencher o seu pedido, some os valores das mercadorias e acrescente o valor da postagem e manuseio, achando assim o valor a pagar.

COMO PAGAR - escolha uma opção:

- **Cheque** = Envie cheque nominal à **Saber Marketing Direto Ltda.** no valor total do pedido. Caso não tenha conta bancária, dirija-se a qualquer banco e faça um cheque administrativo.
- **Vale Postal** = Dirija-se a uma agência do correio e envie um vale postal no valor total do pedido, a favor da **Saber Marketing Direto Ltda.**, pagável na agência Belenzinho - SP (não aceitamos vales pagáveis em outra agência)
- **Depósito Bancário** = Ligue para (11) 6942-8055 e peça informações. (não faça qualquer depósito sem antes ligar-nos)

OBS: Os produtos que fugirem das regras acima terão instrução no próprio anúncio.
Não atendemos por reembolso postal.

Pedido mínimo R\$ 25,00

SE362

VÁLIDO ATÉ 10/08/2003

Quantidade	Produtos	Valor R\$
Postagem e Manuseio		7,50
Valor total do pedido		

Assinale a sua opção:

- Estou enviando o cheque
 Estou enviando um vale postal
 Estou efetuando um depósito bancário

DATA: ___/___/___

Nome: _____

Endereço: _____

Bairro: _____ Fone para contato: _____

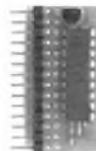
Cidade: _____ Estado: _____ CEP: _____

Profissão _____ CPF _____

Basic Step
O microcontrolador que fala a sua língua

Agora 2 X mais rápido

Comandos em português e inglês.
Linguagem Basic
8 entradas e saídas
Baixo consumo



Diversos artigos na Mecatrônica Fácil.
Compilador gratuito e fórum para troca de experiências na nossa homepage

Tato Equip. Eletrônicos (011) 5506-5335
http://www.tato.ind.br Rua Ipanhais, 164

MICROCONTROLADORES 8051

KITS DIDÁTICOS

para microcontroladores da família 8051, conversores serial RS-232 para RS-485, programas para (89C51, 89C52, 89S8252 e 89S53), Módulos GPS, Conversor Serial RS-232 para Ethernet.



Despachamos para todo o Brasil via SEDEX dos correios

ABC microcontrolador

Faça download de Datasheets no Site:
www.abcelectronics.com

Vendas On Line:
www.aldevan.com.br

SONALARME

TRANSDUTORES PIEZOACÚSTICOS E SINALIZADORES SONOROS



MODELOS ESPECIAIS DE BAIXO CONSUMO PARA USO COM MICROCONTROLADORES

DIGILECTRON

WWW.DIGILECTRON.COM.BR DDG 0800 17 25 75

KITS 8051, ATMEL

- Kit 8051 - R\$149,00*

Vem com ATMEL AT89S8252 com 8 K Flash e 2K de E2PROM, saídas serial RS 232 e I/O mapeado e grava ISP pela paralela do PC. (gravador do AT89S8252)- **Periféricos com I/O mapeado:**

- LCD* R\$ 59,00

- Fonte R\$ 23,00

- Teclado* (16 teclas) R\$ 38,00



"Microcontrolador 8051 Detalhado"

* NÃO INCLUI FONTE DE ALIMENTAÇÃO E DESPESAS DE ENVIO

**COMPRE PELO NOSSO SITE
WWW.MICROCONTROLADOR.COM.BR**

Microcontroladores **PIC**

Placa PicLab 5

com módulo ICD incorporado

Preço imbatível para um sistema ICD.

Documentação completa com exemplos.

Possui LCD 16x2, A/D, teclas, leds, soquete de expansão, CD-Rom com exemplos e apostilas.

NOVO: Curso Completo

6 semanas, do básico à ling. C

1 aluno por micro, somente 8 alunos !

Assessoria e Projetos

VIDAL Projetos Personalizados

(11)-6451- 8994 www.vidal.com.br

CIRCUITOS IMPRESSOS

DEPTO PROTÓTIPOS

CIRCUITOS IMPRESSOS CONVENCIONAIS
PLACAS EM FENOLITE, COMPOSITE OU FIBRA
EXCELENTE PRAZOS DE ENTREGA PARA
PEQUENAS PRODUÇÕES
RECEBEMOS SEU ARQUIVO VIA E-MAIL

PRODUÇÕES

FURAÇÃO POR CNC
PLACAS VINCADAS, ESTAMPADAS OU FREZADAS
CORROSÃO AUTOMATIZADA (ESTEIRA)
DEPARTAMENTO TÉCNICO À SUA DISPOSIÇÃO
ENTREGAS PROGRAMADAS
SOLICITE REPRESENTANTE

TEC-CI CIRCUITOS IMPRESSOS

RUA VILELA, 588 - CEP: 03314-000 - SP

PABX: (0xx11) 6192-2144 / 6192-5484 / 6192-3484

E-mail: circuitoimpresso@tec-ci.com.br

Site: www.tec-ci.com.br

CARTA RESPONDA
NÃO É NECESSÁRIO SELAR

O SELO SERÁ PAGO POR:

Saber Marketing Direto Ltda.

03014-999 - SÃO PAULO - SP



REM.:

END.:

--	--	--	--	--	--	--	--

cole



Jeff Eckert

USA EM NOTÍCIAS



TECNOLOGIAS AVANÇADAS

Fusão Nuclear Ainda na Agenda



Z machine no instante do disparo.
Foto de Randy Montoya.

O conceito de uma fusão nuclear suave para geração de energia tem tido sua atenção pública diminuída nos últimos anos. Mas, algum progresso ainda está sendo feito. Em particular, cientistas do Sandia National Laboratories (www.sandia.gov) anunciaram recentemente num encontro da "American Physical Society" que a *Z-machine* oferece a possibilidade de obter-se uma fusão nuclear controlada. A máquina criou com sucesso um plasma denso quente, o qual produz nêutrons termonucleares que emanam de reações de fusão com uma cápsula de deutério BB colocada num alvo no centro dela.

De acordo com o Sandia Labs, comprimir plasmas quentes e densos que produzem nêutrons é um passo importante para se obter a ignição, isto é, o nível em que a reação de fusão se torna auto-sustentável. Uma versão maior da máquina Z poderia produzir uma fusão com ganho em um

estado onde muito mais energia do que a necessária para seria liberada provocar a reação inicial.

A energia em excesso poderia ser usada para aplicações externas como, por exemplo, a geração de eletricidade.

Os dispositivos convencionais de fusão têm a reação provocada pela confinamento de plasmas de baixa densidade em campos magnéticos relativamente pequenos, ou ainda focalizando feixes intensos de *laser* no alvo (fusão laser). A máquina Z, entretanto, aplica simplesmente um pulso intenso de eletricidade, temporizado precisamente. O pulso cria um campo magnético intenso que rompe fios de tungstênio em um cilindro esponjoso para produzir raios X. A energia dos raios X, batendo na superfície da cápsula-alvo embutida no cilindro, produz uma onda de choque que comprime o deutério no interior da cápsula, provocando uma fusão suficiente para a produção de nêutrons. A ação ocorre num recipiente do tamanho de uma borracha de apagar chamada "hohlraum" no centro da máquina Z, ela própria um dispositivo circular de aproximadamente 36,6 m de diâmetro.

"Energias pulsantes de sistemas elétricos são ricas em energia, mas pobres em potência", observou Ray Leeper, um gerente do Sandia. "É isso, podíamos obter muita energia, mas ainda não estava claro se conseguiríamos centrá-la numa área pequena o suficiente para criar a fusão. Agora parece certo que podemos fazer isso".

INDÚSTRIA E PROFISSÃO

Projeto de Cabo Supercondutor de 30 Milhões de Dólares

A American Superconductor Corp. (www.amsuper.com) foi selecionada pelo Departamento de Energia dos Estados Unidos (DOE) como a primeira contratada para fornecimento de um cabo supercondutor de alta temperatura para transmissão de energia (HTS) pela Long Island Power Authority (LIPA). O sistema de cabos é a primeira instalação supercondutora do mundo para transmissão de tensões.

Capaz de fornecer energia para 300.000 lares, o cabo de 610 metros será instalado sob a terra em East Garden City, Long Island, New York. Com uma capacidade de 600 megawatts, o supercondutor de 138 kV fará parte integral da rede LIPA e deverá estar funcionando no final de 2005. O custo de US\$ 30 milhões é observado como um pequeno passo, já que ele significa 45.000 dólares por metro. No entanto, supercondutores podem transmitir (tipicamente) de três a cinco vezes mais energia do que os cabos convencionais ocupando o mesmo espaço.

COMPUTADORES E REDES

Apresentado um Computador Silencioso

Há 5 anos, o "British Journal of Psychology" anunciou que ruído demais poderia diminuir os níveis de

Cortesia da Hush Technologies.



O computador Hush Mini-ITX reduz o ruído e a complexidade mecânica.

performance dos trabalhadores em escritórios em até 60%. Se você já teve um problema de desempenho devido ao ruído do ventilador de seu computador, ruído da fonte de alimentação e de outras fontes relacionadas com o PC, então, o novo computador da Hush Technologies (www.hushtechnologies.net) pode ser exatamente o que você precisa.

O novo PC foi projetado para operar em ambientes onde o ruído é particularmente problemático, incluindo ambientes médicos, mídia de massa e locais de criação.

O Hush-ITX emprega um gabinete plano e um sistema especial de refrigeração que elimina o ventilador e reduz o número de partes móveis de modo a melhorar os níveis de ruído e a qualidade do produto. A configuração padrão inclui um disco rígido de 200 GB, uma bandeja que acomoda um mecanismo CD/DVD e as opções de memória usuais. As dimensões externas do gabinete são de apenas: 370 mm de largura, 340 mm de profundidade e 59 mm de altura.

A CPU é um processador VIA C3 de 933 MHz, feito em Taiwan pela Via Technologies. Os preços começam em US\$ 750 para a versão básica que vem com um *drive* Seagate de 40 GB, 4 portas USB 2.0, duas portas Firewire, saída S-vídeo, seis canais de áudio e Ethernet Base-T 10/100.

Evidentemente, para desfrutar de todo o silêncio deste computador você precisará desligar o ventilador,

ar condicionado, rádio, impressoras, *scanners*, além de fechar a boca de seus colegas de trabalho....

Drive de Disquete USB Externo

A tendência atual nos projetos de computadores é eliminar os tradicionais *drives* de disquetes, não deixando nada mais do que mídia CD/DVD e uma rede para transferência de dados. Infelizmente, milhões de pessoas no mundo ainda têm gavetas e armários cheios de dados gravados em disquetes, que ainda continuam sendo o melhor meio de se transferir pequenos arquivos de um computador para outro.



Mas, agora você pode voltar aos velhos tempos rodando seus disquetes com o *Floppy USB - Powered Drive*, da Iomega(r) (www.iomega.com). O dispositivo, apresentado em maio, emprega uma conexão de cabo único que permite aos usuários conectá-lo ao computador usando qualquer porta USB 1.0/1.1. Como ele é alimentado pelo computador hospedeiro, não se necessita de baterias, adaptadores ou fontes de alimentação externas. O preço sugerido é US\$ 49,99.

CIRCUITOS E COMPONENTES

Célula Solar de Silício Melhorada

A SunPower Corporation (www.sunpowercorp.com) anunciou a disponibilidade em quantidade de amostras do seu novo dispositivo A-300, citado como a mais eficiente célula solar de silício do mundo. Baseada em um projeto com contatos posteriores, o que maximiza a área útil da célula (escondendo os fios e facilitando a fabricação), a A-300 alcança rendimento de mais de 20%, que faz com que ela supere o padrão de 12 a 15% de dispositivos similares. De acordo com a SunPower, o "National Renewable Energy Laboratory" (NREL) verificou um rendimento de 10,4% na eficiência de conversão para a A-300.

Uma célula de 125 mm em cristal único gera 3 W de eletricidade. Isso significa que ela poderá fornecer 3 kW de energia em menos de 17 metros quadrados, tornando-a apropriada para instalação em sistemas no teto, comunicações e aplicações de consumo. As células da SunPower têm sido usadas numa ampla gama de aplicações de alto desempenho e tecnologia, incluindo na aeronave solar Hélios, da NASA. No momento em que esta notícia foi escrita, a A-300 estava agendada para ser disponibilizada em quantidades limitadas. A produção em massa está prevista para 2004.

Os Menores CIs Lógicos do Mundo Oferecidos em Novo Invólucro

A Philips Electronics anunciou uma versão expandida de sua família de circuitos integrados lógicos com a adição de um novo invólucro: "depopulated very-thin quad flat-pack no-leads (DQFN)". Projetado para portas lógicas, octais, e escala média de integração, o invólucro DQFN foi desenvolvido para a demanda cada vez maior de produtos miniaturizados e componentes. O invólucro DQFN de 24 pinos ocupa uma superfície de apenas 3,5 mm x 5,5 mm.

Além da redução de tamanho, o invólucro DQFN foi apresentado para oferecer uma dissipação de calor maior e facilitar a montagem. O invólucro incorpora um *paddle* que aumenta em 20% a dissipação quando comparado a um invólucro TSSOP. Ele não tem terminais, o que elimina problemas de dobras.

Os primeiros produtos disponíveis no novo invólucro são os CIs 74LVC543ABQ, 74HC154BQ e 74HCT154BQ. Para mais informações visite o *site* da Philips em: www.semiconductors.philips.com/logic.



A nova célula A-300, da SunPower, proporciona 20% a mais de eficiência. Foto cortesia da SunPower.

LITERATURA TÉCNICA

AUTOMAÇÃO APLICADA

R\$ 48,00

Autor: Marcelo Georgini - 240 pág.

Este livro apresenta a Norma IEC 60848 (Descrição de Sistemas Automatizados por meio de SFC) e os conceitos necessários para implementação de sistemas automatizados com PLCs (hardware e software). São abordadas as instruções básicas e avançadas da linguagem Ladder, destacando a programação por estágios. Esses conceitos são acompanhados de exemplos de aplicação a fim de facilitar o entendimento.



R\$ 51,00

AUTOMAÇÃO INDUSTRIAL

Autor: Ferdinando Natale - 256 pág.

O assunto foi desenvolvido desde as primeiras noções dos computadores e suas aplicações, até a utilização mais elevada do Controlador Lógico Programável (CLP) com variáveis analógicas e demais aplicações. Cada capítulo apresenta teoria, exercícios resolvidos com experimentos testados e exercícios propostos, seguindo uma linguagem comum a todos os fabricantes de CLPs pela norma IEC 1131-3.



MICROCONTROLADOR 8051 - DETALHADO

R\$ 51,00

Autor: Denys Emilio Campion Nicolosi - 256 pág.

A proposta deste livro é ensinar sobre os microcontroladores da família 8051, com extenso material didático - teórico para o estudante melhorar sua competência até projetar hardware e software com boa desenvoltura. Ele contém: revisão geral detalhada de lógica e aritmética binária; circuitos lógicos e memórias; teoria específica e detalhada do microcontrolador; listas completas das instruções; exercícios propostos; diagramas de programação; extensa bibliografia e índice remissivo.



R\$ 64,00

CIRCUITOS ELÉTRICOS

Autor: Otávio Markus - 304 pág.

Este livro envolve os principais conceitos de eletricidade e métodos de análise de circuitos elétricos passivos, isto é, implementados a partir de resistores, indutores e capacitores, e operando em C.C. e C.A.

Os capítulos são estruturados de forma que os seus tópicos e exercícios propostos comentados facilitem o planejamento do processo ensino-aprendizagem. Foi elaborado para atender a diversos cursos de engenharia e técnicos da área elétrica que adotam um plano de ensino estruturado.



DESBRAVANDO O PIC

R\$ 45,00

Baseado no microcontrolador PIC16F84

Autor: David José de Souza - 199 pág.

Um livro dedicado às pessoas que desejam conhecer e programar o PIC. Aborda desde os conceitos teóricos do componente, passando pela ferramenta de trabalho (MPASM). Dessa forma o MPLab é estudado, com um capítulo dedicado à Simulação e Depuração. Quanto ao PIC, todos os seus recursos são tratados, incluindo as interrupções, os timers, a EEPROM e o modo SLEEP. Outro ponto forte da obra é a estruturação do texto que foi elaborada para utilização em treinamento ou por autodidatas, com exemplos completos e projetos propostos.



R\$ 52,00

AUTOMAÇÃO E CONTROLE DISCRETO

Autores: Winderson E. Santos e Paulo R. da Silveira - 256 pág.

Uma obra destinada a técnicos e engenheiros já atuantes ou em fase de estudo de sistemas automatizados. São apresentadas técnicas para resolução de problemas de automação envolvendo sistemas de eventos discretos como o controlador lógico programável, a modelagem de sistemas sequenciais, por meio de Grafset, técnicas de programação oriundas da experiência dos autores.



R\$ 47,00

METROLOGIA NA INDÚSTRIA

Autores: Francisco Adval de Lira - 248 Pág.

Neste livro são apresentados os tópicos principais sobre metrologia aplicáveis não só à indústria, mas também aos setores comerciais, acadêmicos, de laboratório e serviços. É desenvolvida uma rotina que apresenta uma calibração desde a elaboração de um procedimento de medição até a emissão de um certificado. São abordados também: Confirmação Metroológica, Incerteza de Medição, Unidades SI e sua Importância, Tabelas de Conversão, Padrões e Técnicas de Medidas com exemplos simples e que podem ser adaptados às medições rotineiras de qualquer área.



PEDIDOS

SABER-MARKETING DIRETO

Disque e Compre (11) 6195-5330, no site www.sabermarketing.com.br ou verifique as instruções na solicitação de compra da página 61.

Preços válidos até 10/08/2003

REMETEMOS PELO CORREIO PARA TODO O BRASIL



O equipamento de que sua fábrica precisa, o técnico que você deseja, com uma rapidez que você nem imagina.



Quem chama SEW SERVICE não fica parado. Com atendimento 24 horas em todo o Brasil, equipe própria totalmente treinada, assistência de projeto, serviço de atendimento ao consumidor e serviço de informação pela Internet, só a SEW oferece toda a segurança, rapidez e tranquilidade de que sua fábrica precisa e você merece. Não pare. Corra e ligue: (11) 6489-9090.

AGORA TAMBÉM COM MONTADORA E FILIAL EM JOINVILLE.

SEW SERVICE
EURODRIVE
www.sew.com.br
0800-7700496